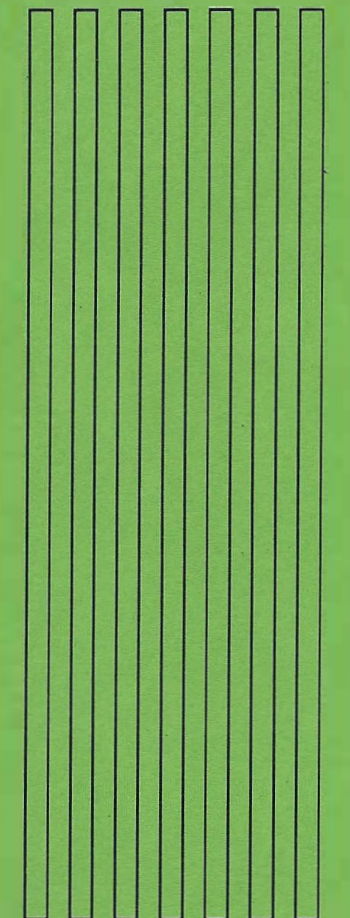
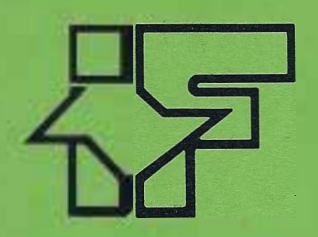


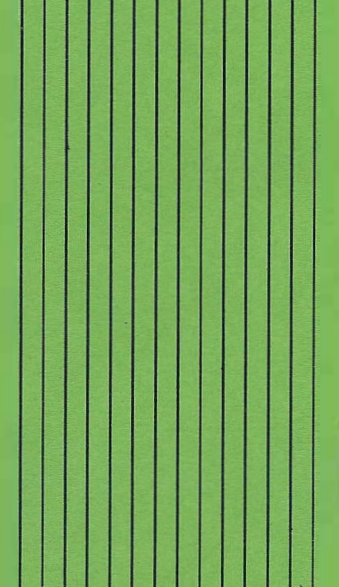
### SECRETARIA DO MEIO AMBIENTE

COORDENADORIA DE INFORMAÇÕES TÉCNICAS, DOCUMENTAÇÃO E PESQUISA AMBIENTAL INSTITUTO FLORESTAL





# REVISTA DO INSTITUTO FLORESTAL



Rev. Inst. Flor. São Paulo v. 11 n. 2 p. 105 - 187 dez. 1999

# **DIRETOR GERAL**

Luiz Mauro Barbosa

# COMISSÃO EDITORIAL/EDITORIAL BOARD

Demétrio Vasco de Toledo Filho
Eduardo Amaral Batista
Cybele de Souza Machado Crestana
Edegar Giannotti
Francisco Carlos Soriano Arcova
Márcia Balistiero Figliolia
Sandra Monteiro Borges Flörsheim
Yara Cristina Marcondes
Maria Isabel Vallilo
Reinaldo Cardinali Romanelli
Waldir Joel de Andrade
Ivan Suarez da Mota

# PUBLICAÇÃO PERIÓDICA SEMESTRAL/SEMESTRAL PERIODICAL PUBLICATION

SOLICITA-SE PERMUTA Biblioteca do

Instituto Florestal

Caixa Postal 1.322

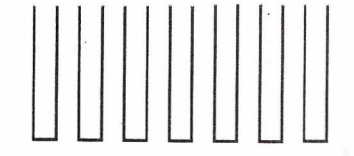
EXCHANGE DESIRED 01059-970 São Paulo, SP

Brasil

Fone: (011) 6231-8555

Fax: (011) 6232-5767

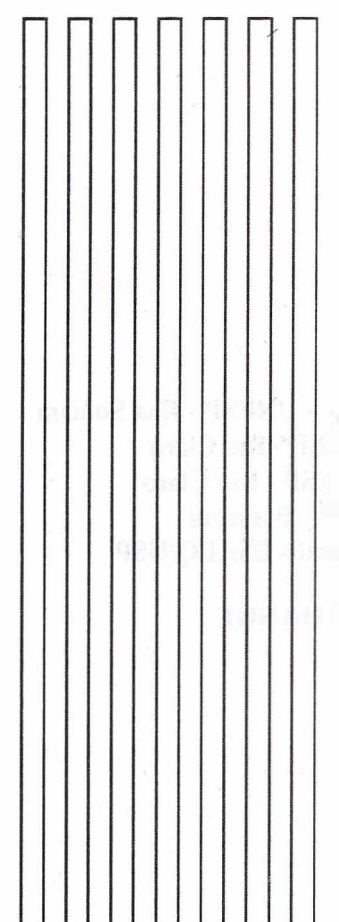
ON DEMANDE L'ÉCHANGE iflorest@eu.ansp.br





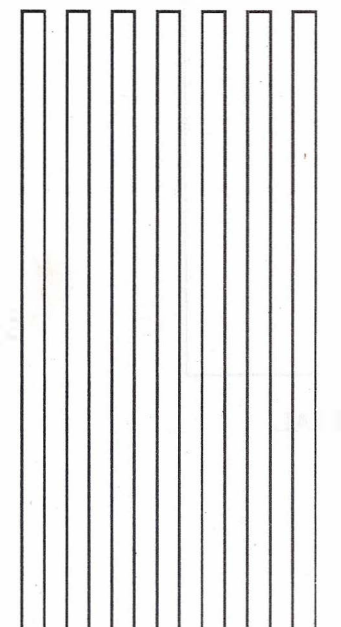
### SECRETARIA DO MEIO AMBIENTE

COORDENADORIA DE INFORMAÇÕES TÉCNICAS, DOCUMENTAÇÃO E PESQUISA AMBIENTAL INSTITUTO FLORESTAL





# REVISTA DO INSTITUTO FLORESTAL



Rev. Inst. Flor.	São Paulo	v. 11	n. 2	p. 105 - 187	dez. 1999	
------------------	-----------	-------	------	--------------	-----------	--

### COMISSÃO EDITORIAL/EDITORIAL BOARD

Demétrio Vasco de Toledo Filho

Eduardo Amaral Batista

Cybele de Souza Machado Crestana

Edegar Giannotti

Francisco Carlos Soriano Arcova

Márcia Balistiero Figliolia

Sandra Monteiro Borges Flörsheim

Yara Cristina Marcondes

Maria Isabel Vallilo

Reinaldo Cardinali Romanelli

Waldir Joel de Andrade

Ivan Suarez da Mota

### APOIO/SUPPORT

Carlos Eduardo Spósito (Revisão) Carlos José de Araújo (Gráfica)

# CONSULTORES EXTERNOS DESTA EDIÇÃO:

Antônio Aparecido Carpanezzi - EMBRAPA - PR Elisabeth Ann Veasey - ESALQ/USP João Guarnetelli - UNESP - Botucatu João Luiz Ferreira Batista - ESALQ/USP Jorge Y. Tanashiro - IB/UNICAMP Mário Luiz T. de Moraes - UNESP - Ilha Solteira Miguel Petrelli Jr. - UNESP - Rio Claro Reinaldo Monteiro - UNESP - Rio Claro Vera Lex Engel - UNESP - Botucatu Weber A. Neves do Amaral - ESALQ/USP

## SOLICITA-SE PERMUTA/EXCHANGE DESIRED/ON DEMANDE L'ÉCHANGE

Biblioteca do Instituto Florestal

Caixa Postal 1.322

01059-970 São Paulo-SP-Brasil

Fone: (011) 6231-8555 Fax: (011) 6232-5767 iflorest@eu.ansp.br

# PUBLICAÇÃO PERIÓDICA SEMESTRAL/SEMESTRAL PERIODICAL PUBLICATION

200	REVISTA DO INSTITUTO FLORESTAL São Paulo, Instituto Florestal.	
	1989, 1(1-2) 1990, 2(1-2) 1991, 3(1-2) 1992, 4 1993, 5(1-2) 1994, 6 1995, 7(1-2) 1996, 8(1-2) 1997, 9(1-2) 1998, 10(1-2)	

COMPOSTO E IMPRESSO NO INSTITUTO FLORESTAL dezembro, 1999

# SUMÁRIO/CONTENTS

Variação genética em progenies e procedências de <i>Pinus caribaea</i> Mor. var. bahamensis Barr. et Golf. para produção de resina e características de crescimento. Genetic variability on <i>Pinus caribaea</i> Mor. var. bahamensis Barr.	p.
et Golf. progenies and provenances for gum yield growing characteristics. Lêda Maria do Amaral GURGEL GARRIDO; Marco Antônio de Oliveira GARRIDO; Cesário Lange da Silva PIRES & Marcelo PALOMO	105-121
Sistemas mecanizados para implantação de floresta. I. Grade aradora e arado de discos. Comparison between tillage systems for forest establishment. I. Heavy harrowing and disk plowing. Jair Rosas da SILVA & Nilson SALVADOR	123-129
Desenvolvimento de <i>Plathymenia reticulata</i> Benth. em plantio puro e em consorciação com espécies de diferentes estádios sucessionais. The growth of <i>Plathymenia reticulata</i> Benth. in pure and mixed stands with species from different successional stages. Giselda DURIGAN; Lêda Maria do Amaral GURGEL GARRIDO & Marco Antônio de Oliveira GARRIDO	131-136
Chave de identificação baseada em caracteres vegetativos para as espécies vasculares do cerrado na ARIE Pé-de-Gigante (Santa Rita do Passa Quatro, SP). Identification key based on vegetative characters for the cerrado vascular plant species at the Pé-de-Gigante Reserve (Santa Rita do Passa Quatro, SP, Brazil). Marco Antônio BATALHA & Waldir MANTOVANI	137-158
Variação das dimensões no sentido medula-casca e base-topo de árvores de "aroeira" <i>Myracrodruon urundeuva</i> F.F. & A.F. Allemão (Anacardiaceae). II. Vasos e raios. Variation of dimensions in the pith-bark and base-top direction in "aroeira" <i>Myracrodruon urundeuva</i> F.F. & A.F. Allemão (Anacardiaceae). II. Vessels and rays. Sandra Monteiro Borges FLÖRSHEIM; Mário TOMAZELLO FILHO & Laura SPEGIORIN	159-171
Determinação de modelos para estimativas de biomassa do tronco e da copa de <i>Acacia mangium</i> . Above-ground regression models for <i>Acacia mangium</i> trees. Ricardo Antonio de Arruda VEIGA; Maria Aparecida Mourão BRASIL; Carlos Marchesi de CARVALHO & Demétrio Vasco de TOLEDO FILHO	173-178
Variabilidade genética em duas populações de <i>Cordia trichotoma</i> . Genetic variability in two populations of <i>Cordia trichotoma</i> . Lígia de Castro ETTORI; Ana Cristina Machado De Franco SIQUEIRA; Antonio Carlos Scatena ZANATTO & Osmar Vilas BOAS	179-187
Zin it i o w commit time botto	1/2 10/

# VARIAÇÃO GENÉTICA EM PROGÊNIES E PROCEDÊNCIAS DE Pinus caribaea Mor. var. bahamensis Barr. et Golf. PARA PRODUÇÃO DE RESINA E CARACTERÍSTICAS DE CRESCIMENTO<sup>1</sup>

Lêda Maria do Amaral GURGEL GARRIDO<sup>2</sup>
Marco Antônio de Oliveira GARRIDO<sup>3</sup>
Cesário Lange da Silva PIRES<sup>3</sup>
Marcelo PALOMO<sup>4</sup>

### **RESUMO**

Um ensaio com 14 procedências com número variável de progênies de *Pinus caribaea* var. *bahamensis* foi implantado na Estação Experimental de Paraguaçu Paulista, SP. Aos 2 anos de idade foi feita a avaliação do desenvolvimento em altura e aos 6 anos efetuaram-se as avaliações de altura, DAP e produção de resina com estimativas dos diversos parâmentros genéticos. As estimativas de ganhos genéticos por seleção em torno de 30% das progênies dentro de cada procedência e 20% das plantas dentro de progênies, foram de até 43% para produção de resina, 14% para altura e 10% para DAP. Preconiza-se efetuar, nesta fase, a seleção visando apenas a produção de resina que é a característica primordial deste estudo. Com base na pequena diferença nas médias de produção de resina das diferentes procedências, recomenda-se ainda que a seleção seja efetuada apenas dentro de procedências e progênies, conservando base genetica mais ampla.

Palavras-chave: teste de procedências e progênies; seleção; ganho genético.

# 1 INTRODUÇÃO

O Pinus caribaea var. bahamensis é uma das espécies preconizadas por GOLFARI (1967) em seu zoneamento ecológico, para reflorestamento na região sudoeste do Estado de São Paulo, dadas as suas condições climáticas. Atualmente, boa parte das áreas reflorestadas com Pinus nessa região estão sendo ou já foram substituídas por espécies tropicais.

### **ABSTRACT**

A provenance-progeny test with 14 provenances and variant progenies per provenance number was installed in Paraguaçu Paulista Experimental Station, SP. Height measures were performed at ages 2 and 6, DBH and gum yield, at age 6, with genetic parameters estimations. The genetic gains estimations by 30% progenies within provenances selection and 20% within progenies selection reached 43% for gum yield, 14% for height and 10% for DBH. As gum yield is the main characteristic in this study, it is advisable to make selection just for gum yield. Based on the little differences among provenances gum yield means it is recommendable to maintain broad genetic basis keeping all of the provenances.

Key words: provenance-progeny test; selection; genetic gain.

Estudos realizados no Instituto Florestal demonstraram que o *Pinus caribaea* var. *bahamensis* cresce cerca de 35 m³/ha/ano em locais onde o *Pinus elliottii* var. *elliottii* cresce apenas 11 m³/ha/ano, (GARRIDO *et. al.*, 1986).

Apesar de sua excelente adaptabilidade, nas regiões centro-oeste norte do Estado de São Paulo, além de todo o resto das regiões Sudoeste e Norte do Brasil, o *Pinus caribaea* var. *bahamensis* é muito pouco plantado, menos que 5% do total reflorestado.

<sup>(1)</sup> Aceito para publicação em julho de 1999.

<sup>(2)</sup> Instituto Florestal, Caixa Postal 1322, 01059-970, São Paulo, SP, Brasil. (Bolsista CNPq)

<sup>(3)</sup> Instituto Florestal, Caixa Postal 1322, 01059-970, São Paulo, SP, Brasil.

<sup>(4)</sup> Estudante da Escola Superior de Agronomia de Paraguaçu Paulista, Caixa Postal 233, 19700-000, Paraguaçu Paulista, SP, Brasil. (Bolsista da FAPESP)

A explicação para esse fato é a dificuldade de se obterem sementes dessa variedade. O projeto que ora se divulga tem também a finalidade de produzir sementes a partir dos indivíduos que serão selecionados dentro das progênies e/ou procedências.

Os trabalhos desenvolvidos no Instituto Florestal sobre variabilidade da produção de resina nesta espécie, em material proveniente de plantios comerciais e de pomares de sementes, já estão bastante adiantados, tendo-se realizado seleções que somam 76 indivíduos.

É objetivo principal do presente estudo avaliar o potencial de produção de resina de 97 progênies provenientes de 14 procedências da América Central, selecionadas para forma e volume, que constituem um experimento, instalado na Estação Experimental de Paraguaçu Paulista. Busca-se com essa avaliação estimar a variabilidade genética desse material e selecionar indivíduos, famílias e procedências mais aptas à produção de resina. Como objetivo secundário, estuda-se ainda a variabilidade das características de crescimento (DAP e altura).

# 2 REVISÃO BIBLIOGRÁFICA

A espécie do gênero *Pinus* encontrada na América Central foi definitivamente classificada como *Pinus caribaea* por Little e Dorman em 1952. Mais recentemente Barret e Golfari separaram a espécie em três variedades, sendo o *Pinus caribaea* var. *bahamensis*, uma delas (NIKLES, 1967).

O Pinus caribaea Mor. var. bahamensis Barr. et Golf. é originário da América Central, sendo encontrado em populações naturais entre as latitudes de 21°50'N (Ilha de Caicos) e 27°00'N (Gran Abaco) conforme AGUDELO Jr. (1990). Segundo o mesmo autor, a espécie ocorre em altitudes desde o nível do mar até 12 m. Segundo BARRET & GOLFARI (1962) sua região de origem se caracteriza por clima tropical, com temperatura média em torno de 25°C e precipitação pluviométrica entre 750 mm e 1300 mm.

WEBB et al. (1980) indicam a variedade bahamensis para ser usada na obtenção de madeira serrada (construções leves e pesadas, barcos, etc.), madeira roliça (postes, moirões, celulose, etc.) e como produtora de resina.

Na área de ocorrência do *Pinus caribaea* var. *bahamensis* na América Central, a derrubada tem sido intensa, com um subsequente indiscriminado uso da terra, com aplicação de fogo. Tais fatos têm um sério efeito na constituição das florestas, pela erosão das fontes genéticas. O resultado desta seleção disgênica é a criação de populações com uma ocorrência desproporcional de fenótipos ruins (GIBSON, 1982).

O *Pinus caribaea* var. *bahamensis* mostra-se promissor para o reflorestamento econômico em regiões naturalmente inférteis ou degradadas tropicais e subtropicais (GREAVES, 1980).

Inicialmente o Pinus caribaea var. bahamensis foi mal amostrado em sua área de ocorrência natural. Embora apresente excelente fuste, ramificação e crescimento, o interesse nessa variedade foi sempre ofuscado pelo Pinus caribaea var. hondurensis que apresenta um maior crescimento, exceto em áreas onde o clima é muito "temperado" para Pinus caribaea 0 hondurensis e muito "tropical" para o Pinus elliottii. Recentemente o Pinus caribaea var. bahamensis foi reconhecido como de importância porque juntamente com o Pinus caribaea var. caribaea é a conífera mais produtiva em volume depois do Pinus caribaea var. hondurensis (BAYLIS & BARNES, 1988).

A potencialidade do *Pinus caribaea* var. *bahamensis* comparada com outras espécies de *Pinus* tropicais e com *Pinus elliottii* var. *elliottii* no que concerne à produção de resina, foi comprovada em estudos de diversos pesquisadores, tais como: BRITO *et al.* (1978) e NICOLIELO & BERTOLANI (1978), CAPITANI *et al.* (1980), GARRIDO *et al.* (1982, 1983, 1986), RIBAS *et al.* (1983), SILVA *et al.* (1984) e GURGEL GARRIDO *et al.* (1986/88) conforme a TABELA 1.

Os resultados obtidos por GURGEL GARRIDO et al. (1986/88) em três espécies de Pinus tropicais selecionados para produção de resina, evidenciam a possibilidade de obtenção de ganhos genéticos expressivos para o Pinus caribaea var. bahamensis num programa de melhoramento, através de seleção. O resumo destes resultados está na TABELA 2 que apresenta também os respectivos valores médios de DAP e altura.

TABELA 1 - Produções de resina, DAP e altura de diferentes espécies e idades de Pinus.

ESPÉCIE	IDADE (anos)	RESINA (kg/arv.)	DAP (cm)	ALTURA (m)	REFERÊNCIA
P. caribaea var. bahamensis	10	3,09 (12)*	18,4		BRITO et al. (1978)
P. oocarpa	10	1,74 (12)	21,3	77.	
P. kesiya	10	1,43 (12)	25,7		
P. caribaea var. bahamensis	18	2,12 (10)	19,4	16,00	NICOLIELO & BERTOLANI (1978)
P. elliottii var. elliottii	18	3,26 (10)	19,4	16,00	
P. kesiya	18	2,14 (10)	19,4	16,00	
P. caribaea var. bahamensis	6,4	1,95 (11)	17,2	10,65	CAPITANI et al. (1980)
P. elliottii var. densa	7,6	1,56 (11)	17,6	9,24	
P. caribaea var. hondurensis	7,6	1,07 (11)	18,9	11,73	
P. oocarpa	7,6	1,03 (11)	17,8	8,70	
P. caribaea var. bahamensis	11	2,80 (5,5)	25,0	4	GARRIDO et al. (1982)
P. caribaea var. hondurensis	11	1,50 (5,5)	24,0		
P. oocarpa	11	1,10 (5,5)	27,0	200	
P. caribaea var. bahamensis	11	1,99 (6,3)	24,7	15,20	GARRIDO et al. (1983, 1986)
P. elliottii var. elliottii	11	1,46 (6,3)	16,8	11,70	
P. caribaea var. hondurensis	11	1,03 (6,3)	25,9	15,80	
P. oocarpa	11	0,66 (6,3)	25,3	14,60	
P. elliottii var. densa	19	3,50 (12)	25,0	**	SILVA et al. (1984)
P. oocarpa	15	1,70 (12)	25,0	**	
P. caribaea var. bahamensis	10	3,06 (12)	19,7		RIBAS et al. (1983)
P. caribaea var. bahamensis	10	2,49 (9,1)	19,7	**	

<sup>(\*)</sup> Período de resinagem em meses.

TABELA 2 - Produção de resina (kg/árvore), DAP (cm) e altura (m) de três espécies de *Pinus* tropicais. Médias de árvores selecionadas e testemunhas.

			RESI	INA		
ESPÉCIE-TALHÃO <sup>1</sup>	ÁRVORES TIPO²-Nº	SELEÇÃO	PRODUÇÃO (kg/arv.)	PERÍODO (dias)	DAP (cm)	ALTURA (m)
P. caribaea var. bahamensis-A	S - 15	1: 35,2	7,71	300	28,4	17,40
P. caribaea var. bahamensis-A	C - 30		3,56	300	23,9	16,90
P. caribaea var. bahamensis-B	S - 15	1: 43,1	11,13	240	30,8	17,40
P. caribaea var. bahamensis-B	C - 30	194	4,03	240	34,2	18,80
P. caribaea var. hondurensis-C	S - 09	1: 220,3	9,93	280	33,1	19.60
P. caribaea var. hondurensis-C	C - 30		2,45	280	27,7	17,80
P. caribaea var. hondurensis-D	S - 21	1: 276,0	10,94	300	33,5	20,40
P. caribaea var. hondurensis-D	C - 30	**	3,59	300	27,6	18,20
P. oocarpa-E	S - 10	1: 26,5	5,28	240	31,7	20,30
P. oocarpa-E	C - 30		2,52	240	32,4	20,00

<sup>(1)</sup> As letras A, B, C, D e E indicam povoamentos (talhões) distintos.

<sup>(2)</sup> S - árvores selecionadas; C - árvores da parcela controle.

O trabalho de GURGEL GARRIDO *et al.* (1996) relata produções de resina, DAP e altura médias de 895,02 g e 1019,87 g, 12,47 cm e 13,73 cm e 8,58 m e 8,92 m, respectivamente para 89 progênies de pomar de sementes clonal da Aracruz, ES e 3 progênies selecionadas na Estação Experimental de Assis, aos 5 anos de idade.

FALCONER (1972) e WRIGHT (1976) enfatizam a importância do cálculo de estimativa da variabilidade para o direcionamento de programas de melhoramento. Tais estimativas para características de crescimento em espécies de *Pinus* tropicais foram calculadas por diversos autores. Já para produção de resina o grande número de trabalhos encontrados na literatura se refere a *Pinus elliottii* var. *elliottii*.

Apresentam-se na TABELA 3 os principais resultados a respeito de variabilidade de características diversas em diferentes espécies de *Pinus*.

TABELA 3 - Estimativas dos coeficientes de herdabilidade no sentido restrito (ĥ²), coeficiente de variação genética (CVg%) e ganhos genéticos (Ĝ s%) para as características: produção de resina, DAP e altura em diferentes idades e espécies de *Pinus*.

ESPECIE/	IDADE	PARAMETRO	PRODUÇÃO DE RESINA	DAP	ALTURA	REFERENCIAS
VARIEDADE	(ANOS)	ESTIMADO		(cm)	(m)	MACEWANIA A LOSS
Pinus patula	5	ĥ 2	**	0,29	0,18	KAGEYAMA et al. (1977)
		$CV_g(\%)$	100	3,35	4,60	
		Ĝ (%)		6,13	7,09	
Pinus caribaea	2	ĥ 2			0,36	KAGEYAMA et al. (1980)
var. hondurensis		CV,(%)	**	**	6,74	
Pinus elliottii	2,5	ĥ <sup>2</sup>	0,38	-	**	GURGEL GARRIDO et al. (1986/88
var. <i>elliottii</i>		$CV_g(\%)$	16,49	**	(77.5)	
		Ĝ (%)	39,85	**	**	
Pinus elliottii	3,5	ĥ 2	0,52	0,61		GURGEL GARRIDO et al. (1986/88
var. elliottii		CV <sub>g</sub> (%)	14,99	9,46	**	
		Ĝ (%)	41,40	24,72		
Pinus elliottii	4	ĥ 2	0.47	0,36	0,39	ROMANELLI (1988)
var. elliottii		$CV_g(\%)$	22,11	3,61	3,30	
		Ĝ (%)	60,31	8,80	8,32	
Pinus kesiya	6	ĥ 2	**	**	0,23	MORAES et al. (1990)
		$CV_g(\%)$			6,23	
Pinus elliottii	7,5	h	0,22	0,39	0,53	GURGEL GARRIDO &
var. elliottii		$CV_g(\%)$	8,32	7,25	5,32	KAGEYAMA (1993)
		G (%)	16,42	**	**	
Pinus elliottii	9,5	ĥ 3	0,13	( <del>65</del> 5)	***	GURGEL GARRIDO et al. (1994)
var. elliottii		h 2	0.14	***	**	(três locais)
		ĥ	0,37		277	
		$CV_g(\%)$	7.62			
		CV <sub>g</sub> (%)	6,60	**	94	
		CV <sub>g</sub> (%)	12.42			
		G (%)	11,81	**	200	
		G (%)	10,73	**		
		Ĝ (%)	30,57	**	***	
Pinus caribaea	5	h	0,34	0,50	0,29	GURGEL GARRIDO et al. (1996)
var. bahamensis		CV <sub>g</sub> (%)	10,81	6,56	3.70	
		G (%)	25.80	18,31	9.19	

### 3 MATERIAL E MÉTODOS

O ensaio foi instalado na Estação Experimental de Paraguaçu Paulista, coordenadas geográficas de 22°25'S de latitude e 50°35'W de longitude. A precipitação anual média é de 1307 mm e a altitude média de 490 metros. A semeadura foi realizada em março de 90 e o plantio em 22 de novembro do mesmo ano, no espaçamento 3,0 m x 3,0 m. Consta de 14 procedências das Ilhas Abaco, Andros, Grand Bahama e New Providence, com número de progênies variável entre 2 e 10 totalizando 97 parcelas lineares com 5 plantas. O delineamento estatístico adotado foi o de blocos casualizados, em esquema de famílias compactas desbalanceado (variação do esquema de parcelas subdivididas) com 7 repetições.

A bordadura externa constou de 3 linhas ao redor de todo o experimento. A TABELA 4 apresenta as regiões de origem e suas características.

A primeira medição de altura foi realizada em julho de 1992 e a segunda em janeiro de 1996, juntamente com a avaliação de DAP.

A microrresinagem foi implantada com o objetivo de antecipar a avaliação da produção de resina das progênies. Foram resinadas 3276 árvores com idade de seis anos e quatro meses. Foram efetuadas quatro estrias a cada quinze dias, a partir de 16 de janeiro de 1997, utilizando um instrumento para resinagem com uma abertura retangular de 28 mm x 25 mm. Após a abertura das estrias aplicou-se pasta ácida com 25% de ácido sulfúrico.

TABELA 4 - Número de progênies, nome e características dos locais de origem das sementes de *Pinus caribaea* var. *bahamensis*.

I	PROCEDÊNCIA	PROGÊNIES	LATITUDE	LONGITUDE	ALTITUDE
Abaco	Cedar Harbour - 65	10	26°53'N	77°39'W	5-10 m
	Norman Castle - 66	8	26°45'N	77°26'W	< 5 m
	Central Abaco - 67	3	26°26'N	77°05'W	< 5 m
	Sandy Point - 68	10	26°02'N	77°12'W	5-10 m
Andros	San Andros - 69	7	24°57'N	78°01'W	< 5 m
	Staniard Creek - 70	10	24°50'N	77°55'W	< 5 m
	Roker Cay - 71	5	24°07'N	77°44'W	< 2 m
	Kemps Bay - 72	7	24°06'N	77°36'W	< 5 m
Grand	Freeport - 73	2	26°32'N	78°45'W	< 5 m
Bahama	South Riding - 74	7	26°40'N	78°13'W	5-10 m
	Maclean's Town Cay - 75	4	26°34'N	77°55'W	< 2 m
	Little Harbour Cay - 76	8	26°33'N	77°53'W	< 2 m
New	Adelaide - 77	7	25°00'N	77°26'W	5-10 m
Providence	East New Providence - 78	9	25°01'N	77°24'W	< 5 m

A análise de variância das procedências e progênies, em blocos de famílias compactas, procedeu-se conforme o modelo utilizado por TORGGLER (1980) adaptado de COCHRAN & COX (1957):

$$Y_{ijk} = m + t_i + b_j + (tb)_{ij} + t'_{k(i)} + \overline{e}_{ijk}$$

onde:

Y<sub>ijk</sub> = variável resposta correspondente à média da sub-parcela com procedência i no bloco i e progênie k;

m = constante do modelo (média geral);

 $t_i$  = efeito da procedência i, com i = 1, ..., I;

 $b_j$  = efeito do bloco j, com j = 1, ..., J;

(tb)<sub>ij</sub> = erro experimental em nível de parcelas (resíduo a);

 $t'_{k(i)}$  = efeito da progênie k dentro da procedência i, com  $k = 1, ..., n_i$ ;  $n_i$  é o número de progênies dentro da procedência i;

 $\overline{e}_{ijk}$  = erro experimental médio em nível de subparcelas (resíduo b).

Foram efetuadas, também, as análises de variância para progênies em cada procedência, segundo o delineamento de blocos casualizados. Todas as análises foram efetuadas pelo sistema SAS de análises estatísticas.

O erro das estimativas de variância entre progênies foi calculado, conforme VENCOVSKY & BARRIGA (1992):

$$s(\sigma_p^2) = \sqrt{\frac{2}{r^2} \left( \frac{Q_1^2}{g_1 + 2} + \frac{Q_2^2}{g_2 + 2} \right)}$$

onde:

Q<sub>1</sub> e Q<sub>2</sub> são os quadrados médios para progênies e para resíduo, respectivamente;

g<sub>1</sub> e g<sub>2</sub> são os graus de liberdade para progênies e para resíduo, respectivamente.

# 4 RESULTADOS E DISCUSSÃO

São apresentados, neste item, os resultados das análises e estimativas efetuadas com as observações do ensaio.

Para produção de resina apenas seis procedências apresentaram produções acima da média geral, 129,82 g: Central Abaco e Sandy Point (Abaco) San Andros, Staniard Creek e Kemps Bay (Andros) e South Riding (Grand Bahama). Oito procedências apresentaram médias de DAP acima da média geral, 11,52 cm e sete procedências excederam 7,77 m, média geral para altura aos 6 anos.

A TABELA 5 expõe as médias de cada procedência para as três características.

TABELA 5 - Médias e erros padrão da média (s<sub>μ</sub>) de procedências de *Pinus caribaea* var. *bahamensis* para resina, DAP, altura aos 2 anos e altura aos 6 anos.

						PI	ROCED	ÊNCIAS	*					
CARACTERÍSTICAS	65	66	67	68	69	70	71	72	73	74	75	76	77	78
Resina (g)	124,79	116,5	140,25	131,75	136,51	145,35	124,33	136,15	102,78	131,16	125,98	125,84	127,22	129,71
$S_{jk}$	3,8600	3,656	8,0999	4,8703	5,7656	5,2529	4,9743	4,4446	8,6348	5,5116	7,3454	4,8776	5,6765	2,8410
DAP (cm)	12,15	12,1	12,19	11,76	11,12	11,31	10,89	10,88	11,96	11,18	11,64	11,63	11,71	11,05
$S_{\mu}$	0,1468	0,146	0,2164	0,1506	0,1547	0,1511	0,2345	0,2091	(),322()	0,1761	0,2460	0,1542	0,1808	0,1426
Alt. (m) - 2 anos	1,31	1,3	1,20	1,32	1,18	1,20	1,03	1,07	1,21	1,16	1,19	1,23	1,31	1,19
$S_{\mu}$	0,0223	0,024	0,0427	0,0218	0,0249	0,0184	0,0228	0,0296	0,0394	0,0259	0,0331	0,0274	0,0259	0,0226
Alt. (m) - 6 anos	8,03	8,1	7,98	8,13	7,50	7,80	7,04	7,19	7,77	7,56	7,90	7,71	8,03	7,67
$S_{\mu}$	0,0636	0,070	0,1009	0,0713	0,0811	0,0710	0,1216	0,0898	0,1250	0,1086	0,1118	0,0953	0,0888	0,0696

(\*) A identificação das procedências está na TABELA 4.

Os valores do teste F<sub>(13, 78)</sub> para procedências apresentaram resultados significativos (1%) para todas as características: 16,02 para altura aos 2 anos, 22,42, 11,37 e 3,25, respectivamente, para altura, DAP e resina, aos 6 anos de idade. Assim, conclui-se haver diferenças significativas entre as 14 procedências estudadas, com relação às

três características. Não foi aplicado um teste de comparação às médias de procedências devido ao desbalanceamento do número de progênies em cada procedência, que torna os contrastes simples, entre médias, não estimáveis.

As médias para cada característica por região (ilhas) são apresentadas na TABELA 6.

TABELA 6 - Médias (erros padrão da média) de altura aos 2 anos, DAP e produção de resina aos 6 anos, de *Pinus caribaea* var. *bahamensis* nas quatro regiões (ilhas).

	ILHAS										
CARACTERÍSTICAS	ABACO	ANDROS	GRAND BAHAMA	NEW PROVIDENCE							
Resina (g)	126,29 (2,3611)	137,37 (2,7308)	125,44 (3,1123)	128,62 (2,9404)							
DAP (cm)	12,03 (0,0797)	11,09 (0,0899)	11,52 (0,1013)	11,34 (0,1164)							
Altura 2 anos (m)	1,31 (0,0127)	1,13 (0,0129)	1,20 (0,0154)	1,24 (0,0179)							
Altura 6 anos (m)	8,09 (0,0369)	7,45 (0,0472)	7,70 (0,0572)	7,83 (0,0575)							

As procedências da Ilha de Abaco apresentaram, em média, maior desenvolvimento em DAP e altura enquanto a maior produção média de resina se deve às procedências da Ilha de Andros, embora os valores sejam todos muito próximos.

Nas TABELAS 7, 8 e 9 aparecem as médias para produção de resina, DAP e altura (duas idades) para as progênies dentro de cada procedência, acompanhadas das letras que indicam o resultado do teste de Tukey para a análise em blocos de famílias compactas. Nessas TABELAS apresentam-se ainda os coeficientes de variação experimental relativos às análises de variância para cada procedência, em blocos casualizados. Para produção de resina, apenas quatro procedências (69, 72, 74 e 75) apresentaram diferenças significativas entre progênies. Para o DAP, foram encontradas diferenças significativas entre as progênies de oito procedências, enquanto para altura houve diferença entre as progênies de cinco procedências. Não houve coincidência de procedências com maior variabilidade entre as três características. Diante deste fato já se pode prever que dificilmente se conseguirá efetuar seleção positiva e efetiva para as três características ao mesmo tempo.

Nas TABELAS 7, 8 e 9 para a idade de seis anos, notam-se coeficientes de variação experimental crescentes para altura, DAP e produção de resina, fato este já observado em GURGEL GARRIDO & KAGEYAMA (1993) e GURGEL GARRIDO et al. (1996) em Pinus elliottii var. elliottii aos 7,5 anos e em Pinus caribaea var. bahamensis aos 5 anos, respectivamente. Na TABELA 9, referente à altura evidencia-se a diminuição dos coeficientes de variação, dos 2 para os 6 anos de idade.

Os valores dos coeficientes de variação experimental em nível de sub-parcelas aos seis anos: 8,28% e 6,26% para DAP e altura são bem próximos àqueles encontrados para *Pinus elliottii* var. elliottii aos 7,5 anos: 5,76% e 8,78% (GURGEL GARRIDO & KAGEYAMA, 1993) e um pouco mais baixos, no entanto, que os obtidos por GURGEL GARRIDO et al. (1996) em Pinus caribaea var. bahamensis, aos 5 anos: 4,24% e 6,41%. Quanto ao coeficiente de variação experimental para produção de resina, no entanto, o valor encontrado no presente trabalho, 25,98%, supera aqueles dos dois artigos citados: 14,13% e 14,08%, respectivamente. É importante ressaltar que o experimento objeto deste estudo se constitui em material genético oriundo de seleção massal na região de origem, para produção de madeira e forma do fuste, enquanto os trabalhos citados tratam de material já resselecionado no Brasil, e no caso do Pinus elliottii, também selecionado para produção de resina. Os valores de coeficiente de variação experimental relativamente altos para produção de resina, indicam, alto efeito ambiental sobre a característica. Valores médios e altos de coeficientes de variação têm sido observados pelos autores em ensaios diversos, ao trabalhar com produção de resina de material sem seleção prévia, podendo-se afirmar ser esse, um padrão da característica, independente da especie. Ao trabalhar com material que já sofreu algum tipo de seleção relatam-se coeficientes de variação experimentais, em geral, mais baixos.

Os coeficientes de variação experimental em nível de procedências (parcelas) foram 17,40% para altura aos 2 anos, 7,46% para altura, 12,33% para DAP e 23,73% para resina, aos 6 anos de idade.

TABELA 7 - Médias de produção de resina (g) para cada progênie de *Pinus caribaea* var. *bahamensis*, resultados do teste de Tukey e coeficiente de variação (CV%), dentro das procedências, aos 6 anos de idade.

								PROC	EDÊNC	IAS								
PROGÊNIES	65	66	67	68	69		70	71	72		73	74		75		76	77	78
1	130,97 a	117,34 a		130,83 a	193,21	a	132,72 a		136,26	ab				112,70	ab	127,82 a	106,71 a	124,71 a
2	105,96 a	133,23 a		98,40 a	141,10	ab	140,48 a		111,01	b		166,36	a			115,46 a	126,90 a	
3	113,79 a	107,11 a	129,15 a	122,68 a	137,22	ab	167,26 a							127,75	ab	115,02 a	106,65 a	128,71 a
4	100,37 a	107,07 a	163,62 a	162,81 a	126,39	b	150,05 a	120,99 a	120,65	ab		134,69	ab	102,99	b	133,20 a		118,28 a
5	123,87 a	122,33 a		122,01 a	113,40	b	142,51 a	115,99 a				138,96	ab			134,31 a	146,61 a	135,14 a
6	135,91 a			100,92 a			163,88 a	124,62 a	154,68	ab	91,82 a					148,80 a	101,05 a	124,32 a
7	145,57 a	102,61 a		131,62 a			128,58 a		133,41	ab		133,11	ab			119,83 a		150,88 a
8	131,02 a			156,73 a	107,68	b	146,17 a		164,39	a		98,74	b			112,27 a	153,50 a	126,61 a
9	134,77 a	109,08 a	127,89 a	134,19 a			150,84 a	117,69 a				127,48	ab				149,12 a	135,59 a
10	125,64 a	124,16 a		155,22 a	136,58	b	130,97 a	142,36 a	132,64	ab	113,74 a	118,76	ab	160,46	a			123,16 a
CV(%)	23,00	24,95	20,46	28,3	24,74		31,63	25,70	21,44		30,43	27,12		25,33		28,58	28,76	16,07

Obs.: médias seguidas da mesma letra não diferem entre si em nível de 5% de probabilidade. Os CV(%) referem-se às análises individuais (blocos casualizados).

TABELA 8 - Medias de DAP (cm) para cada progênie de *Pinus caribaea* var. *bahamensis*, resultados do teste de Tukey e coeficientes de variação (CV%), dentro das procedências, aos 6 anos de idade.

						PF	ROCEDÊN	CIAS						
PROGÊNIES	65	66	67	68	69	70	71	72	73	74	75	76	77	78
1	12,96 a	11,44 a		11,05 bc	11,50 ab	10,50 b		11,49 ab			11,37 a	11,33 ab	10,69 b	11,46 ab
2	12,13 a	12,83 a		12,88 a	11,00 ab	11,30 ab		11,07 ab		11,25 a		11,05 b	12,18 a	
3	12,01 a	12,20 a	11,99 a	11,60 abc	10,86 ab	11,25 ab					11,27 a	12,81 a	11,76 ab	10,66 ab
4	12,60 a	12,35 a	12,75 a	12,43 ab	11,94 a	12,27 a	11,66 a	11,70 a		11,04 a	12,42 a	10,86 b		10,50 ab
5	12,46 a	11,74 a		11,65 abc	11,37 ab	11,61 ab	10,97 a			11,25 a		11,22 ab	11,69 ab	11,54 a
6	12,40 a			11,63 abc		10,78 ab	9,90 a	10,76 ab	11,43 b			11,67 ab	12,25 a	11,03 ab
7	11,41 a	12,72 a		10,54 c		10,50 b		10,58 ab		10,73 a		12,43 ab		11,23 ab
8	12,07 a			11,27 bc	10,17 b	11,77 ab		9,79 b		11,99 a		11,65 ab	11,48 ab	11,24 ab
9	12,00 a	12,14 a	11,83 a	11,99 abc		11,85 ab	10,70 a			11,19 a			11,95 ab	10,13 b
10	11,45 a	11,96 a		12,42 ab	10,97 ab	11,24 ab	11,20 a	10,77 ab	12,49 a	10,83 a	11,51 a			11,66 a
CV(%)	9,20	7,68	6,95	7,07	7,83	8,06	11,32	9,39	5,48	8,68	8,66	8,80	7,55	7,17

Obs.: médias seguidas da mesma letra não diferem entre si em nível de 5% de probabilidade. Os CV(%) referem-se às análises individuais (blocos casualizados).

TABELA 11- Estimativas de variância entre progênies, dentro de cada procedência  $\hat{\sigma}_p^2$ ,  $\hat{\sigma}_{p'}^2$ , respectivos erros padrão s $(\hat{\sigma}_p^2)$ %.  $s(\hat{\sigma}_{p'}^2)$ %, variância ambiental entre parcelas,  $\hat{\sigma}_e^2$  e variância dentro de progênies,  $\hat{\sigma}_d^2$  de *Pinus caribaea* var *bahamensis*.

	COMPONENTES DA							PROC	CEDEN	CIAS						$\Box$
CARACTERÍSTICA	VARIÂNCIA <sup>1</sup>	65	66	67	68	69	70	71	72	73	74	75	76	77	78	p(P)
	$\hat{\sigma}_p^2$	38,06		250,82	329,30	621,49	10,31		176,28	77,63	259,91	469,90	-	349,98		152,23
	$s(\hat{\sigma}_p^2)\%$	49,30		25,40	13,74	13,74	157,24	***	20,97	55,09	17,72	18,55	-	15,96		7,06
Resina	$\hat{\sigma}_{p}^{2}$	82,93	+	295,66	297,61	621,07		*	217,07	99,84	241,66	486,98		321,31	31,74	#
	$s(\hat{\sigma}_{p'}^2)\%$	23,37		21,59	15,28	13,52			16,63	43,21	21,03	17,81	-	17,50	30,37	7
	$\hat{\sigma}_e^2$	487,28	487,28	487,28	487,28	487,28	487,28	487,28	487,28	487,28	487,28	487,28	487,28	487,28	487,28	487,28
	$\hat{\sigma}_d^2$	2986,212	2986,21	2986,21	2986,21	2986,21	2986,21	2986,21	2986,21	2986,21	2986,21	2986,21	2986,21	2986,21	2986,21	2986,21
	$\hat{\sigma}_p^2$	0,1018	0,0896	0,1096	0,3696	0,1845	0,2178	0,3037	0,2652	0,4363	0,0380	0,1489	0,3314	0,1478	0,1385	0,1971
	$\hat{s}(\hat{\sigma}_p^2)\%$	20,95	24,92	33,27	12,25	18,34	14,56	17,73	16,03	22,78	47,75	25,49	14,12	20,24	18,68	5,54
DAP	$\hat{\sigma}_{p}^{2}$ ,	0,0534	0,0948	0,1370	0,4016	0,2065	0,2292	0,2166	0,2462	0,5049	0,0336	0,1337	0,3118	0,1663	0,1790	**
	$s(\hat{\sigma}_{p'}^2)\%$	42,37	24,01	27,08	11,26	16,06	14,03	26,16	16,96	19,01	62,41	28,91	14,97	18,21	14,63	573
	$\hat{\sigma}_e^2$	0,2611	0,2611	0,2611	0,2611	0,2611	0,2611	0,2611	0,2611	0,2611	0,2611	0,2611	0,2611	0,2611	0,2611	0,2611
	$\hat{\sigma}_d^2$	3,0225	3,0225	3,0225	3,0225	3,0225	3,0225	3,0225	3,0225	3,0225	3,0225	3,0225	3,0225	3,0225	3,0225	3,0225
	$\hat{\sigma}_p^2$	0,0047	0,0074		0,0055	0,0101	0,0025	0,0013	0,0083	no-so	0,0020	0,0032	0,0096	0,0041	0,0089	0,0055
	$s(\hat{\sigma}_p^2)\%$	15,78	14,68		14,80	14,25	21,56	45,68	15,03		29,20	27,90	13,61	19,62	13,82	5,50
Altura	$\hat{\sigma}_{p}^{2}$ ,	0,0035	0,0078		0,0053	0,0104	0,0032	0,0026	0,0075		0,0023	0,0040	0,0091	0,0034	0,0095	73
	$s(\hat{\sigma}_{p'}^2)\%$	22,30	13,92		15,90	13,55	16,91	22,71	16,53		29,05	22,57	17,47	24,77	12,41	
2 anos	$\hat{\sigma}_e^2$	0,0082	0,0082	0,0082	0,0082	0,0082	0,0082	0,0082	0,0082	0,0082	0,0082	0,0082	0,0082	0,0082	0,0082	0,0082
	$\hat{\sigma}_d^2$	0,0784	0,0784	0,0784	0,0784	0,0784	0,0784	0,0784	0,0784	0,0784	0,0784	0,0784	0,0784	0,0784	0,0784	0,0784
	$\hat{\sigma}_p^2$	0,0209	0,0128		0,0440	0,0363	0,0214	0,1574	0,0493		0,0727	0,0066	0,1865	0,0163	0,0298	0,0487
	$s(\hat{\sigma}_p^2)\%$	24,09	37,09		16,09	20,81	23,75	15,08	18,15		15,76	83,54	11,97	33,15	20,59	8,16
Altura	$\hat{\sigma}_{p}^{2}$ .	0,0248	0,0178		0,0486	0,0386	0,0249	0,1370	0,0528		0,0625		0,1746	0,0113	0,0386	2
	$s(\hat{\sigma}_{p'}^2)\%$	20,96	27,22		14,71	19,32	20,82	17,90	16,59		20,29		12,68	50,44	16,16	
6 anos	$\hat{\sigma}_e^2$	0,0629	0,0629	0,0629	0,0629	0,0629	0,0629	0,0629	0,0629	0,0629	0,0629	0,0629	0,0629	0,0629	0,0629	0,0629
	$\hat{\sigma}_d^2$	0,8094	0,8094	0,8094	0,8094	0,8094	0,8094	0,8094	0,8094	0,8094	0,8094	0,8094	0,8094	0,8094	0,8094	0,8094

<sup>(1)</sup>  $\hat{\sigma}_{p}^{2}$  - estimativas de variâncias entre progênies, análise em blocos de famílias compactas;

 $<sup>\</sup>hat{\sigma}_{p'}^2$  - estimativas de variâncias entre progênies, análise em blocos casualizados.

<sup>(2)</sup> p(P) - estimativas de variância entre progênies dentro de procedências, análise em blocos de famílias compactas.

Percebe-se, ainda, que os valores estimados para variância genética não diferiram muito quando procederam da análise em blocos de famílias compactas ou de análises individuais para cada procedência em blocos casualizados (s²p e s²p) semelhante ao ocorrido em TORGGLER (1987) que usou o delineamento de blocos de famílias compactas com

a finalidade de estimar os componentes de variância.

A TABELA 12 apresenta os diversos coeficientes de herdabilidade: em nível de plantas individuais (herdabilidade no sentido restrito), em nível de médias de famílias e em nível de plantas dentro de famílias para progênies dentro de cada procedência e para a média de progênies dentro de procedências.

TABELA 12 - Estimativas dos coeficientes de herdabilidade individual  $\hat{h}^2$ , em nível de médias de famílias  $\hat{h}_m^2$  e dentro de progênies  $\hat{h}_d^2$ , para os dados de altura aos 2 anos, altura, DAP e resina, de *Pinus caribaea* var. *bahamensis* aos 6 anos de idade.

									PRO	CEDÊ	NCIAS	3					
CARACTERÍSTICA		65	66	67	68	69	70	71	72	73	74	75	76	77	78	p(P)*	
		$\hat{h}^2$	0,04	0,00	0,27	0,35	0,61	0,01	0,00	0,19	0,09	0,28	0,48	0,00	0,37	0,00	0,17
Resina		$\hat{h}_m^2$	0,19	0,00	0,61	0,68	0,79	0,06	0,00	0,52	0,32	0,62	0,74	0,00	0,68	0,00	0,48
		$\hat{h}_d^2$	0,04	0,00	0,25	0,33	0,62	0,01	0,00	0,18	0,08	0,26	0,47	0,00	0,35	0,00	0,15
		$\hat{h}^2$	0,12	0,11	0,13	0,40	0,21	0,25	0,34	0,30	0,47	0,05	0,17	0,37	0,17	0,16	0,23
DAP		$\hat{h}_m^2$	0,44	0,41	0,46	0,75	0,59	0,63	0,70	0,67	0,77	0,23	0,53	0,72	0,53	0,52	0,60
		$\hat{h}_d^2$	0,10	0,09	0,11	0,37	0,18	0,22	0,30	0,26	0,43	0,04	0,15	0,33	0,15	0,14	0,20
Altura		$\hat{h}^2$	0,21	0,32	0,00	0,24	0,42	0,11	0,06	0,35	0,00	0,09	0,14	0,40	0,18	0,37	0,24
2 anos		$\hat{h}_m^2$	0,57	0,68	0,00	0,61	0,74	0,42	0,27	0,70	0,00	0,36	0,48	0,73	.0,54	0,72	0,61
		$\hat{h}_d^2$	0,18	0,28	0,00	0,21	0,39	0,10	0,05	0,32	0,00	0,08	0,12	0,37	0,16	0,34	0,21
Altura		$\hat{h}^2$	0,09	0,06	0,00	0,19	0,16	0,10	0,61	0,21	0,00	0,31	0,03	0,70	0,07	0,13	0,21
6 anos		$\hat{h}_m^2$	0,38	0,27	0,00	0,57	0,52	0,35	0,82	0,59	0,00	0,68	0,16	0,85	0,33	0,47	0,59
		$\hat{h}_d^2$	0,08	0,05	0,00	0,16	0,13	0,08	0,58	0,18	0,00	0,27	0,02	0,69	0,06	0,11	0,18

(\*) p(P) - estimativas de variância entre progênies dentro de procedências, análise em blocos de famílias compactas.

Não houve coincidência entre as procedências com altos valores de herdabilidade, nas características estudadas. Em média, os coeficientes de herdabilidade para produção de resina foram os mais baixos seguidos dos coeficientes para altura e DAP, todos aos 6 anos de idade. Pode-se notar, ainda, que houve uma grande variação entre os valores dos coeficientes de herdabilidade de uma procedência para outra. Pelo menos seis

procedências (67, 68, 69, 72, 74, 75 e 77) apresentaram valores médios e altos para herdabilidade em nível de plantas individuais (> 0,17) para produção de resina. As procedências de números 67, 68, 69, 72 e 74 foram as mesmas citadas anteriormente por apresentarem variabilidade entre suas progênies, constituindo portanto, material com excelentes condições de sucesso através de seleção.

Deve-se atentar para o fato de que os coeficientes de herdabilidade em nível de famílias podem estar superestimados em razão da amostragem reduzida por procedência, conforme S. Vannella *et al.* (1978) *apud* TORGGLER (1987).

Os valores de coeficientes de herdabilidade iguais a zero na TABELA 12 correspondem a estimativas de variâncias negativas. Com exceção dessas procedências, as demais apresentaram coeficientes de herdabilidade de grandeza razoável e comparáveis com aqueles da literatura consultada. De forma geral, para as três características, os coeficientes de herdabilidade estimados são suficientemente altos para se obter progresso por seleção entre e dentro de famílias de meios-irmãos. Observa-se nos resultados deste estudo uma contradição com relação àqueles dos trabalhos citados em que, na maioria dos casos, os coeficientes de herdabilidade ao mesmo nível são mais expressivos para produção de resina, seguidos dos coeficientes para DAP e por último pelos coeficientes para altura.

A maioria das procedências apresentou queda nos coeficientes de herdabilidade para altura dos 2 aos 6 anos, com exceção das procedências de números: 71 (Roker Cay, Andros), 74 (South Riding, Grand Bahama) e 76 (Little Harbour Cay, Grand Bahama). A diminuição dos valores de herdabilidade com a idade é relatada por diversos autores, em outras espécies e características. Como exemplo observa-se os dados da TABELA 3 referentes a GURGEL GARRIDO et al. (1986/88) e GURGEL GARRIDO & KAGEYAMA (1993) com respeito à produção de resina e DAP para as mesmas progênies. As procedências de números 71, 74 e 76 apresentaram grandes acréscimos nas variâncias entre progênies de uma idade para outra com valores: 121,08, 36,35 e 19,43 vezes maiores, respectivamente. Nas demais procedências o maior acréscimo correspondeu a valores de no máximo 8,6 vezes. Embora os demais componentes de variância (que, juntamente com a variância entre progênies, integram o denominador da expressão de herdabilidade) também tenham aumentado com a idade, a proporção de acréscimo foi bem menor.

Os valores para herdabilidade em nível de médias de progênies dentro de procedências, também aponta para a possibilidade ganhos genéticos por seleção de dentro de procedências. Estes valores seguem a mesma tendência dos coeficientes individuais, entre e dentro de progênies, com maiores valores para altura e DAP, seguidos dos valores de produção de resina.

Com vistas à seleção para as características de crescimento apenas duas procedências das melhores para produção de resina seriam eleitas (68 e 69).

A TABELA 13 mostra os diversos coeficientes de variação para cada procedência.

Para a característica produção de resina, com exceção das quatro famílias com estimativas negativas para a variancia entre progênies, observa-se na TABELA 13 que os valores de coeficientes de variação são altos, o que associado aos coeficientes de herdabilidade médios e altos, permite esperar ganhos genéticos expressivos por seleção entre e dentro de famílias. Os coeficientes de variação, em geral, apresentaram-se mais expressivos para produção de resina que para DAP e altura. Os maiores coeficientes de variação genética (≥ 9,5%) pertencem às mesmas procedências citadas com os maiores valores de herdabilidade. Os valores dos coeficientes de variação genética situam-se entre aqueles da literatura citada para idades de 2,5 a 7,5 anos (Pinus elliottii var. elliottii) e em média (9,5%) comparáveis ao coeficiente encontrado em GURGEL GARRIDO et al. (1996) para Pinus caribaea var. bahamensis, aos 5 anos de idade.

Os coeficientes de variação ambiental (CV<sub>e</sub>%) têm aproximadamente a mesma grandeza dos coeficientes de variação genética, quando se observam as características de crescimento, mas equivalem ao dobro dos coeficientes de variação genética para produção de resina, indicando um forte componente ambiental na variação fenotípica.

Os coeficientes de variação dentro de parcelas alcançaram valores, em média, de 4 a 5 vezes o coeficiente de variação genética, o que constitui um fato relevante, desde que 3/4 da variância aditiva está contida na variância entre plantas, dentro de progênies.

Estimativas dos ganhos genéticos esperados por seleção entre e dentro de famílias de meios-irmãos, em cada procedência, aparecem na TABELA 14.

Nas estimativas da TABELA 14 foram utilizados diferenciais de seleção individuais para cada característica, cujos valores se referem a intensidades de seleção próximos a 30% entre progênies (dentro de procedências) e 20% dentro das progênies. Os ganhos estimados referem-se à transformação do ensaio em pomar de sementes por mudas sem descarte de procedências.

GURGEL GARRIDO, L. M. do A. et al. Variação g nética em progênies e procedências de Pinus caribaea Mor. var. bahamensis Bart. et Golf. para produção de resina e características de crescimento.

11.) 15.35 1538 11.73 35.81 98.11 15.12 17.21 87.11 1511 15.86 5611 13.36 11 11 PAD 11.20 85.11 11.73 11.20 8£T1 06 11 85 11 1525 87,21 15,00 70.11 11.28 1103 SOUR! () 70.11 15:11 01.) 3.22 7 : 3.23 17.F 3115 378 41.5 2:15 3.23 6t'E 95.5 3'00  $\epsilon milV$ €6.8 TIE 20% 3A.) 65 8 ts 7 187 15.5 195 85 2 57.2 651 09.5 £0.1 881 6:1 081 52'52 53'00 6677 11) 56'77 50.06 1137 19.65 52.75 **58'81** 58.85 88°t7 05,02 16.25 90 12 53 13  $p_{\Lambda,\lambda}$ 6517 33'18 53'02 97.75 53:33 51.20 5333 71 17 0:17 60 87 55,80 60'ti 17.97 89.52 Sour 7 CAS 8414 55.7 29.7 857 **tt**'/ **t**8'9 78.0 88'9 vinite917 06.0 130 918 08.8 30,5 45% 3(1.) 22.5 60.9 967 16't 86.7 827 98.5 \*\* 66.8 1)6,8 071 05.8 19.0 ( ) 17791 11) 12.92 67.91 6871 52'01 11.51 TUSI 12.82 55.01 ET 91 18'41 15.01 60 5 61.91 t/ 91  $p_{\Lambda,\mathcal{I}}$ †6'†1 t5"t1 15'11 08,41 1551 86 51 1750 11.28 15 +1 60.51 12.73 14,84 56'+1 56.51 10,01 (.1. 17't 115th 12 + tt't 79°t 987 65 t 68 T LST 02 + 69 + 7.25 ()9'+ SE T 6 L T dVC 31.) 3.28 727 917 50.2 15.5 56't 3.32 75.0 ELT £11+ 815 127 0115 3.86 3.85 JAD 86 45 09.84 08'9t 58'6t 6501 LETT 10.01 t6'9t 15'61 6t'Lt 8E'9t 9074 88 91 P.A.) 62'81 \$6'7t £1'5t 88 Et 99.14 41.50 13.95 to 11 00,78 £0'0t 09 11 96.85 88.01 (1.° 12.52 60 L1 17.00 7117 1732 t5.71 £8,01 81.12 16.21 56.61 61.51 71.01 08 91 12'51 t6'81 Russall CA 17.71 67.21 15.8 177 †6'† 18:50 13.81 6711 05.6 1111 546 \*(9)q SL EL īL 84 LL 94 tL. ΙL ()L 89 10 ()() 50 .1.) CARACTERISTICAS 69 **PROCEDENCIAS** 

TABELA 13 - Estimativas dos coeficientes de variáncia dentro de progénies ( $\nabla V_d^{(g)}$ ) ambiental ( $\nabla V_e^{(g)}$ ) entre progénies ( $\nabla V_p^{(g)}$ ) e fenotípica total ( $\nabla V_t^{(g)}$ ) para os dados de DAP e resina aos 6 anos e altura aos 2 e 6 anos de idade de Pinus carribaca var, bahamensis.

(\*) p(P) - estimativas de variáncia entre progénies dentro de procedências, analise em blocos de familias compactas.

Rev. Inst. Flor., São Paulo, 11(2): 105-121, 1999.

TABELA 14 - Percentuais de ganhos genéticos estimados entre ( $\hat{G}_{c}$ %) e dentro de famílias ( $\hat{G}_{d}$ %) e total ( $\hat{G}_{s}$ %), para todas as procedências e as três características aos 6 anos de idade de *Pinus caribaea* var. bahamensis.

		PROCEDÊNCIAS													
CARACTERÍSTICAS	Ġ %	65	66	67	68	69	70	71	72	73	74	75	76	77	78
	G <sub>e</sub>	2,30	220	7,48	12,16	17,24	0,58	-	7,46	2,73	10,22	15,28		12,88	
Resina	Ĝd	1,94	355.0	11,39	15,96	28,99	0,45	***	8,24	4,81	12,62	23,75		17,52	
	Ĝs	4,25	++	18,87	28,12	46,23	1,03	**	15,70	7,54	22,84	39,03		30,40	
	Ĝe	1,86	1,79	1,56	4,79	3,14	3,49	3,51	4,11	2,71	0,88	2,49	4,78	2,54	2,42
DAP	Ĝd	1,68	1,47	1,80	6,30	3,32	3,85	5,58	4,88	7,30	0,68	2,56	5,70	2,53	2,51
	$\hat{G}_s$	3,54	3,26	3,36	11,09	6,46	7,35	9,10	8,99	10,02	1,56	5,06	10,49	5,06	4,93
	G <sub>e</sub>	1,19	0,83	**	2,09	1,94	1,25	4,24	2,52		3,12	0,43	5,88	0,96	1,54
Altura	$\hat{G}_d$	1,01	0,61	-	2,10	1,87	1,06	8,65	2,65	**	3,72	0,32	9,36	0,79	1,50
	Ĝs	2,20	1,43	-	4,18	3,81	2,31	12,89	5,17		6,84	0,75	15,24	1,75	3,04

Ainda pela TABELA 14 notam-se estimativas bem maiores de ganhos genéticos para produção de resina (de até 46%) com relação as demais características, concordando assim, com a literatura aqui citada. Os altos valores estimados para ganhos genéticos em produção de resina, apesar das menores estimativas de herdabilidade, devem-se aos altos coeficientes de variação genética estimados para a característica.

Observa-se, também, que os percentuais de ganhos genéticos entre plantas, dentro de progênies foi em geral maior que entre médias de progênies, para produção de resina e DAP. O progresso por seleção variou entre 1,0% e 46,2% para produção de resina, entre 1,6% e 11,1% para DAP e entre 0,8% e 15,2% para altura, aos 6 anos de idade, excetuando-se os casos de variância genética negativa. As procedências de números: 67, 68, 69, 72, 74, 75 e 77 foram as que mostraram as maiores porcentagens de expectativa de progresso genético por seleção, para produção de resina.

O estudo de correlação entre características revelou coeficientes de correlação ora positivos, ora negativos, de uma procedência para outra. Desta forma a seleção, tanto entre procedências como entre e dentro de progênies, deverá se restringir à produção de resina que é o objetivo principal do presente estudo. As respostas correlacionadas referentes aos ganhos em DAP, por seleção na

característica produção de resina, variaram entre -11,48% a 13,82%. Para altura, com seleção na produção de resina, as respostas correlacionadas ficaram entre -17,40% e 4,70%.

A seleção de 50% das procedências com os maiores valores de coeficientes de herdabilidade e de variação genética, para produção de resina, significa eleger as procedências: Central Abaco, Sandy Point, San Andros, Kemps Bay, South Riding, Maclean's Town Cay e Adelaide. Não se recomenda, no entanto, o descarte de procedências nesta fase do programa visando conservar base genética mais ampla. Por outro lado, recomenda-se a formação de um pomar de sementes clonal com os indivíduos selecionados neste ensaio além do material já selecionado anteriormente e iniciar a segunda geração de melhoramento com vistas, principalmente, à produção de resina.

### 5 CONCLUSÕES

Do exposto neste trabalho, conclui-se:

 a) seis procedências apresentaram produções de resina acima da média: Central Abaco e Sandy Point (Abaco), San Andros, Staniard Creek e Kemps Bay (Andros) e South Riding (Grand Bahama) predominando aquelas da Ilha de Andros;

- b) quanto ao crescimento em altura e diâmetro, predominaram as procedências da Ilha de Abaco;
- c) os altos valores dos coeficientes de variação experimental (principalmente para produção de resina) e do erro das estimativas da variância genética alertam para se proceder com cautela quanto ao descarte de procedências, devido à baixa representatividade de cada uma delas;
- d) as procedências: Central Abaco e Sandy Point (Abaco) San Andros, Staniard Creek e Kemps Bay (Andros) e South Riding (Grand Bahama) e Adelaide (New Providence) foram as que apresentaram maior variabilidade genética para produção de resina, com consequente maior expectativa de progresso genético por seleção das 30% melhores progênies e 20% melhores plantas dentro das progênies;
- e) recomenda-se, portanto, seleção entre e dentro de progênies conservando-se material genético de todas as procedências, objetivando manter ampla base genética nesta fase do programa, e
- f) recomenda-se, ainda, a formação de um pomar sementes clonal com os indivíduos selecionados neste ensaio, acrescidos do material genético já anteriormente selecionado, para produção de resina.

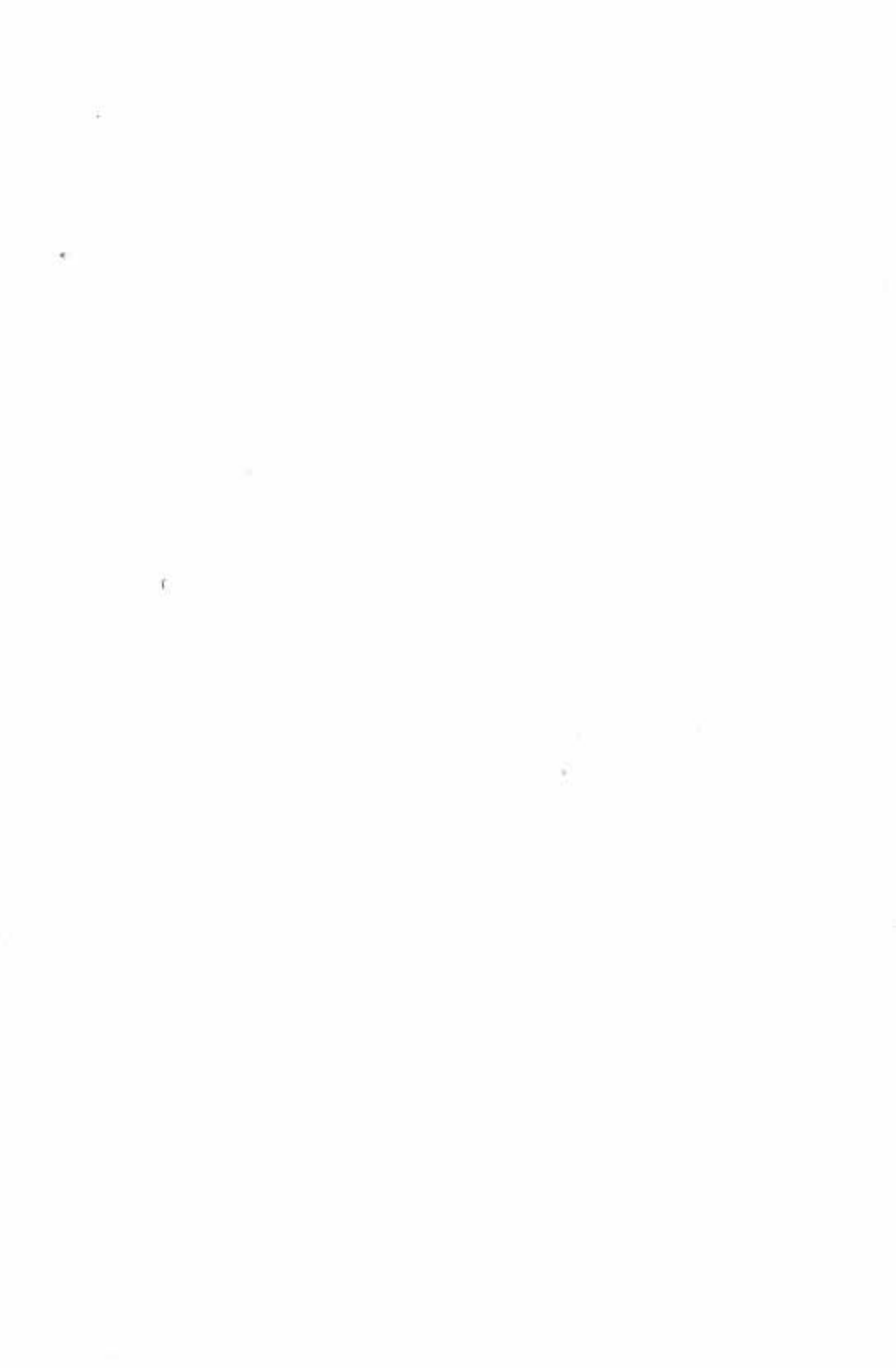
### REFERÊNCIAS BIBLIOGRÁFICAS

- AGUDELO Jr., C. 1990. Caracterización de Pinus caribaea Morelet, Pinus oocarpa Shiede y Pinus maximinoi H. E. Moore. Honduras, Escuela Agrícola Panamericana, El Zamorana. 51p.
- BARRET, W. H. & GOLFARI, L. 1962. Descripcion de las nuevas variedades los "pino del caribe". *Caribbean Forester*, Rio Piedras, 23(2):59-71.
- BAYLIS, W. B. H. & BARNES, R. D. 1988. International provenance trial of *Pinus caribaea* var. *bahamensis*. In: IUFRO THAILAND CONFERENCE IN BREEDING TROPICAL PINES, Pattaya-Thailand, Nov.-Dec. 28-3, 1988. *Anais*...
- BRITO, J. O.; BARRICHELO, L. E. G. & TREVISAN, J. F. 1978. Condições climáticas e suas influências sobre a produção de resina de pinheiros tropicais. *IPEF*, Piracicaba, (16):37-45.

- CAPITANI, L. R. et al. 1980. A potencialidade de resinagem de quatro espécies de Pinus tropicais, na região de Sacramento, MG. Piracicaba, IPEF. 15p. (Circular Técnica, 110)
- COCHRAN, W. G. & COX, G. M. 1957. Experimental designs. New York, John Wiley & Sons. 616p.
- FALCONER, D. S. 1972. Introduction to quantitative genetics. New York, Ronald Press. 365p.
- GARRIDO, M. A. de O. *et al.* 1982. Produção de resina de três espécies/variedades de *Pinus* tropicais. *Bol. Técn. IF*, São Paulo, *36*(2):111-121.
- GARRIDO, M. A. de O. *et al.* 1983. Pesquisa sobre resinagem no Instituto Florestal. In: SEMINÁRIO SOBRE RESINA DE *PINUS* IMPLANTADOS NO BRASIL, 2, São Paulo-SP, jul. 7-8, 1983. *Anais... Silvicultura*, São Paulo, *8*(33):48-53.
- GARRIDO, M. A. de O.; GURGEL GARRIDO, L. M. do A. & SILVA, H. M. 1986. Plantio de *Pinus* spp na região sudoeste do Estado de São Paulo. In: CONGRESSO FLORESTAL BRASILEIRO, 5, Olinda-PE, nov. 23-28, 1986. *Bol. Técn. IF*, São Paulo, 40-A:402-438. Pt. 2. (Edição Especial)
- GIBSON, G. L. 1982. Genotype environment interaction in *Pinus caribaea*. Oxford, Commonwealth Forestry Institute. 112p. (intern report)
- GOLFARI, L. 1967. Coníferas aptas para poblaciones forestales en el Estado de São Paulo. Silvic. S. Paulo, São Paulo, 6:7-62.
- GREAVES, A. 1980. Review of the Pinus caribaea Mor. and Pinus oocarpa Sch. international provenances trials, 1978. Oxford, Commonwealth Forestry Institute. 89p. (Occasional Papers, 12)
- GURGEL GARRIDO, L. M. do A.; GARRIDO, M. A. de O. & KAGEYAMA, P. Y. 1986/88. Teste de progênies precoce de meio-irmãos de *Pimus elliottii* Eng. var. *elliottii* de árvores superiores para produção de resina. *Silvic. S. Paulo*, São Paulo, 20/22:31-39.
- & KAGEYAMA, P. Y. 1993 Evolução, com a idade, de parâmetros genéticos de *Pinus elliottii* Eng. var. *elliottii* selecionado para produção de resina. *Rev. Inst. Flor.*, São Paulo, 5(1):21-37.
- ; RIBAS, C. & GARRIDO, M. A. de O. 1994. Variabilidade da produção de resina, DAP, e altura em *Pinus elliottii* Engelm. var. *elliottii*. *Rev. Inst. Flor.*, São Paulo, 6:113-128.

- GURGEL GARRIDO, L. M. do A.; ROMANELLI, R. C. & GARRIDO, M. A. de O. 1996. Variabilidade da produção de resina, DAP, e altura em *Pinus caribaea* Mor. var. *bahamensis* Barr. et Golf. *Rev. Inst. Flor.*, São Paulo, 8(1):89-98.
- KAGEYAMA, P. Y. et al. 1977. Variações genéticas entre e dentro de progênies de *Pinus patula* Shiede e DEPPE, na região de Telêmaco Borba PR. *IPEF*, Piracicaba, (15):21-39.
- KAGEYAMA, P. Y. 1980. Teste de progênies de meios-irmãos de Pinus caribaea Mor. var. hondurensis Barr. et Golf. de árvores superiores selecionadas em populações da Austrália. Piracicaba, IPEF. 8p. (Circular Técnica, 114)
- MORAES, M. L., KAGEYAMA, P. Y. & JACOMINO, A. P. 1990. Parâmetros genéticos em progênies de *Pinus kesiya* Royle ex Gordon, em diferentes idades, na região de Selvíria MS. In: CONGRESSO FLORESTAL BRASILEIRO, 6, Campos do Jordão-SP, set. 22-27, 1990. *Anais...* São Paulo, SBS/SBEF. p. 496-502.
- NICOLIELO, N. & BERTOLANI, F. 1978. Resinagem em escala comercial na Cia. Agroflorestal Monte Alegre, Agudos (SP). In: CONGRESSO FLORESTAL BRASILEIRO, 3, Manaus AM, dez. 4-7, 1978. *Anais... Silvicultura*, São Paulo, 14:172-177. (Edição Especial)
- NIKLES, D. G. 1967. Comparative variability and relationship of caribbean pine (Pinus caribaea Mor.) and slash pine (Pinus elliottii Engelm.) Raleigh, University of North Carolina. 201p. (Tese de Ph.D.)
- RIBAS, C. et al. 1983. Resinagem de *Pinus* caribaea var. bahamensis. In: CONGRESSO FLORESTAL BRASILEIRO, 4, Belo Horizonte-MG, maio 10-15, 1982. Anais... Silvicultura, São Paulo, 8(28):851-856.
- ROMANELLI, R. C. 1988. Variabilidade genética para produção de resina associada às características de crescimento em uma população de Pinus elliottii var. elliottii Engelm. na região de Itapetininga SP. Piracicaba, ESALQ/USP. 101p. (Dissertação de Mestrado)
- SILVA, H. M. et al. 1984. Resinagem de Pinus elliottii var. densa e de Pinus oocarpa. Bol. Técn. IF, São Paulo, 38(2):177-185.

- TORGGLER, M. G. F. 1980. Variação genética entre progênies dentro de procedências de Eucalyptus saligna Smith. Piracicaba, ESALQ/USP. 198p. (Dissertação de Mestrado)
- VENCOVSKY, R. & BARRIGA, P. 1992. Genética biométrica no fitomelhoramento. Ribeirão Preto, Sociedade Brasileira de Genética. 496p.
- WEBB, A. B.; WOOD, P. J. & SMITH, J. 1980. A guide to species selection for tropical and subtropical plantations. Oxford, Commonwealth Forestry Institute. 342p. (Tropical Forestry Papers, 15)
- WRIGHT, J. W. 1976. Introduction to forest genetics. New York, Academic Press. 463p.



# SISTEMAS MECANIZADOS PARA IMPLANTAÇÃO DE FLORESTA. L GRADE ARADORA E ARADO DE DISCOS\*

Jair Rosas da SILVA\*\*
Nilson SALVADOR\*\*\*

### **RESUMO**

Em solo Podzólico Vermelho Amarelo do campus da Universidade Federal de Santa Maria, Estado do Rio Grande do Sul, contendo 41,2% de areia fina, 23,8% de areia grossa, 6,6% de argila e 2,5% de matéria orgânica, instalou-se um experimento com o objetivo de avaliar o desempenho de duas máquinas de preparo do solo na implantação de um povoamento de *Eucalyptus grandis* Hill ex Maiden. As máquinas empregadas foram uma grade aradora média, de 16 discos, trabalhando a 16 cm de profundidade e com 192 cm de largura de corte e um arado fixo com 3 discos, operando a 25 cm, com 86 cm de largura de corte. Os parâmetros de avaliação foram: teor de água no solo (%), temperatura (°C), resistência do solo à penetração (kNf/cm²), diâmetro médio geométrico de agregados, requerimento de tração (kNf), potência requerida (kW), consumo horário de combustível (1/h) e crescimento em altura do povoamento florestal (cm). O delineamento experimental foi o de blocos casualizados, com número de repetições variável. Os resultados obtidos por análise de variância, em alguns casos utilizando o pacote estatístico SAS, permitiram concluir que as máquinas de preparo do solo, de um modo geral, não diferiram entre si, com exceção para o maior esforço tratório exigido pela grade aradora, o que entretanto não resultou em maior consumo de combustível ou requerimento de potência e também mais alta temperatura do solo, o que não se refletiu no desenvolvimento florestal.

Palavras-chave: preparo do solo; máquinas; desempenho.

# 1 INTRODUÇÃO

Arados são máquinas ou implementos constituídos de órgãos ativos capazes de executar simultaneamente o corte, a elevação e a inversão de uma leiva de terra. Arados de discos são constituídos de um chassi no qual são fixados os corpos do arado, com colunas, mancais, discos e raspadores, roda guia e roda de profundidade. Grades de discos também são utilizadas para preparo do solo e são

### **ABSTRACT**

This work was carried out on a Red Yellow Podzolic soil in Universidade Federal de Santa Maria, Brazil, containing 65.0% of sand and 6.6% of clay, with 2.5% of organic matter. Its objective was to research performance in tillage operations with a 16-disk heavy harrowing, working at 16 cm depth and a 3-disk plowing at 25 cm depth, in establishing an *Eucalyptus grandis* Hill ex Maiden forest. The parameters of evaluation were: soil moisture, temperature oscillation, soil penetrometer resistance, aggregate size distribution, draft, required power, fuel consumption and initial growing of the forest. The experimental design employed a randomized-blocks trial with variable number of replicates. For all the parameters evaluated the results has shown significant statistical differences in soil temperature and draft only, both through the heavy harrowing, but it did not result in higher fuel consumption or an enhancement towards initial forest growing.

Key words: tillage; soil disturbance; performance.

constituídas pelas seções da grade, com mancais, discos (lisos ou recortados), limpadores, chassi e sistema de engate. Grade aradora média, segundo GADANHA Jr. et al. (1991), possui discos de diâmetro entre 61 e 76 cm, espaçamento entre discos entre 20 e 35 cm e peso por disco entre 500 e 1300 N. Visando ao trabalho em solos com vegetação, a grade de discos deve ter dupla ação, com discos da seção dianteira recortados, para picar melhor esse material.

<sup>(\*)</sup> Parte da Dissertação de Mestrado apresentada pelo primeiro autor em 29/12/94 à Universidade Federal de Santa Maria em Santa Maria-RS e apresentada no XXVIII Congresso Brasileiro de Engenharia Agrícola, realizado em Pelotas, RS, no período de 19 a 21 de julho de 1999. Aceito para publicação em agosto de 1999.

<sup>(\*\*)</sup> Instituto Florestal, Caixa Postal 1322, 01059-970, São Paulo, SP, Brasil.

<sup>(\*\*\*)</sup> Universidade Federal de Lavras, Caixa Postal 37, 37200-000, Lavras, MG, Brasil.

A aradura é geralmente realizada em solos pesados, com alto teor de argila, embora tenha sido empregada em solos leves e a gradeação pesada é freqüentemente usada em solos arenosos, como os de cerrado e de regiões litorâneas, conforme FONSECA (1978).

Quanto à mobilização do solo, um fator inerente ao solo que tem maior impacto sobre suas propriedades é o teor de água, que não é constante e varia com a profundidade, de acordo com UNGER & CASSEL (1991).

Com relação à temperatura decorrente da mobilização do solo, avaliando vários sistemas de preparo para a cultura do milho, ORTOLANI (1977) demonstrou que, em condições de solo argiloso, o arado de discos apresentou valores mais baixos de temperatura do solo do que a grade pesada, tendo sido ambos sucedidos por gradeação leve.

Quanto à resistência do solo à penetração, ORTOLANI *et al.* (1991) trabalhando sobre Latossolo Vermelho Escuro, com vários sistemas de preparo, concluíram que a grade aradora e a enxada rotativa provocaram alguma compactação subsuperficial, o que não foi verificado no preparo convencional com arado de discos mais grade leve.

Bezerra apud REINERT et al. (1984) verificou em Podzólico Vermelho Amarelo que ocorreu menor estabilidade e diâmetro médio geométrico de agregados em solo preparado com arado de discos e grade aradora do que com outros métodos de preparo.

Avaliando o consumo horário de combustível em operações de preparo, em Latossolo Vermelho Escuro, utilizando grade aradora e escarificador de arraste com complementos dianteiro e/ou traseiro, MAIA (1990) verificou a ocorrência de correlação entre consumo horário de combustível, esforço de tração e potência requerida. A grade aradora apresentou maior consumo horário de combustível.

Pesquisando nove sistemas de preparo do solo para implantação de floresta de *Eucalyptus grandis* Hill ex Maiden, em Latossolo Vermelho Amarelo, entre os quais aração com arado de discos + gradeação leve + sulcamento e gradeação com grade pesada + sulcamento, ROCHA *et al.* (1982) demonstraram que estes foram os sistemas de preparo que produziram maior crescimento em altura, maiores diâmetros e maiores volumes cilíndricos, nas condições do ensaio.

As máquinas e implementos de preparo do solo para implantação de floresta constituem intervenções que podem influir no crescimento em altura do povoamento florestal e, ao mesmo tempo, apresentar um comportamento diferenciado quanto ao desempenho mecânico dos conjuntos mecanizados.

O presente trabalho teve o objetivo de avaliar a influência sobre algumas das propriedades físicas do solo frente à mobilização efetuada por grade aradora e arado de discos, bem como quanto ao comportamento de alguns aspectos mecânicos dos conjuntos mecanizados.

### 2 MATERIAL E MÉTODOS

O estudo foi realizado em área de solo Podzólico Vermelho Amarelo - unidade de mapeamento São Pedro, do campus da Universidade Federal de Santa Maria, Estado do Rio Grande do Sul, com granulometria de 41,2% de areia fina, 23,8% de areia grossa, 28,4% de silte e 6,6% de argila, contendo 2,5% de matéria orgânica.

O arado de discos empregado é da marca Baldan, modelo Peixão, fixo e montado no engate de três pontos, com acionamento hidráulico, com três discos lisos de 61 cm de diâmetro, com raspadores, roda guia e roda de profundidade, pesando 4.513 N. Trabalhou à profundidade média de 25 cm, com uma largura de corte de 86 cm.

A grade aradora utilizada foi do tipo de arrasto, de dupla ação, marca Baldan, constituída por duas seções em V, cada qual com oito discos recortados de 61 cm de diâmetro, espaçados de 24 cm, com angulação regulável entre seções. Dotada de cilindro hidráulico para controle de profundidade e transporte, por meio de rodado de pneus. Peso total de 17.069 N. Operou à profundidade de 16 cm, produzindo largura de corte de 192 cm.

Como unidade de tração foi utilizado um trator agrícola da marca Massey-Ferguson, modelo MF-275, com tração simples e potência bruta de 54 kW a 2.000 rpm e peso total de 24.329 N, acrescido de lastragem com água nos pneumáticos traseiros e de pesos de ferro à dianteira do trator. A marcha de deslocamento utilizada foi a terceira reduzida alta, com velocidades teóricas ao redor de 5,0 km/h.

A aração com arado de discos e a gradeação com grade aradora foram posteriormente sucedidas por grade niveladora marca Tatu-Marchesan, de dupla ação, com quatro seções simétricas e articuladas entre si, com 24 discos lisos de 51 cm de diâmetro, peso total de 4.169 N, produzindo largura de corte de 250 cm e em uma única passagem.

O teor de água do solo foi avaliado após a passagem das máquinas de preparo, com nove repetições e determinado pelo método gravimétrico, com secagem das amostras a 105°C, até peso constante.

A temperatura do solo foi avaliada por meio de uma bateria de geotermômetros, determinando-se a oscilação térmica diária entre 7 e 19 horas, com intervalos a cada duas horas e na faixa de profundidade entre 0-15 cm, com sete repetições.

A resistência do solo à penetração foi determinada com uso de um penetrômetro de cone, marca Kamaq/Planalsucar, que opera pelo impacto de uma carga de 39,24 N em queda livre, em um espaço de 40 cm. Esse parâmetro foi avaliado a 30 cm de profundidade, com seis repetições.

O diâmetro médio geométrico de agregados foi avaliado através da passagem de amostras de solo por equipamento constituído de um conjunto de peneiras giratórias, acionado por motor elétrico, conforme KRUGER (1977), que determinam classes de diâmetros de agregados em função das dimensões das malhas das peneiras do aparelho e da aplicação de modelo matemático, com três repetições.

Para determinação do esforço médio de tração foi empregado um carro dinamométrico acoplado entre a barra de tração ou o engate de três pontos e a máquina ensaiada, com quatro repetições. O aparato era constituído por uma célula de carga, um transdutor de força e um registrador analógico digital.

A potência requerida foi inferida por modelo matemático, considerando o esforço de tração exigido e a velocidade de deslocamento dos conjuntos, esta avaliada por cronometragem em percursos contínuos de 50 m de extensão, com quatro repetições.

O consumo horário de combustível (óleo Diesel) foi determinado por meio de um equipamento medidor constituído por três buretas graduadas formando um sistema de vasos comunicantes, um tanque auxiliar, tubulações de propileno e

e válvulas solenóides. Essa avaliação foi efetuada em percursos contínuos de 50 m de extensão, com quatro repetições.

Para a determinação do crescimento em altura do povoamento de *Eucalyptus grandis* Hill ex Maiden, aos oito meses de idade após o transplantio, implantado no espaçamento de 3 x 2 m, foi utilizada régua dendrométrica, com 50 determinações por parcela, com quatro repetições.

A parcela experimental teve 100 m de extensão, com largura variável, ao redor de 3 m. O delineamento experimental foi o de blocos casualizados. Os parâmetros teor de água do solo (%), temperatura (°C), diâmetro médio geométrico de agregados e resistência do solo à penetração (kNf) foram avaliados através de análise de variância e aplicação do teste de Tukey a 5% de significância. Para os demais, a análise de variância utilizou o pacote estatístico SAS, também com aplicação do teste de Tukey a 5% de significância.

### 3 RESULTADOS E DISCUSSÃO

Não ocorreram diferenças estatísticas significativas entre valores de conteúdo de água (%) quanto à mobilização do solo efetuada por grade aradora ou arado de discos (FIGURA 1). As diferentes máquinas de preparo do solo não induziram alterações sensíveis quanto a esse parâmetro, devido à textura francoarenosa do solo pesquisado.

O sistema de preparo com arado de discos apresentou temperatura (°C) mais baixa do solo na camada entre 0-15 cm de profundidade, em relação ao sistema com grade aradora (FIGURA 2). Esse resultado é atribuído a alterações nas propriedades térmicas do solo, em razão da maior mobilização efetuada pelo arado de discos, o que é concordante com resultados obtidos por ORTOLANI (1977), em ensaio realizado em Latossolo Vermelho Escuro.

Não ocorreram diferenças significativas entre os valores de resistência do solo à penetração (kNf/cm²), à profundidades de 30 cm, após o preparo efetuado pelo arado de discos e grade aradora, devido à analogia entre as formas de imposição de cargas ao solo (FIGURA 3). O conteúdo médio de água do solo nessa determinação foi 10,09% para as parcelas com arado de discos e de 11,18% para a grade aradora, valores que também não diferiram entre si.

SILVA, J. R. da & SALVADOR, N. Sistemas mecanizados para implantação de floresta. 1. Grade aradora e arados de discos.

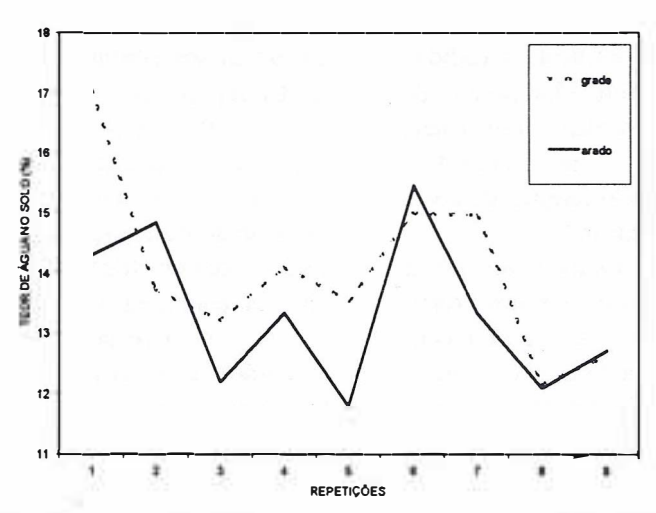


FIGURA 1 - Conteúdo de água no solo (%) após o preparo com grade aradora e arado de discos, em solo françoarenoso.

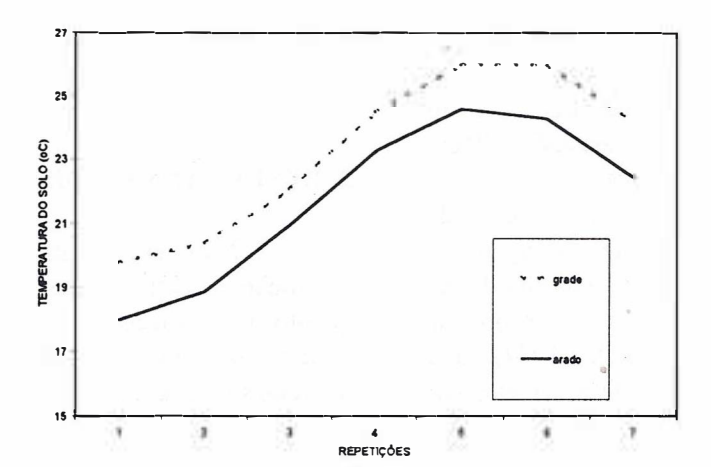


FIGURA 2 - Temperatura do solo (°C) após preparo efetuado com grade aradora e arado de discos, em solo francoarenoso.

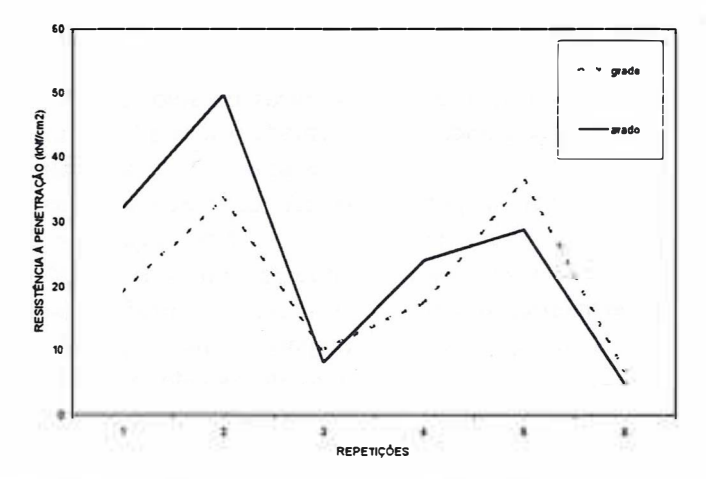


FIGURA 3 - Valores de resistência do solo à penetração (kNf/cm²) para o arado de discos e a grade aradora, em solo francoarenoso.

Quanto aos valores de diâmetro médio geométrico (dmg) obtidos pela distribuição de tamanhos de agregados do solo, não ocorreram diferenças estatísticas em função do trabalho efetuado pelo arado de discos e grade aradora (FIGURA 4). Tal resultado pode ser atribuído ao baixo conteúdo de argila e matéria orgânica no solo pesquisado, fatores essenciais para a formação de agregados no solo.

Com referência ao parâmetro esforço de tração (kNf), a grade aradora exigiu maior requerimento de tração que o arado de discos (FIGURA 5).

Esse comportamento resulta da maior magnitude de carga aplicada em subsuperfície, no caso da grade aradora e possivelmente também em função da adequada regulagem prévia do arado.

Os valores de requerimento de potência (kW) não diferiram entre si, considerando-se as máquinas de preparo do solo ensaiadas (FIGURA 6). Tal resultado pode ser atribuído ao maior deslizamento do rodado em operações de preparo do solo que demandaram maior esforço de tração, caso da grade aradora.

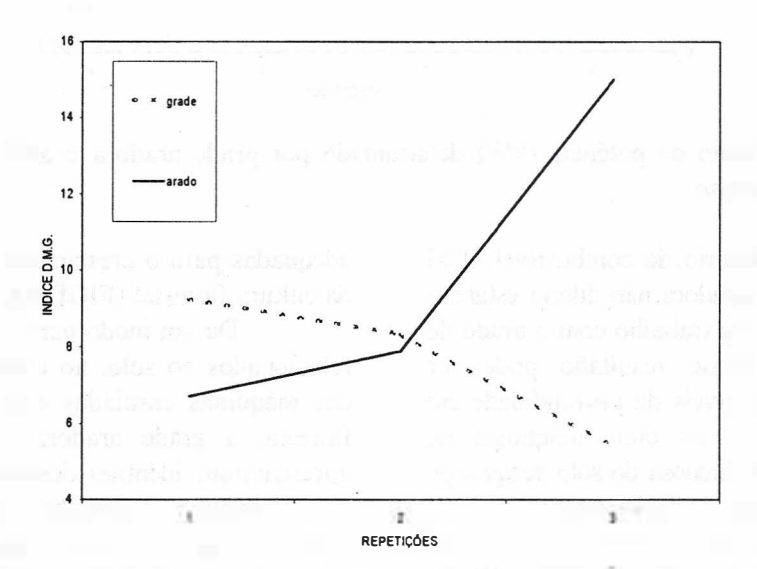


FIGURA 4 - Valores do índice de agregação do solo (dmg) determinados pelo arado de discos e grade aradora, em solo francoarenoso.

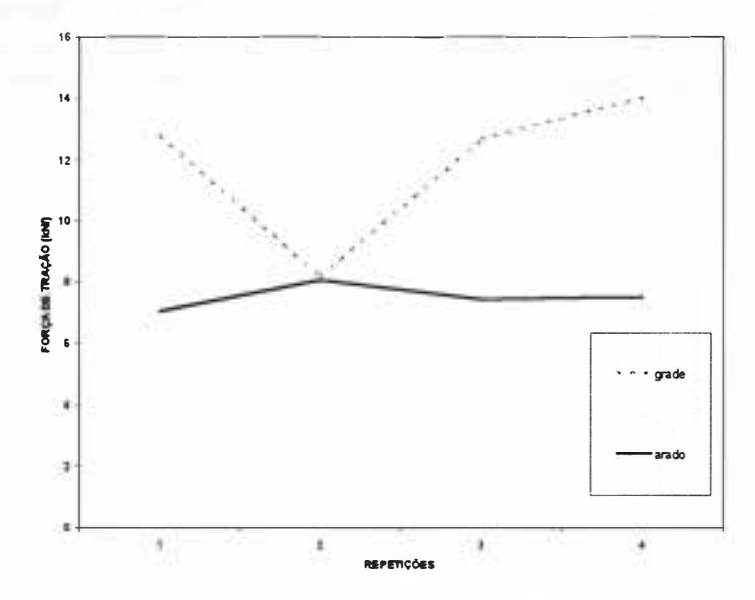


FIGURA 5 - Valores de esforço de tração (kNf) para a grade aradora e arado de discos, em solo francoarenoso.

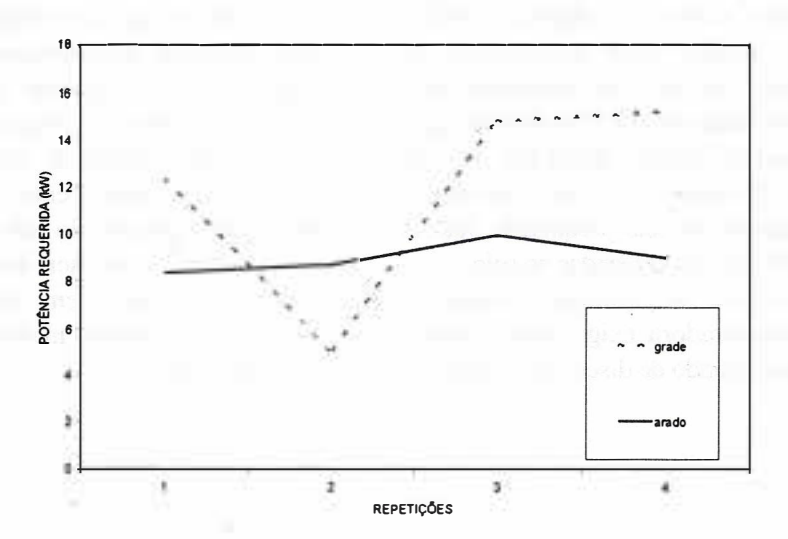


FIGURA 6 - Requerimento de potência (kW) determinado por grade aradora e arado de discos, em solo francoarenoso.

O consumo horário de combustível (1/h) determinado pela grade aradora não diferiu estatisticamente do produzido pelo trabalho com o arado de discos (FIGURA 7). Esse resultado pode ser atribuído aos diferentes níveis de profundidade em que atuaram no ensaio as duas máquinas de preparo, à textura franco-arenosa do solo pesquisado e às adequadas velocidades de deslocamento.

Quanto ao parâmetro desenvolvimento inicial em altura (cm) do povoamento de *Eucalyptus grandis* Hill ex Maiden, o arado de discos e a grade aradora apresentaram idêntico comportamento, supostamente em função do grau de revolvimento e à textura francoarenosa do solo pesquisado, proporcionando condições

adequadas para o crescimento do sistema radicular da cultura florestal (FIGURA 8).

De um modo geral, sob diversos aspectos relacionados ao solo, ao comportamento mecânico das máquinas ensaiadas e ao desenvolvimento da floresta, a grade aradora e o arado de discos apresentaram idêntico desempenho no preparo de um Podzólico Vermelho Amarelo, de textura francoarenosa. Exceção para os parâmetros temperatura do solo, cuja diferença não resultou em alteração no desenvolvimento em altura do povoamento florestal e também para esforço de tração, que não determinou maior requerimento de potência ou consumo de combustível.

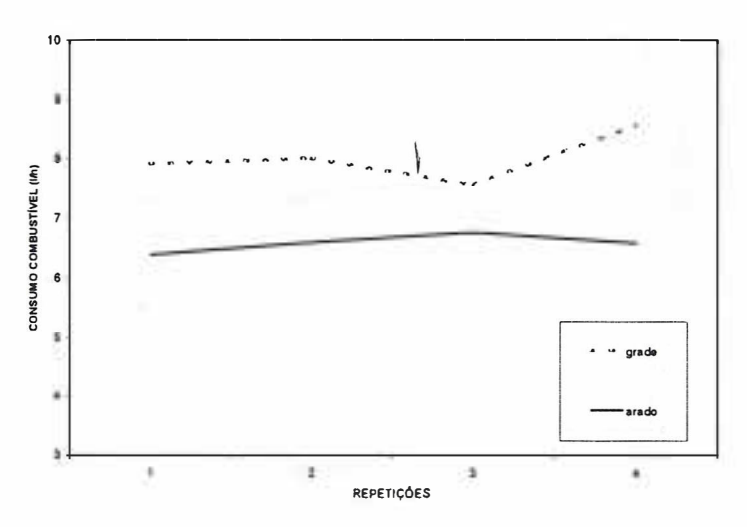


FIGURA 7 - Valores de consumo horário de combustível (l/h) para arado de discos e grade aradora, em solo francoarenoso.

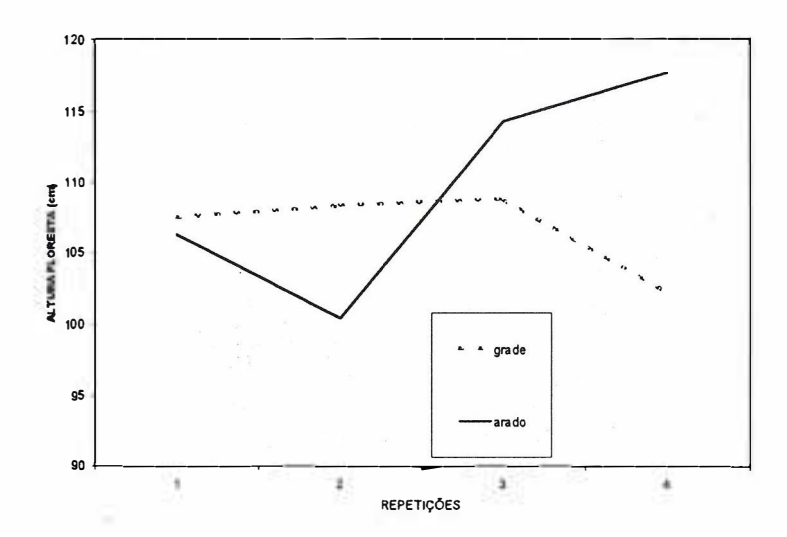


FIGURA 8 - Valores de altura (cm) do povoamento florestal aos oito meses de idade, em solo francoarenoso preparado com arado de discos e grade aradora.

### 4 CONCLUSÃO

A grade aradora e o arado de discos apresentaram, de um modo geral, idêntico desempenho frente a diversos parâmetros avaliados no trabalho de preparo do solo para implantação de povoamento de *Eucalyptus grandis* Hill ex Maiden, operando em solo francoarenoso. Exceção ocorreu para o maior esforço de tração exigido pela grade aradora, conquanto não tenha determinado maior requerimento de potência ou consumo de combustível e também para temperatura do solo mais alta, o que não resultou em maior desenvolvimento inicial em altura do povoamento florestal implantado.

# REFERÊNCIAS BIBLIOGRÁFICAS

- FONSECA, S. M. 1978. Preparo do solo para implantação de florestas. Piracicaba, ESALQ/USP.
  30p. (Curso de Pós-graduação em Engenharia Florestal)
- GADANHA Jr., C. D. et al. 1991. Grade de discos. In: MÁQUINAS E IMPLEMENTOS AGRÍCOLAS. São Paulo, Instituto de Pesquisas Tecnológicas. p. 45-47.
- KRUGER, J. I. 1977. Relações entre os tamanhos de agregados do solo e o modelo teórico de espessura de corte de enxada rotativa. Santa Maria, Universidade Federal de Santa Maria. 45p. (Dissertação de Mestrado)

- MAIA, J. C. S. 1990. *Influência de tipos de preparo sobre algumas características fisicas e comportamento da soja (Glycine max L.) em solo sob vegetação de cerrado*. Santa Maria, Universidade Federal de Santa Maria. 132p. (Dissertação de Mestrado)
- ORTOLANI, A. F. 1977. Efeitos de diferentes tipos de preparo do solo sobre o comportamento do sistema solo-cultura de milho (Zea mays L.). Jaboticabal, UNESP. 13p. (datilogr.)
- ORTOLANI, A. F. et al. 1991. Manejo do solo agrícola durante dez anos com a cultura do milho (Zea mays L.) I: efeitos no solo. In: CONGRESSO BRASILE™RO DE ENGENHARIA AGRÍCOLA, 20, 1991. Anais... Londrina, IAPAR.
- REINERT, D. J. et al. 1984. Efeitos de diferentes métodos de preparo sobre a estabilidade de agregados em solo Podzólico Vermelho Amarelo. Revista do Centro de Ciências Rurais, Santa Maria, 14(1):19-25.
- ROCHA, D. et al. 1982. Efeitos dos sistemas de preparo do solo no crescimento de *Eucalyptus grandis* na região de Capelinha-MG. In: CONGRESSO FLORESTAL BRASILEIRO, 4, Belo Horizonte-MG, maio 10-15, 1982. *Anais... Silvicultura*, São Paulo, 8(28):464-466.
- UNGER, P. W. & CASSEL, D. K. 1991. Tillage implement disturbance effects on soil properties related to soil and water conservation: a literature review. Soil & Tillage Research, Amsterdam, (19):363-82.



# DESENVOLVIMENTO DE *Plathymenia reticulata* Benth. EM PLANTIO PURO E EM CONSORCIAÇÃO COM ESPÉCIES DE DIFERENTES ESTÁDIOS SUCESSIONAIS\*

Giselda DURIGAN\*\*
Lêda Maria do Amaral GURGEL GARRIDO\*\*
Marco Antônio de Oliveira GARRIDO\*\*

### **RESUMO**

Visando conhecer o desempenho silvicultural do vinhático-do-campo (*Plathymenia reticulata*), efetuou-se o plantio da espécie em povoamento puro e em consorciação com espécies de diferentes estádios sucessionais, a saber: *Croton floribundus* (pioneira), *Platypodium elegans* (secundária) e *Cabralea canjerana* (climácica). Nove anos após o plantio, *P. reticulata* apresentou alta sobrevivência e crescimento relativamente lento. Dentre as espécies consorciadas, duas apresentaram 100% de mortalidade: *Croton floribundus* (por volta dos seis anos) e *Cabralea canjerana* (nos primeiros anos após o plantio). Com base nos resultados obtidos, considera-se que o plantio puro produziu os melhores resultados em termos de sobrevivência, número de fustes (2250/ha) e área basal (12,3 m²/ha). O uso da espécie sombreadora resultou em que o crescimento das árvores foi muito inferior aos outros tratamentos, devido à competição. A exploração das árvores para uso como palanques pode ter início por volta dos 10 anos, com o corte dos troncos com DAP superior a 13 cm.

Palavras-chave: vinhático-do-campo; silvicultura; cerrado; plantios mistos.

# 1 INTRODUÇÃO

A despeito do conhecimento científico já gerado pelos diversos organismos envolvidos com a pesquisa florestal no Brasil, a silvicultura de essências nativas ainda tem pouca expressão comercial. Com a exceção de algumas poucas espécies aptas para cultivo comercial em larga escala, como *Araucaria angustifolia* e *Didymopanax morototonii*, citadas por CARVALHO (1994), para as demais espécies os plantios têm se restringido, de modo geral, a pequenas áreas experimentais.

### **ABSTRACT**

With the aim of evaluating the silvicultural performance of *Plathymenia reticulata* this species was planted in pure stands and consortiated with other native species from different successional stages: *Croton floribundus* (pioneer); *Platypodium elegans* (secondary) and *Cabralea canjerana* (climax). Nine years after planting, *P. reticulata* presented high survival and slow growth rate. Among the consortiated species, two presented mortality rate of 100%: *Croton floribundus* (around six years after planting) and *Cabralea canjerana* (in the first years after planting). The best results were obtained in the pure stands, with 2250 boles/ha and basal area of 12,3 m²/ha. The stand with a pioneer species produced the worst result, with very slow growth because of competition. Commercial timber exploitation for fence poles can be initiated 10 years after planting, felling the boles above 13 cm DBH.

Key words: "vinhático-do-campo"; silviculture; "cerrado"; mixed stands.

A recomendação de espécies lenhosas nativas aptas para cultivo tem sido tema de diversas publicações, podendo-se mencionar desde CORREA (1926), passando por RIZZINI (1971) e pelas publicações resultantes do Projeto Madeira de Santa Catarina (REITZ et al., 1978), do Paraná (INOUE et al., 1984) e do Rio Grande do Sul (REITZ et al., 1983). Publicações recentes incluem os manuais de identificação e cultivo de árvores nativas do Brasil, elaborados por LORENZI (1992, 1998) ou a completa revisão sobre recomendações silviculturais, potencialidades e uso da madeira de cem espécies brasileiras, apresentada por CARVALHO (1994).

<sup>(\*)</sup> Aceito para publicação em outubro de 1999.

<sup>(\*\*)</sup> Instituto Florestal, Caixa Postal 1322, 01059-970, São Paulo, SP, Brasil.

Há uma tendência recente, a partir da década de 80, de incentivo às pesquisas e ao cultivo de espécies arbóreas nativas para a formação de florestas mistas de proteção ambiental. Esta tendência perpassa grande parte dos trabalhos apresentados nos dois congressos nacionais sobre essências nativas, realizados em 1982 (Campos do Jordão) e 1992 (São Paulo) e tem norteado algumas publicações sobre a silvicultura de espécies nativas (NOGUEIRA, 1977; DURIGAN *et al.*, 1997a), essencialmente voltadas para a formação de florestas protetoras.

Especialmente nas publicações que tratam de cultivo de árvores com fins comerciais, as espécies abordadas são quase que exclusivamente oriundas de formações florestais. As árvores do cerrado, que raramente superam 40 cm de diâmetro e geralmente apresentam tronco tortuoso, têm seu uso comercial restrito a fins menos nobres, como lenha, carvão ou palanques de cerca. O vinhático-do-campo (*Plathymenia reticulata*), espécie comum nos cerrados e cerradões, é uma das poucas espécies desses ecossistemas para as quais se encontram informações sobre o potencial de uso da madeira e/ou cultivo (CORREA, 1926; RIZZINI, 1971; LORENZI, 1992; DURIGAN *et al.*, 1997a).

As pesquisas mais recentes em busca de modelos para a silvicultura de espécies nativas sugerem que melhores resultados são obtidos quando se fazem plantios mistos, combinando especies de diferentes estádios sucessionais (DURIGAN & NOGUEIRA, 1990; KAGEYAMA et al., 1992 e 1994; MESSINA, 1998).

O objetivo desta pesquisa foi conhecer o comportamento silvicultural de *Plathymenia reticulata* em plantio puro e consorciado com espécies de diferentes estádios sucessionais, visando o seu cultivo com fins comerciais.

# 2 MATERIAL E MÉTODO

### 2.1 Local

A área experimental está inserida na Estação Experimental de Assis, do Instituto Florestal, localizada no município de Assis, Estado de São Paulo, sob as coordenadas geográficas 22°35'S e 50°22'W

O relevo local é suave ondulado, altitude média de 500 m e o clima é do tipo Cwa, segundo a classificação de Köppen, com precipitação média

anual de 1480 mm. O solo, na área experimental, é do tipo Latossolo Vermelho Escuro álico, A moderado, textura média (LE 1). Trata-se de solo ácido e de baixa fertilidade, com elevados teores de alumínio (SECRETARIA DO MEIO AMBIENTE, 1997).

A vegetação original da região inclui-se no limite sul da área de ocorrência de cerrado no Brasil, predominando a forma cerradão (DURIGAN et al., 1997b).

### 2.2 Espécies Utilizadas

As espécies utilizadas no experimento foram selecionadas com base no estádio que ocupam no processo sucessional e na sua ocorrência natural nas áreas naturais remanescentes da Estação Experimental e da Estação Ecológica de Assis, estando presentes nas listagens apresentadas por DURIGAN et al., (1997b) e DURIGAN et al. (1999).

Espécie principal: Plathymenia reticulata Benth. (Mimosaceae).

Nomes populares: amarelinho, pau-amarelo, amarelo, acende-candeia, paricazinho, candeia, vinhático-do-campo, vinhático testa-de-boi, pau-de-candeia.

Informações gerais: árvore de médio porte, caducifólia, resistente a geadas e intolerante a solos úmidos, ocorre naturalmente em áreas de cerrado "strictu sensu" e cerradão, ocupando o estrato dominante (DURIGAN et al., 1997a). LORENZI (1992) pondera que o desenvolvimento da espécie no campo é lento, dificilmente ultrapassando 2,5 m aos 2 anos. RIZZINI (1971) afirma que a árvore geralmente não ultrapassa os 10 m e pode chegar a 50 cm de diâmetro. A madeira, amarela, é considerada excelente para marcenaria por diversos autores (CORREA, 1926; SANTOS, 1987; **HERINGER** FERREIRA, 1972: RIZZINI, 1971: LORENZI, 1992), que mencionam outros usos, como: acabamento interno em construção civil e paisagismo. RIZZINI (1971) afirma que os mourões de cerca da espécie podem durar até 50 anos. GAVILANES & BRANDÃO (1991) incluem a espécie entre as principais árvores do cerrado fornecedoras de madeira.

Espécie pioneira: Croton floribundus Spreng. (Euphorbiaceae).

Nome popular: capixingui, tapixingui, velame.

Informações gerais: embora seja mais comum na floresta estacional (LORENZI, 1992), esta espécie também ocorre eventualmente nos cerradões (DURIGAN et al., 1997a). Trata-se de espécie pioneira, de crescimento rápido e ciclo de vida curto, de fácil cultivo. Segundo LORENZI (1992), as plantas podem alcançar facilmente 4 m de altura aos dois anos, no campo. É recomendada como sombreadora em reflorestamentos mistos e como pasto apícola. Esta especie não tem valor comercial expressivo, dada a baixa qualidade e durabilidade de sua madeira.

Espécie secundária: Platypodium elegans Vog. (Fabaceae).

Nomes populares: amendoim-do-campo, jaracarandá-do-campo, faveiro, jacarandá-bana, jacarandá branco, amendoim-bravo, jacarandá-tã, jacarandazinho, secupiruna, uruvalheira.

Informações gerais: LORENZI (1992) descreve a espécie como heliófita, semidecídua, intolerante a solos úmidos, ocorrendo principalmente no cerrado, mas também na floresta pluvial atlântica. O autor afirma ainda que o desenvolvimento das plantas no campo é lento e que a madeira, moderadamente pesada, é empregada para marcenaria e obras internas. Recomenda-se a espécie para reflorestamentos mistos e como ornamental.

Espécie climácica: Cabralea canjerana (Vell.)

Mart. (Meliaceae).

Nomes populares: canjarana, canjerana, canjerana, canjerana-de-prego, cajarana, canharana, cedrocanjerana, pau-de-santo, caierana, cajá-espúrio, cacharana, cajá-catinga, canjerana-vermelha, cedro-macho.

Informações gerais: árvore perenifólia a subcaducifólia, considerada secundária-tardia, umbrófila e intolerante ao frio na fase juvenil

por CARVALHO (1994). Tem ampla distribuição geográfica e alta plasticidade, ocorrendo desde a América Central até o Rio Grande do Sul, em diversas formações florestais e eventualmente nos cerradões, sobre solos de fertilidade e disponibilidade hídrica variáveis. LORENZI (1992) afirma que o desenvolvimento das plantas no campo é lento. CARVALHO (1994) considera seu ritmo de crescimento entre lento e moderado, com base nos resultados obtidos em diversos plantios experimentais.

Sua madeira é recomendada para acabamento interno de construções civis, marcenaria, carpintaria e até mesmo mourões de cerca para terrenos brejosos.

São mencionados por CARVALHO (1994) vários extrativos químicos importantes, da casca, das flores e do lenho.

### 2.3 Delineamento Experimental

Adotou-se o delineamento em blocos ao acaso, com quatro tratamentos e cinco repetições, cada parcela contendo 16 plantas úteis, em espaçamento 3,0 x 2,0 m.

Os tratamentos testados foram:

- 1. Plathymenia reticulata puro
- 2. P. reticulata x Croton floribundus (1:1)
- 3. P. reticulata x Platypodium elegans (1:1)
- 4. P. reticulata x Cabralea canjerana (1:1)

O preparo do solo para o plantio compreendeu aração, gradagem e coveamento manual, não tendo sido efetuada correção de pH ou fertilização do solo. As mudas tinham seis meses de idade por ocasião do plantio, com altura média ao redor de 50 cm, produzidas em embalagens plásticas de 800 ml, com substrato de terra arenosa e estereo de curral (na proporção de 4:1). As práticas de manutenção compreenderam combate às formigas cortadeiras e roçadas mecanizadas anuais, nos primeiros anos após o plantio.

### 2.4 Avaliação

Foram efetuadas duas avaliações, aos 5 e aos 9 anos após o plantio, tendo sido medidos: DAP, altura e número de fustes.

Com estes dados foi possível comparar as espécies e tratamentos em termos de sobrevivência, crescimento e forma de fuste, visando o cultivo de *P. reticulata* com fins comerciais.

Aos nove anos, cortaram-se cinco árvores visando conhecer a relação ceme/alburno e estimar a idade de corte para a produção de mourões de cerca.

### 3 RESULTADOS E DISCUSSÃO

Dentre os resultados obtidos, destaca-se, sobretudo, a diferença entre as taxas de sobrevivência das espécies utilizadas no plantio (FIGURA 1).

Nove anos após o plantio, a sobrevivência média da espécie-alvo do experimento, Plathymenia reticulata, foi muito elevada (89%). Para todas as espécies consorciadas a sobrevivência foi baixa. Cabralea canjerana, espécie de estádio final de sucessão, provavelmente por ter sido plantada à plena luz, teve mortalidade quase total nos primeiros anos após o plantio. Croton floribundus apresentou desenvolvimento rápido e boa sobrevivência nos primeiros anos após o plantio, exercendo sombreamento sobre os indivíduos de P. reticulata. Porém, entre os 5 e os 9 anos todos os indivíduos da espécie morreram. Platypodium elegans, após nove anos, apresentava apenas 30% de sobrevivência.

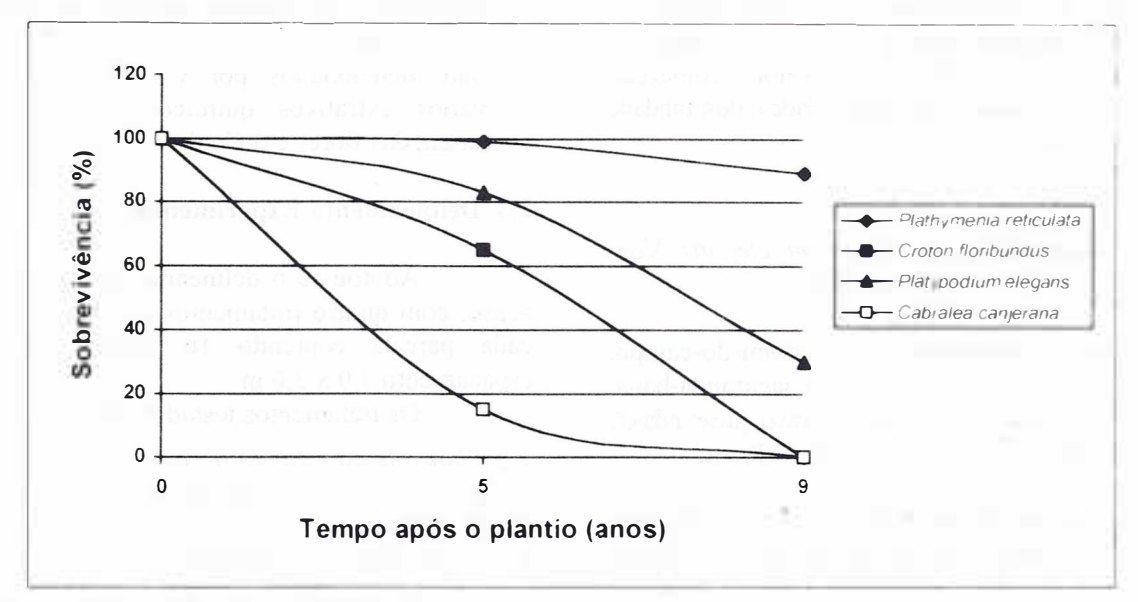


FIGURA 1 - Sobrevivência das espécies (%), em diferentes idades.

Na TABELA 1 são apresentados os resultados de crescimento de *Plathymenia reticulata* nos diferentes tratamentos. Verifica-se que a consorciação não exerceu efeito significativo sobre a sobrevivência da espécie (FIGURA 1) e tampouco sobre o número de troncos/árvore,

representativo da forma, que poderia sofrer efeito do sombreamento. Embora na consorciação com *Croton floribundus* o número médio de troncos por árvore tenha sido inferior aos outros tratamentos, essa diferença não foi estatisticamente significativa.

TABELA 1 - Resultados de crescimento de *Plathymenia reticulata* em plantio puro e consorciado com outras espécies nativas. Valores seguidos da mesma letra não diferem entre si no nível de 5% de probabilidade, pelo teste de Tukey.

Tratamento	DAP Médio (cm)	Altura média (m)	Nº de troncos/árvore	Área basal (m²/ha)	Incremento em área basal (m²/ha/ano)
Plathymenia reticulata (puro)	7,8 ab	5,7 a	1,6 a	12,3 a	1,4 a
P. reticulata x C. canjerana	8,8 a	6,2 a	1,8 a	9,4 ab	1,0 ab
P. reticulata x C. floribundus	6,8 b	4,9 a	1,4 a	3,9 b	0,4 b
P. reticulata x P. elegans	7,8 ab	5,3 a	1,9 a	9,5 ab	1,1 ab

Observou-se diferença significativa para o diâmetro médio das árvores nos diferentes tratamentos, sendo que na consorciação com *Croton floribundus*, pioneira de rápido crescimento, as árvores de *Plathymenia reticulata* apresentaram a menor média de DAP. Na consorciação com *Cabralea canjerana*, em que esta espécie apresentou alta mortalidade logo nos primeiros anos após o plantio, as árvores de *Plathymenia reticulata* foram beneficiadas pela ausência de competição, resultando na média mais elevada de DAP.

As diferenças no DAP associadas à densidade de *P. reticulata*, a qual no plantio puro era o dobro dos outros tratamentos, resultaram em grandes diferenças na área basal por hectare e, naturalmente, no seu incremento anual.

Comparando-se os tratamentos testados mediante os resultados obtidos, conclui-se que a melhor alternativa para o cultivo de *Plathymenia reticulata* foi o plantio puro. A consorciação com espécie pioneira não exerceu o efeito favorável esperado sobre a forma das árvores e ainda prejudicou consideravelmente o crescimento das árvores de *P. reticulata*, embora a sobrevivência não tenha sido afetada pela consorciação em nenhum dos tratamentos testados.

Os plantios puros com essências nativas têm sido contra-indicados em áreas extensas, dado o aumento esperado, e já observado para algumas espécies, da incidência de pragas e doenças. Não foi observado na área experimental, até o momento, nenhum dano desta natureza aos indivíduos de *P. reticulata*. Considerando-se o tempo relativamente curto decorrido desde o plantio e as dimensões reduzidas da área experimental, não se pode assegurar, com base nos resultados obtidos, que o plantio puro em grandes extensões não sofreria, a longo prazo, ataques de pragas e doenças.

Comparando-se o desempenho da espécie com outras espécies de cerrado já testadas na Estação Experimental de Assis em plantios puros e mistos (GARRIDO et al., 1990), pode-se considerar que P. reticulata destaca-se pela alta sobrevivência. O incremento anual em diâmetro oscilou entre tratamentos entre 0,8 e 1,0 cm/ano, valores estes inferiores aos encontrados por GARRIDO et al. (1990) para Gochnatia polymorpha (1,1 cm) e Anadenanthera falcata (1,4 cm). Porém, foram superiores ao incremento encontrado pelos autores no mesmos experimento para outras espécies nativas, não adaptadas a solos de cerrado:

Tabebuia impetiginosa, Myracrodruon urundeuva e Colubrina glandulosa, todas com incremento em diâmetro inferior a 0.8 cm/ano.

Na análise da relação cerne/alburno, verificou-se que esta proporção é altamente variável, mas a espessura do alburno é praticamente constante em torno de 2,4 cm (4,8 cm em DAP), independentemente do diâmetro do tronco.

Desta forma, considerando-se que 8 cm é o diâmetro mínimo do tronco para utilização como mourão, apenas os troncos com DAP acima de 13 cm possibilitariam tal utilização, descontando-se a camada de alburno.

Em se mantendo o incremento anual em diâmetro observado, a espécie pode começar a ser explorada por volta dos 10 anos, com desbaste por cima, cortando-se os maiores troncos, cujos diâmetros ultrapassem 13,0 cm (no plantio puro, isto corresponde a cerca de 230 troncos/ha ou 10% do total).

### 4 CONCLUSÕES

Diante dos resultados obtidos, conclui-se que *Plathymenia reticulata* pode ser recomendada para cultivo em áreas de cerrado, apresentando alta sobrevivência e crescimento razoável para espécies arbóreas em solos de cerrado.

O plantio consorciado com espécies de diferentes estádios sucessionais não apresentou nenhuma vantagem para o desenvolvimento de *P. reticulata*. Nas condições da área experimental, o plantio puro apresentou-se como a melhor, dentre as alternativas testadas, para o cultivo da espécie.

A exploração da espécie em plantios puros pode ter início ao redor dos 10 anos, cortando-se os troncos com diâmetro superior a 13 cm, cujo cerne apresenta dimensões aceitáveis para o uso como palanques de cerca.

### REFERÊNCIAS BIBLIOGRÁFICAS

CARVALHO, P. E. R. 1994. Espécies florestais brasileiras. Brasília, EMBRAPA-CNPF. 640p.

CORREA, M. P. 1926. Dicionário das plantas úteis do Brasil e das exóticas cultivadas. Rio de Janeiro, Serviço de Informação Agrícola. 6v.

DURIGAN, G. & NOGUEIRA, J. C. B. 1990. Recomposição de matas ciliares. São Paulo, Instituto Florestal. 14p. (IF Sér. Reg., 4)

- DURIGAN, G. et al. 1997a. Sementes e mudas de árvores tropicais. São Paulo, Páginas e Letras Editora e Gráfica. 65p.
- DURIGAN, G. et al. 1997b. Regeneração natural da vegetação de cerrado sob floresta de *Eucalyptus citriodora. Rev. Inst. Flor.*, São Paulo, 9(1):71-85.
- DURIGAN, G. et al. 1999. Inventário florístico do cerrado na Estação Ecológica de Assis. *Hoehnea*, São Paulo, 26(2):1-22.
- GARRIDO, M. A. de O. *et al.* 1990. Pesquisa e experimentação com cinco espécies nativas. In: CONGRESSO FLORESTAL BRASILEIRO, 6, Campos do Jordão-SP, set. 22-27, 1990. *Anais...* São Paulo, SBS/SBEF. v. 3. p. 602-610.
- GAVILANES, M. L. & BRANDÃO, M. 1991. Madeiras de cerrado. *Informe Agropecuário*, Belo Horizonte, 15(168):38-46.
- HERINGER, E. P. & FERREIRA, M. B. 1972. Árvores úteis no cerrado (I): vinhático; o gênero *Plathymenia* Benth., *P. foliolosa* Benth. e *P. reticulata* Benth., vinhático da mata e vinhático do campo (par vicariante). *Cerrado*, Brasília, 5(17):28-33.
- INOUE, M. T.; RODERJAN, C. V. & KUNIYOSHI, S. Y. 1984. *Projeto madeira do Paraná*. Curitiba, FUPEF. 260p.
- KAGEYAMA, P. Y. et al. 1992. Consórcio de espécies nativas de diferentes grupos sucessionais em Teodoro Sampaio, SP. In: CONGRESSO NACIONAL SOBRE ESSÊNCIAS NATIVAS, 2, São Paulo-SP, mar.-abr., 29-03, 1992. Anais... Rev. Inst. Flor., São Paulo, 4(único):527-533. Pt. 2. (Edição Especial)
- LORENZI, H. 1992. Árvores brasileiras; manual de identificação e cultivo de plantas arbóreas nativas do Brasil. Nova Odessa, Ed. Plantarum. 352p.
  - \_\_\_\_\_. 1998. Arvores brasileiras; manual de identificação de plantas arbóreas do Brasil. Nova Odessa, Instituto Plantarum de Estudos da Flora Ltda. v. 2. 352p.
- MESSINA, R. E. 1998. Elaboração e implantação de um modelo de recomposição ciliar às margens da Represa do Lobo, Itirapina, SP. São Carlos, USP, Escola de Engenharia de São Carlos. 151p. (Dissertação de Mestrado)
- NOGUEIRA, J. C. B. 1977. Reflorestamento heterogêneo com essências indígenas. São Paulo, Instituto Florestal. 77p. (Bol. Técn. IF, 24)
- REITZ, R.; KLEIN, R. M. & REIS, A. 1978. Projeto Madeira de Santa Catarina. *Sellowia*, Itajaí, 30(28/30):3-320.

- REITZ, R.; KLEIN, R. M. & REIS, A. 1983. Projeto Madeira do Rio Grande do Sul. *Sellowia*, Itajaí, *34/35*(34-35):1-525.
- RIZZINI, C. T. 1971. Árvores e madeiras úteis do Brasil; manual de dendrologia brasileira. São Paulo, Ed. Edgard Blücher. 294p.
- SANTOS, E. 1987. *Nossas madeiras*. Belo Horizonte, Itatiaia. 313p.
- SECRETARIA DO MEIO AMBIENTE. 1997. Estação Experimental e Ecológica de Assis. São Paulo, SMA/CINP/IF. 15p.

# CHAVE DE IDENTIFICAÇÃO BASEADA EM CARACTERES VEGETATIVOS PARA AS ESPÉCIES VASCULARES DO CERRADO NA ARIE PÉ-DE-GIGANTE (SANTA RITA DO PASSA QUATRO, SP)\*

Marco Antônio BATALHA\*\*
Waldir MANTOVANI\*\*\*

#### **RESUMO**

Entre setembro de 1995 e fevereiro de 1997, efetuou-se um levantamento florístico em uma área de vegetação natural, composta principalmente por cerrado, de 1269 ha, situada no município de Santa Rita do Passa Quatro, Estado de São Paulo (21º36-38'S e 47º36-39'W), quando foram encontradas 359 espécies, pertencentes a 233 gêneros e 78 famílias. Para auxiliar a identificação dessas espécies ocorrentes no cerrado, construiu-se uma chave indentada baseada apenas em caracteres vegetativos. As particularidades para sua utilização, bem como sua aplicação em outras áreas de cerrado, são discutidas.

Palavras-chave: cerrado; savana; flora vascular; Pé-de-Gigante.

# 1 INTRODUÇÃO

Como as espécies não florescem durante todo o ano, uma chave de identificação baseada em caracteres vegetativos traz a vantagem de poder ser utilizada em qualquer época do ano, por pesquisadores das mais diversas áreas de atuação. A importância de chaves baseadas em caracteres vegetativos já foi mencionada por outros autores. GENTRY (1993) salientou que os caracteres vegetativos estão sempre disponíveis, são macroscopicamente evidentes e, aparentemente, menos sujeitos a convergências evolutivas do que as flores e os frutos. KELLER (1994) ressaltou que as características vegetativas das plantas vasculares são frequentemente negligenciadas pelos taxonomistas, o que torna a maioria das chaves publicadas de pouco uso para aqueles que necessitam realizar rapidamente inventários florísticos.

#### ABSTRACT

From September 1995 to February 1997, a floristic survey was carried out in a natural vegetation area, composed mainly by cerrado, with 1269 ha, at Santa Rita do Passa Quatro Municipality, São Paulo State, southeastern Brazil (21°36-38'S and 47°36-39'W), when 359 species, belonging to 233 genera and 78 families, were found. In order to help the species identification, an indented key based only on vegetative characters was constructed. The particularities of its use as well as its application at other cerrado areas are discussed.

Key words: cerrado; savanna; vascular flora; southeastern Brazil.

Chaves baseadas em caracteres vegetativos para identificação de espécies de plantas em diversas formações foram construídas por VELOSO (1945), em Teresópolis, RJ, e por VELOSO (1946), em Ilhéus, BA, para áreas de floresta pluvial atlântica; MANTOVANI et al. (1985) e MANTOVANI (1987), em Mogi-Guaçu, SP, em região de cerrado; ROSSI (1994), GARCIA (1995) e ARAGAKI (1997), todas em São Paulo, SP, em áreas de transição entre os domínios da floresta estacional semidecídua e da floresta pluvial atlântica; e BATALHA et al. (1999), em Pirassununga, SP, em área de cerrado.

Na Área de Relevante Interesse Ecológico (ARIE) Pé-de-Gigante estão sendo desenvolvidos vários projetos, que fornecerão subsídios ao seu plano de manejo (PIVELLO *et al.*, 1999). Esses projetos, muitas vezes, envolvem direta ou indiretamente a vegetação e, nestes casos, é necessária a identificação das espécies de plantas.

<sup>\*)</sup> Aceito para publicação em outubro de 1999.

<sup>(\*\*)</sup> Universidade de São Paulo, Instituto de Biociências, Departamento de Ecologia Geral, Caixa Postal 11461, 05422-970, São Paulo, SP, Brasil. (marcobat@uol.com.br)

<sup>(\*\*\*)</sup> Universidade de São Paulo, Instituto de Biociências, Departamento de Ecologia Geral, Caixa Postal 11461, 05422-970, São Paulo, SP, Brasil. (wmantova@usp.br)

O objetivo deste trabalho é a elaboração de uma chave de identificação baseada apenas em caracteres vegetativos para as espécies de plantas vasculares ocorrentes no cerrado "sensu lato" da ARIE Pé-de-Gigante. Com esta chave, espera-se facilitar a identificação rápida e segura das espécies vasculares de plantas encontradas por pesquisadores que venham a trabalhar nessa reserva, bem como auxiliar a identificação das espécies vasculares em outras áreas de cerrado no Estado de São Paulo, se não em nível específico, ao menos em nível de gênero ou família.

## 2 MATERIAL E MÉTODOS

A Area de Relevante Interesse Ecológico (ARIE) Cerrado Pé-de-Gigante está localizada no município de Santa Rita do Passa Quatro, Estado de São Paulo, entre as coordenadas 21º36-44'S e 47°34-41'W, sob clima Cwag' de Köppen, em cotas altimétricas de 660 a 730 m e sobre latossolo Vermelho-Amarelo fase arenosa (CASTRO, 1987). A área estudada possui cerca de 1225 ha e é atualmente administrada conjuntamente pelo Instituto Florestal e pela Universidade de São Paulo. Em seu interior, existem variações fisionômicas de cerrado que vão desde o campo sujo ao cerradão, que cobrem cerca de 98% de sua área. Uma caracterização mais detalhada da reserva pode ser encontrada em PIVELLO et al. (1999).

Entre setembro de 1995 e fevereiro de 1997, efetuou-se no local um levantamento florístico, em que foram amostradas as espécies de plantas vasculares ocorrentes nas fisionomias de cerrado. O material foi depositado no herbário "Maria Eneyda P. K. Fidalgo" do Instituto de Botânica de São Paulo (SP), com duplicatas no herbário do Departamento de Botânica do Instituto de Biociências da Universidade de São Paulo (SPF).

A partir do material coletado, foi construída uma chave indentada baseada em caracteres vegetativos para o cerrado "sensu lato". Tal chave foi baseada naquelas de MANTOVANI et al. (1985), MANTOVANI (1987) e BATALHA et al. (1999). Foram utilizadas características observadas em espécimes adultos, evitando-se variações nas plântulas e indivíduos jovens. Os termos empregados na elaboração da chave seguiram

os conceitos de FERRI et al. (1969), RADFORD et al. (1974), RIZZINI (1977) e MANTOVANI et al. (1985).

As espécies foram classificadas em formas de vida segundo o sistema de Raunkiaer adaptado por MUELLER-DOMBOIS & ELLENBERG (1974). Foram consideradas como pertencentes ao componente herbáceo-subarbustivo as espécies caméfitas, epífitas, hemicriptófitas, geófitas, terófitas, lianas, parasitas e semi-parasitas vasculares, e ao componente arbustivo-arbóreo, as caméfitas que podem atingir 2 m de altura na estação chuvosa e as fancrófitas.

### 3 RESULTADOS E DISCUSSÃO

No levantamento florístico, foram amostradas 359 espécies, distribuídas em 233 gêneros e 78 famílias. As famílias mais ricas foram, pela ordem, Asteraceae, Fabaceae, Poacea, Rubiaceae, Bignoniaceae, Myrtaceae, Malpighiaceae, Caesalpiniaceae, Mimosaceae e Euphorbiaceae, que compreenderam 52,9% do total de espécies.

Segundo MANTOVANI et al. (1985), os caracteres vegetativos variam mais do que os reprodutivos e, dessa forma, para uma identificação precisa, vários ramos de vários indivíduos da espécie a ser identificada devem ser analisados. Deve-se procurar coletar ramos adultos, evitando-se ramos de brotamento e com galhas ou doenças devido às suas grandes variações de forma e textura. Para que esta chave possa ser utilizada tanto em campo quanto em laboratório, devem-se anotar, durante a coleta, as características que serão perdidas no material herborizado, como o hábito de crescimento, a presença de odor e a coloração das folhas, a presença de látex e características do sistema subterrâneo.

Durante a preparação das chaves, procurou-se utilizar, para a separação das espécies, caracteres de fácil diagnóstico, que não apresentassem grande plasticidade. Em alguns casos, todavia, as espécies puderam ser separadas, por exemplo, apenas pelo tamanho de determinada estrutura, que é um caráter plástico e não permite uma identificação segura. As maiores dificuldades para distinguir as espécies foram encontradas em Cyperaceae, Myrtaceae e Poaceae.

Além disso, devido às variações encontradas na população, algumas espécies foram incluídas em mais de uma entrada na chave, como, por exemplo, *Xylopia aromatica*, que pode ter folhas com pilosidade em ambas as faces, somente na face inferior ou em nenhuma delas, e, assim, possui três entradas.

Embora KELLER (1994) afirme ser quase impossível identificar uma espécie de planta em nível específico sem flores ou frutos, quando se trabalha em uma escala muito grande (no seu caso, pantropical), em áreas restritas de uma dada formação vegetal (como no caso aqui apresentado), isto é perfeitamente possível.

Segundo MANTOVANI & MARTINS (1993), no cerrado, os gêneros e, principalmente, as

famílias se mantêm relativamente constantes, enquanto as espécies, notadamente, as herbáceo-subarbustivas, variam dentro de uma faixa mais ampla. Dessa forma, a abrangência desta chave de identificação é local, mas, eventualmente, ela pode ser utilizada em outras áreas de cerrado, especialmente no Estado de São Paulo, para identificar as plantas se não em nível específico, ao menos, em nível de gênero ou família. Por exemplo, se esta chave for utilizada para identificar um indivíduo de Didymopanax macrocarpum coletado em outra área, chegar-se-á em Didymopanax vinosum, uma vez que a primeira espécie não ocorre na reserva. Um indivíduo de Tabernaemontana hystrix encontrado em outra área seria identificado como Hancornia speciosa, outra Apocynaceae, utilizando-se esta chave.

Chave de identificação das espécies vasculares do cerrado "sensu lato" na ARIE Pé-de-Gigante, Santa Rita do Passa Quatro, SP, (21°36-44'S e 47°34-41'W)

<ul><li>2. Monocotiledôneas (Arecaceae)</li><li>3. Segmentos foliares eqüidistantes, base da raque com fibras lineares persistentes</li></ul>	
3. Segmentos foliares equidistantes, base da raque com fibras lineares persistentes	
	เทล
3'. Segmentos foliares dispostos em fascículos, base da raque sem fibras ou com fibras caducas	ına
4. Estipe com mais de 5 m alt	
4'. Estipe com até 2 m alt	
2'. Dicotiledôneas (outras famílias)	
5. Folhas compostas	
6. Folhas digitadas	
7. Folhas alternas	
8. Folíolos não articulados	um
8'. Folíolos articulados	
9. Folíolos glabros, concolores	oes
9'. Folíolos pilosos na face inferior, discolores	
7'. Folhas opostas	
10. Folíolos glabros	
11. Folíolos oblongos, peciolados	·ea
11'. Folíolos elíticos, sésseis	
10'. Folíolos pilosos	
12. Folíolos elíticos, pilosidade amarclada	na
12'. Folíolos obovais; pilosidade ocrácea	
6'. Folhas pinadas, ternadas ou bipinadas	
13 Folhas bininadas	
14. Folhas opostas	ba
14'. Folhas alternas	
15. Folhas com 2 a 3-jugas, foliólulos com nervura amarclada	um
15'. Folhas multijugas, foliólulos com nervuras esverdeadas	
16. Folíolos oblongos	
17. Folíolos densamente pilosos, com mais de 10 pares de folíolos	lis
17'. Folíolos esparsamente pilosos, com 4 a 8 pares de folíolos	
16'. Folíolos linear-lanceolados, circulares, ovais, frequentemente assimétricos	

18. Folíolos com mais de 40 foliólulos, linear-lanceolados, de até 1 cm co	
19. Tronco rugoso; folíolos com menos de 0,5 cm compr	
19'. Tronco suberoso; folíolos com 0,7 a l cm compr.	
18'. Folíolos com 10 a 16 foliólulos, circulares, ovais, maiores que 2 cm cor	npr., com domácias na face inferior
20. Foliólulos circulares	Stryphnodendron adstringens
20'. Foliólulos ovais ou oblongos	Stryphnodendron polyphyllum
13'. Folhas pinadas ou ternadas	
21. Folhas com 2 (aparentemente 1, em <i>Bauhinia</i> ) a 4 folíolos	
22. Folhas bifolioladas	
23. Folíolos soldados entre si, simulando folha simples	Bauhinia rufa
23'. Foliolos livres entre si.	
22'. Folhas com 3 ou 4 folíolos	
24. Filotaxia oposta, folhas com 3 folíolos, margem denteada	Carvocar brasiliense
24'. Filotaxia alterna, folhas com 4 folíolos, margem inteira	Senna rugosa
21'. Folhas com 5 ou mais folíolos (raramente 3)	
25. Raque foliar terminada em pequeno apêndice	
26. Folhas com 6 a 11 foliolos	Magonia nuhescens
26'. Folhas com mais de 13 folíolos.	
25'. Sem este caráter	raiypoutum eteguns
27. Folhas paripinadas	
28. Folhas com 6 a 8 folíolos	
	a masiálula assumacida
29. Folíolos com ápice cuspidado, sem pontuações translúcidas no limb	
29'. Folíolos com ápice obtuso, com pontuações translúcidas no limbo,	• •
29 . Politios com apiec totuso, com politiações transiteitas no milito,	
	Copaijera langsaorjjii
28'. Folhas com 10 ou mais folíolos	Distringdian alagana
30. Folíolos alternos, ápice emarginado	Piatypoatum etegans
30'. Folíolos opostos, ápice obtuso ou agudo	
31. Foliolos glabros, base obtusa	
31'. Folíolos pilosos, base aguda	Senna silvestris
27'. Folhas imparipinadas	
32. Folíolos pilosos	
33. Folhas com mais de 11 folíolos, oblongos ou lanceolados	
34. Folíolos oblongos, com mais de 5 cm compr. e 2 cm larg., nervu	
34'. Folíolos lanceolados, com até 4 cm compr. e 1,5 cm larg., nervur	
	Pterodon pubescens
33'. Folhas com 5 a 9 folíolos, ovais ou elíticos	
35. Pilosidade verde-esbranquiçada em ambas as faces dos folíolos e	
7 folíolos (raramente 3)	
35'. Pilosidade albo-ferrugínea na face inferior dos folíolos e ferrugínea nos ra	amos jovens, folhas com 7 a 9 folíolos
36. Base dos folíolos cordada, nervura central saliente somente na face	
36'. Base dos folíolos obtusa ou cuncada, nervura central saliente em ambas a	as facesRourea induta
32'. Folíolos glabros	
37. Folíolos com estipelas	Andira anthelmia
37'. Folíolos sem estipelas	
38. Folhas com 11 ou mais folíolos	
39. Folíolos ovais, ápice agudo	Alachaerium acutifolium
39'. Folíolos largo-ovais ou oblongos, ápice obtuso ou emarginado	
40. Folíolos largo-ovais.	Dalbergia miscolobium
40'. Folíolos oblongos	
38'. Folhas com até 9 folíolos	S
41. Folíolos odoríferos, caule liso ou rugoso	
42. Folíolos de base aguda, ramos jovens pubescentes	Tapirira guianensis
, J	1

422 F. P. Landa Land Communication of the control of	D 4: 1 4-1 11
42'. Folíolos de base frequentemente obtusa ou assimétrica, ramos jovens glab	rosProtium neptapnytium
41'. Folíolos não-odoríferos, caule suberoso	**
43. Folíolos elíticos ou oblongos	vatairea macrocarpa
43'. Foliolos ovais ou lanceolados	1
44. Folhas com 5 a 7 folíolos ovais, ramos jovens pilosos	
44'. Folhas com 7 a 9 folíolos lanceolados, ramos jovens glabros	Acosmium subelegans
5'. Folhas simples 45. Folhas alternas	
46. Plantas latescentes	
47. Folhas laxas	daa
48. Plantas com látex aquoso, escasso (observar a nervura central); ramos avermelhad	iosvernonia rubriramea
48'. Plantas com látex leitoso, abundante; ramos não avermelhados	Dua simum anudi ah sudii
49. Folhas pilosas	Brosimum gauaicnauaii
49'. Folhas glabras  50. Estípula terminal recobrindo a gema apical	Figure situifalia
	ricus citrijona
50'. Estípula terminal ausente	V:-1
51. Folhas oblanceoladas, nervuras secundárias esverdeadas	
51'. Folhas elíticas ou oblongas, nervuras secundárias amareladas na face inferi	orPouteria ramijiora
47'. Folhas congestas no ápice dos ramos	4
52. Ramos com ápice albo-tomentoso.	Aspiaosperma iomeniosum
52'. Ramos com ápice glabro ou ferrugíneo tomentoso	
53. Folhas pecioladas, gema apical ferrugíneo-tomentosa	D
54. Folhas elíticas ou oblongas, glabras; córtex avermelhado	
54'. Folhas obovais, pilosas; córtex esbranquiçado	Pouteria toria
<ul><li>53'. Folhas sésseis, gema apical glabra</li><li>55. Folhas jovens avermelhadas ou rosadas, menores que 10 cm compr. quando adu</li></ul>	dtag Vialmanana muhuidana
55'. Folhas jovens avermenadas ou rosadas, menores que 10 cm compr. quando adultas	masKieimė,vera ruorijiora
56. Folhas largo-obovais, com nervuras saliente na face inferior	Himatanthus oboyata
56'. Folhas obovais ou oblanceoladas, com nervuras imersas	Obovata
57. Folhas obovais, verde-azuladas, com cerca de 20 cm compr. e 9 cm larg.	Kielmeyera coriacea
57'. Folhas oblanceoladas, verde-escuras, com cerca de 15 cm compr. e de	
	Kielme yera variabilis
46'. Plantas não latescentes	
58. Folhas pilosas	
59. Folhas adultas pilosas em ambas as faces	
60. Folhas com tricomas escabrosos na face superior, nervuras impressas, margem s	
60'. Folhas com indumento seríceo, nervuras imersas ou salientes, margem inter	ira
61. Folhas dísticas	Xylopia aromatica
61'. Folhas espiraladas	
62. Folhas elíticas, indumento esbranquiçado, limbo foliar com até 8 cm com	pr. e 3 cm larg
62'. Folhas obovais ou oblongas, pilosidade ferruginea, limbo foliar com mais	
	Diospyros hispida
59'. Folhas adultas pilosas apenas na face inferior ou na margem	
63. Folhas de margem crenulada ou serreada	Luehea divaricata
63'. Folhas de margem inteira	
64. Caule liso	
65. Folhas com indumento de tricomas lepidotos	Duguetia furfuracea
65'. Folhas com indumento de tricomas simples	***
66. Folhas dísticas, base revoluta, axilas das nervuras sem domácias	
66'. Folhas não dísticas, base plana, axilas das nervuras com domácias de tric	comasOcotea pulchella
64'. Caule rugoso ou subcroso	
67. Pilosidade ferruginea	
68. Folhas coriáceas, com até 15 cm compr., base aguda ou obtusa	Styrax Jerrugineus

67'. Pilosidade esbranquiçada	
69. Folhas lanceoladas, córtex avermelhado	Couepia grandiflora
69'. Folhas circulares ou clíticas, córtex esverdeado	, 3
70. Folhas coriáceas, densamente pilosas, sem estípulas	Piptocarpha rotundifolia
70'. Folhas rigido-coriáceas, esparsamente pilosas, com estípulas	
58'. Folhas glabras	
71. Presença de ramentas no caule	
72. Caule liso ou rugoso	
73. Folhas membranáceas, com até 5 cm de comprimento	Erythroxylum cuneifolium
73'. Folhas cartáceas, com mais de 8 cm de comprimento	
72'. Caule subcroso	
74. Folhas oblanceoladas, base cuneada, maiores que 15 cm compr	Erythroxylum tortuosum
74'. Folhas oblongas, obovais ou elíticas, base aguda ou obtusa, menores que	
75. Folhas de base aguda, dispostas em ramos rugosos ou suberosos,	
comprimento	
75'. Folhas de base obtusa, dispostas em ramos lisos, pecíolos de até 0,2	·
, , , , , , , , , , , , , , , , , , , ,	
71'. Ausência de ramentas	
76. Margem foliar inteira	
77. Pulvino e pulvínulo presentes.	Bauhinia rufa
77'. Pulvino e pulvínulo ausentes	J
78. Ápice foliar emarginado ou obtuso	
79. Folhas dísticas	
80. Folhas cartáceas, obovais ou elíticas, pilosas em ambas as faces, sem don	náciasAnnona crassiflora
80'. Folhas coriáceas, ovais, pilosas apenas na face inferior, com dor	
nervuras na face inferior.	
79' Folhas espiraladas	
81. Plantas sobolíferas; folhas obovais	Anacardium humile
81'. Plantas arbustivas, folhas elíticas	
78'. Ápice foliar cuspidado ou agudo	
82. Ápice foliar cuspidado, pecíolo maior que 1 cm compr.	
83. Folhas elíticas	Ocotea corymbosa
83'. Folhas largo-clíticas	Roupala montana
82'. Ápice foliar agudo, pecíolo de até cerca de 0,5 cm compr. (rarame	
84. Folhas lanceoladas, dísticas, base obtusa	
84'. Folhas ovais, oblongas ou clíticas, espiraladas, base aguda	
85. Folhas ovais ou oblongas, com dois nectários extra-florais na face infe	
85'. Folhas elíticas, sem nectários extra-florais	
76'. Margem foliar serreada ou denteada	
86. Base foliar assimétrica, limbo com pontuações translúcidas (olhar con	tra a luz)
87. Folhas com pilosidade na face inferior apenas ao longo da nervura centr	
87'. Folhas com pilosidade em toda a face inferior	
86'. Base foliar simétrica, limbo sem pontuações translúcidas	c. J
88. Folha de base obtusa ou cordada	
89. Folhas cartáceas ou membranáceas, cladódromas, base obtusa	
89'. Folhas coriáceas, eucamptódromas, base cordada ou aguda	
90. Base cordada, margem serreada	Ouratea spectabilis
90'. Base aguda, margem inciso-serreada	Ouratea castaneaefolia
88'. Folha de base aguda ou decorrente	
91. Ápice foliar cuspidado, pecíolo maior que 2 cm compr.	
92. Folha cartácea, base aguda	Austroplenckia populnea
	Daymala wastana
92'. Folha coriácea, base longo-cuneada	Koupara montana

93. Plantas com látex escasso (observar a nervura central); ramos avermelhad	los; folhas com margem
serrilhada em todo o limbo	
93'. Plantas sem látex; ramos esverdeados ou amarronzados; folhas com marge	em serrilhada ou serreada
na metade superior do limbo	accharis dracunculifolia
45'. Folhas verticiladas ou opostas	
94. Folhas verticiladas	
95. Base do pecíolo com glândula	Qualea parviflora
95'. Base do pecíolo sem glândula	
96. Presença de estípulas interpeciolares (olhar ramos jovens)	Amaioua guianensis
96'. Ausência de estípulas interpeciolares	
97. Limbo foliar sem pontuações translúcidas e folhas não aromáticas	
98. Folhas glabras, até 10 cm compr.	Vochysia tucanorum
98'. Folhas pilosas, com mais de 12 cm compr.	.Vochysia cinamonimea
97'. Limbo foliar com pontuações translúcidas (olhar contra a luz) e/ou folhas aromá	íticas
99. Folhas amareladas	Eugenia aurata
99'. Folhas não amareladas	
100. Margem do limbo foliar amarelada	Eugenia livida
100'. Margem do limbo foliar indistinta	
101. Folhas obovais ou oblongas, base aguda, nervuras impressas na face inferior	Myrcia lingua
101'. Folhas ovais, base cordada, nervuras salientes na face inferior	
94'. Folhas opostas	•
102. Plantas latescentes.	Hancornia speciosa
102'. Plantas não latescentes	
103. Base do pecíolo com glândula	
104. Folhas largo-ovais.	Oualea dichotoma
104'. Folhas elíticas, oblongas ou obovais	2
105. Tronco liso ou rugoso, limbo foliar de 10 a 15 cm compr.	Oualea multiflora
105'. Tronco evidentemente suberoso	
106. Base foliar freqüentemente cordada, limbo de 13 a 18 cm compr	Oualea grandiflora
106'. Base foliar obtusa, limbo de 7 a 9 cm compr.	
103'. Base do pecíolo sem glândula	guarea par rigiora
107. Presença de estípulas interpeciolares (olhar ramos jovens)	
108. Folhas pilosas	
109. Base foliar obtusa ou aguda, margem revoluta, face superior do limbo bulada	Rudoea vihurnoides
109'. Base foliar atenuada ou aguda, margem plana, face superior do limbo lisa	
110. Folhas largo-elíticas, pilosas em ambas as faces	Tocovena formosa
110'. Folhas elíticas, pilosas apenas na face inferior	
108'. Folhas glabras	Amaioua guianensis
111. Folhas elíticas, menores que 10 cm compr.	Alihartia sassilis
111. Folhas enticas, menores que 10 cm compr.	Anverna sessins
112. Folhas sésseis, rígido-coriáceas, com nervuras e veias amarelas	Palicourea rigida
112'. Sem o conjunto de caracteres	ancourea rigida
113. Folhas largo-obovais, ápice foliar obtuso ou mucronado	Togovana formosa
The state of the s	
113'. Folhas largo-oblongas, ápice foliar cuspidado	Anberna macropnyna
114. Folhas acródromas	
	16: 1: 4 1
115. Folhas glabras	IVI ICONIA II gustroides
115'. Folhas pilosas	Cturalman manutani
116. Pilosidade amarelada na face inferior do limbo	.sırycnnos pseuaoquina
116'. Pilosidade esbranquiçada ou ferruginea	
117. Folhas discolores, com pilosidade esbranquiçada	1.1
118. Folhas jovens (no ápice dos ramos) pilosas em ambas as faces, seção	
jovens cilíndrica, sem arestas	Miconia albicans

118'. Folhas jovens (no ápice dos ramos) glabras na face superior, seção transversal dos ramos jovens
quadrangular, com arestas evidentes
117'. Folhas concolores, com pilosidade não-esbranquiçada
119. Ramos quadrangulares
119'. Ramos cilíndricos
120. Face superior do limbo foliar bulada, base cordada, pilosidade patente, amarelada
Leandra lacunosa
120'. Face superior do limbo foliar não bulada, base obtusa, pilosidade flocosa, ferrugínea
114'. Folhas não acródromas
121. Ápice foliar com glândula na face inferior
121'. Ápice foliar sem glândula
122. Gema apical recoberta por pilosidade ferrugínea
122'. Sem essa característica
123. Estípulas intrapeciolares presentes
124. Folhas pilosas, congestas nos ápices dos ramos
125. Pilosidade apenas na face inferior
125'. Pilosidade em ambas as faces. <i>Byrsonima verbascifolia</i>
124'. Folhas glabras, laxas
126. Folhas largo-ovais, com ápice obtuso
126'. Folhas elíticas, com ápice agudo
123'. Estípulas intrapeciolares ausentes
127. Margem foliar recortada
127. Margent fonat recortada  128. Folhas não odoríferas, base aguda
128'. Folhas odoríferas, base obtusa ou cordada
127'. Margem foliar inteira
129. Presença de glândulas na face inferior do limbo foliar, próximos à baseAegiphila lhotzkiana
129'. Ausência de glândulas
130. Ramos jovens de cor verde; folhas com odor desagradável, muito forte, limbo foliar com ápice
foliar acuminado e base obtusa
130'. Sem o conjunto de caracteres
131. Limbo foliar sem pontuações translúcidas, folhas não aromáticas
132. Folhas com veias e nervuras secundárias não evidentes, limbo de cor verde-azulada
132'. Folhas com veias e nervuras secundárias evidentes, limbo de cor verde
133. Folhas pilosas na face inferior (pilosidade ferrugínea)Heteropteris byrsonimifolia
133'. Folhas glabras
131'. Limbo foliar com pequenas pontuações translúcidas (olhar contra a luz) e/ou folhas aromáticas
134. Margem do limbo foliar distinta, amarelada e translúcida
135. Folhas obovais, até 3 cm larg
135'. Folhas oblongas, elíticas ou largo-ovais, mais de 5 cm larg.
136. Folhas oblongas ou elíticas, base do limbo obtusaEugenia bimarginata
136'. Folhas largo-ovais, base do limbo cordadaEugenia livida
134'. Margem do limbo foliar indistinta
137. Folhas glabras
138. Folhas ovais, sésseis, base cordada
138'. Folhas clíticas, pecioladas, base obtusa
139. Limbo foliar até 5 cm compr
139'. Limbo foliar maior que 10 cm compr
137'. Folhas pilosas, pelo menos na face inferior (olhar tangencialmente)
140. Folhas ovais, limbo foliar com base obtusa, pilosidade serícea argêntea e adpressa à face
inferior do limbo
141. Limbo foliar até 4 cm compr
141'. Limbo foliar com mais de 5 cm compr

<ul> <li>140'. Folhas não ovais, limbo foliar com base aguda, p</li> <li>142. Folhas com ápice obtuso a emarginado, pilosidade</li> <li>143. Nervuras marginais evidentes (olhar na face supimersas na face inferior do limbo</li></ul>	ferrugínea na face inferior do limbo erior do limbo), nervuras secundárias
1'. Ervas ou subarbustos (caméfitas, epífitas, hemicriptófitas, terófitas, lianas, para	sitas vasculares ou semi-parasitas
vasculares)	
146. Samambaias (Pteridophyta)	
147. Lâminas bipinadas	Adiantum fructuosum
147'. Lâminas pinatissectas ou bipinatissectas	An anti- Committee
148. Lâminas bipinatissectas, pilosas.	
148'. Lâminas pinatissectas, glabras	Polypoatum taitpes
149. Plantas áfilas	
150. Plantas parasitas; caule amarelado a alaranjado	Cassutha amaricana
150'. Plantas autotróficas; caule esverdeado	Cassytha americana
151. Epífitas; caule modificado em cladódio	Eniphyllum phyllanthus
151'. Terrestres; caule sem modificações.	
149'. Plantas com folhas desenvolvidas	
152. Palmeiras (Arecaceae)	
153. Estipe subterrâneo, segmentos foliares isolados	Attalea geraensis
153'. Estipe desenvolvido, segmentos foliares reunidos de 3 a 5	8
154. Segmentos foliares com até 0,5 cm larg., concolores	Syagrus flexuosa
154'. Segmentos foliares com mais de 1 cm larg., discolores	
152'. Outras famílias	
155. Folhas com lígula	
156. Folhas lanceoladas	
157. Tricomas glandulosos presentes	Melinis minutiflora
157'. Tricomas glandulosos ausentes	
158. Lâmina foliar serícea em ambas as faces	Ichnanthus sericeus
158'. Lâmina foliar não serícea	
159. Margem da lâmina foliar amarelada	
160. Lígula membranosa	
160'. Lígula pilosa	Panicum procurrens
159'. Margem da lâmina foliar indiferenciada	
161. Plantas decumbentes; lâmina foliar maior que 10 cm compr	
161'. Plantas eretas; lâmina foliar até 5 cm compr	Panicum parvifolium
156'. Folhas lineares ou linear-lanceoladas	
162. Plantas glabras ou com tricomas somente nos nós	
163. Lâmina foliar de até 5 cm compr.	Gymnpogon Joliosus
163', Lâmina foliar maior que 6 cm compr.	
164. Nós pilosos	ara Tuistaahya lajastaah
165. Margem da lâmina foliar amarelada, lâmina foliar com até 1,5 cm l 165'. Margem da lâmina foliar indiferenciada, lâmina foliar com mais d 164'. Nós glabros	

166. Lígula membranosa
167. Nós inferiores geniculados
167'. Sem essa característica
168. Plantas sem coloração avermelhada
168'. Plantas com coloração avermelhada (olhar nós, folhas jovens, região do colar, lígula)
169. Folhas usualmente revolutas, lâmina foliar com até 3 mm larg
169'. Folhas planas, lâmina foliar com mais de 5 mm larg
166'. Lígula pilosa ou nula
170. Base da lâmina foliar ciliada
171. Lâmina foliar de até 20 cm compr., bainhas glandulosas, ao menos na nervura mediana
Eragrostis articulata
171'. Lâmina foliar maior que 30 cm compr., bainha eglandulosaLoudetiopsis chrysothryx
170'. Base da lâmina foliar glabra 172. Região do colar enegrescida
172. Região do colar enegrescida
172 Regiad do Colar hao chegrescida  173. Brotamento arroxeado, achatado
173'. Brotamento esverdeado ou amarelado, cilíndrico
174. Folhas revolutas
174'. Folhas planas
175. Lâmina foliar de até 5 mm larg
175'. Lâmina foliar com mais de 6 mm larg
162'. Plantas pilosas
176. Planta robusta; colmo com 0,5-1 cm diâm. basal; nós, bainha e face dorsal da lâmina foliar
densamente pilosos; brotamento achatado, amarelado
176'. Sem o conjunto de caracteres
177. Nós pilosos
178. Brotamento achatado, amarelado; lígula membranosa, ciliada, pouco desenvolvida
A
178'. Sem o conjunto de caracteres
178'. Sem o conjunto de caracteres 179. Plantas procumbentes; folhas verdes, linear-lanceoladas (0,5-1 cm larg.)
178'. Sem o conjunto de caracteres 179. Plantas procumbentes; folhas verdes, linear-lanceoladas (0,5-1 cm larg.)
178'. Sem o conjunto de caracteres  179. Plantas procumbentes; folhas verdes, linear-lanceoladas (0,5-1 cm larg.)
178'. Sem o conjunto de caracteres 179. Plantas procumbentes; folhas verdes, linear-lanceoladas (0,5-1 cm larg.)
178'. Sem o conjunto de caracteres  179. Plantas procumbentes; folhas verdes, linear-lanceoladas (0,5-1 cm larg.)
178'. Sem o conjunto de caracteres  179. Plantas procumbentes; folhas verdes, linear-lanceoladas (0,5-1 cm larg.)
178'. Sem o conjunto de caracteres  179. Plantas procumbentes; folhas verdes, linear-lanceoladas (0,5-1 cm larg.)
178'. Sem o conjunto de caracteres  179. Plantas procumbentes; folhas verdes, linear-lanceoladas (0,5-1 cm larg.)
178'. Sem o conjunto de caracteres  179. Plantas procumbentes; folhas verdes, linear-lanceoladas (0,5-1 cm larg.)
178'. Sem o conjunto de caracteres  179. Plantas procumbentes; folhas verdes, linear-lanceoladas (0,5-1 cm larg.)
178'. Sem o conjunto de caracteres  179. Plantas procumbentes; folhas verdes, linear-lanceoladas (0,5-1 cm larg.)
178'. Sem o conjunto de caracteres  179. Plantas procumbentes; folhas verdes, linear-lanceoladas (0,5-1 cm larg.)
178'. Sem o conjunto de caracteres  179. Plantas procumbentes; folhas verdes, linear-lanceoladas (0,5-1 cm larg.)
178'. Sem o conjunto de caracteres  179. Plantas procumbentes; folhas verdes, linear-lanceoladas (0,5-1 cm larg.)
178'. Sem o conjunto de caracteres 179. Plantas procumbentes; folhas verdes, linear-lanceoladas (0,5-1 cm larg.)
178'. Sem o conjunto de caracteres  179. Plantas procumbentes; folhas verdes, linear-lanceoladas (0,5-1 cm larg.)
178'. Sem o conjunto de caracteres 179. Plantas procumbentes; folhas verdes, linear-lanceoladas (0,5-1 cm larg.)
178'. Sem o conjunto de caracteres 179. Plantas procumbentes; folhas verdes, linear-lanceoladas (0,5-1 cm larg.)
178'. Sem o conjunto de caracteres  179. Plantas procumbentes; folhas verdes, linear-lanceoladas (0,5-1 cm larg.)
178'. Sem o conjunto de caracteres 179. Plantas procumbentes; folhas verdes, linear-lanceoladas (0,5-1 cm larg.)
178'. Sem o conjunto de caracteres 179. Plantas procumbentes; folhas verdes, linear-lanceoladas (0,5-1 cm larg.)
178'. Sem o conjunto de caracteres 179. Plantas procumbentes; folhas verdes, linear-lanceoladas (0,5-1 cm larg.)
178'. Sem o conjunto de caracteres 179. Plantas procumbentes; folhas verdes, linear-lanceoladas (0,5-1 cm larg.)

100 E II	F1 1
190. Folhas ovais ou elíticas	
190'. Folhas lanceoladas	Ortnopappus angustijonus
186'. Folhas paralelódromas, com bainha	
191. Margem foliar espinescente 192. Folhas oblongas ou lanceoladas	4 - 1 - 1 - 1 - 1 - 1 - 1 - 1 - 1 - 1 -
	Aecnmea brometiijotta
192'. Folhas linear-lanceoladas	D: 1: I
193. Espinhos recurvados, pretos	Dickia luberosa
193'. Espinhos incurvados, verdes	
194. Folhas jovens frequentemente avermelhadas, lâmin	
lepidotos esbranquiçados	
194'. Folhas jovens verdes, lâmina menor que 3 cm larg.,	
	Ananas ananassoides
191'. Margem foliar íntegra, serrilhada ou ciliada	
195. Folhas filiformes ou revoluto-cilíndricas	
196. Bainha foliar com mais de 5 cm larg.	Trimezia juncifolia
196'. Bainha foliar com até 1 cm larg.	
197. Folhas retas, ápice da bainha piloso	
197'. Folhas curvas, ápice da bainha glabro	Bulbostylis sphaerocephala
195'. Folhas lineares, lanceoladas ou obovais, planas	
198. Epífitas	
199. Folhas lanceoladas, sem escamas	
199'. Folhas lineares, com escamas esbranquiçadas	Tillandsia geminiflora
198'. Terrestres	
200. Lâmina foliar com três nervuras salientes, margem in	
200'. Lâmina foliar com a nervura central saliente, marger	
201. Folhas coriáceas, margem ciliada	Eryngium junceum
201'. Folhas membranáceas, margem serrilhada	
202. Touceiras pauciperfilhadas; rizoma com crescimen	
202'. Touceiras multiperfilhadas; rizoma com crescime	ento multidirecionalCyperus diffusus
185'. Folhas dispostas ao longo do caule	
203. Folhas com a bainha desenvolvida, sem pecíolo, paralelódron	
204. Lâmina foliar ressupinada	Alstroemeria pulchella
204'. Lâmina foliar não ressupinada	
205. Caule com seção circular; folhas elíticas, margem integra	
205'. Caule com seção triangular; folhas lineares ou linear-lan	
206. Porção apical da bainha, oposta à inserção do limbo, exapo	• •
206'. Porção apical da bainha apendiculada	Scleria comosa
203'. Sem o conjunto de caracteres	
207. Folhas compostas ou pinatífidas	
208. Filotaxia oposta	
209. Plantas com gavinhas	
210. Subarbustos; folhas bipinadas ou pinadas	Memora peregrine
210'. Trepadeiras; folhas trifoliadas, um dos folíolos às vez	zes transformado em gavinha
211. Gavinha indivisa	
212. Foliolos glabros	Arrabidaea florida
212'. Folíolos pilosos	
213. Folíolos ovais, base aguda ou atenuada, peciólulo	o com mais de l cm compr
	Cremastus pulcher
213'. Folíolos elíticos, base cordada, peciólulo com m	enos de 0,5 cm compr
	•
211'. Gavinha trífida no ápice	
214. Pseudoestípulas foliáceas presentes	Anemopaegma chamberlaynii
214'. Pseudoestípulas ausentes	
215. Folíolos pubescentes, sem pontuações glandulosa	asDistictella mansoana

215'. Foliolos glabros, com pontuações glandulosas
209'. Plantas sem gavinhas
216. Folhas pinadas ou digitadas
217. Folhas pinadas, 2-folioladas (raro 1- ou 3-folioladas), folíolos actinódromos Arrabidaea brachypoda
217'. Folhas digitadas, 3-folioladas, foliolos broquidódromos
216'. Folhas bipinadas
218. Folíolos glabros, raque foliar não alada
219. Ala da raque foliolar formada pelo prolongamento dos foliólulos, margem foliolular íntegra
Jacaranda decurrens
219'. Ala da raque foliolar distinta dos foliólulos, margem foliolular serreada
208'. Filotaxia alterna
220. Folhas bipinadas
221. Trepadeiras; folíolos 3-foliolulados
222. Raque foliar alada
222'. Raque foliar não alada
223. Folíolos com duas nervuras basais salientes, base formando um pseudo-pecíolo, limbo com
pontuações translúcidas
223'. Folíolos sem duas nervuras basais salientes, base cuneada, limbo sem pontuações translúcidas
221'. Eretas ou prostradas; folíolos 2- a multijugos
224. Folhas 3- a multijugas
225. Planta armada (espinhos recurvados); ramos jovens e raque foliar velutinos; folhas multijugas
225'. Plantas inermes; ramos jovens e raque foliar híspidos; folhas 3- a 5-jugasMimosa gracilis
224'. Folha 1- a 2-juga
226. Folíolos com três foliólulos desenvolvidos e um atrofiado
226'. Folíolos multifoliolulados
220'. Folhas pinadas ou digitadas 227. Folhas multifolioladas
228. Folhas paripinadas com os folíolos opostos
229. Ramos em ziguezague; estípulas ovais; folíolos assimétricos, nervura central excêntrica
229'. Ramos retos; estípulas lineares; folíolos simétricos, nervura central mediana
230. Plantas pilosas (tricomas glandulosos); folha eglandulosa
230'. Plantas glabras; folha com duas glândulas entre as duas primeiras jugas
228'. Folhas paripinadas com folíolos subopostos ou imparipinadas
231. Folíolos subopostos, folhas paripinadas
231'. Folíolos opostos, folhas imparipinadas, com um folíolo distintamente terminal 232. Raque foliar alada, folíolos com margem crenada
232'. Raque foliar não alada, folíolos com margem integra
233. Plantas sobolíferas
234. Folíolos elíticos, ápice e base agudos, peciolulados (peciólulo com mais de 0,5 cm compr.)
234'. Folíolos oblongos, ápice e base obtusos, subsésseis (peciólulo com menos de 0,5 cm compr.)
Andira laurifolia
233'. Plantas escandentes, decumbentes ou eretas
235. Plantas escandentes; folíolos glabros
235'. Plantas decumbentes ou eretas; folíolos pilosos
236. Planta decumbente; folíolos de tamanho decrescente do ápice para a base, com até 2 cm compr
236'. Planta ereta; foliolos de tamanho aproximadamente igual, com mais de 5 cm compr.
Toulicia tomentosa

227'. Folhas 2- a 4- folioladas	
237. Folhas paripinadas	7
238. Folhas unijugas	Zornia latifolia
238'. Folhas bijugas	
<ol> <li>Estípulas lineares; folhas com tricomas glandulo folíolos simétricos</li> </ol>	
<ol> <li>Plantas com tricomas glandulosos; sem glândulas</li> </ol>	
240'. Plantas sem tricomas glandulosos; com glândulas o	
239'. Estípulas cordiformes; folhas com glândulas pateli	
241. Folíolos largo-obovais, pilosos	Chamaechrista rotundifolia
241'. Folíolos oblanceolados ou oblongos, glabros	Chamaechrista desvauxii
237'. Folhas trifolioladas	
242. Plantas trepadeiras	
243. Folíolos linear-lanceolados, margem íntegra, glabro	osCayaponia espelina
243'. Folíolos ovais, elíticos ou obovais, margem serreac	
244. Folhas pecioladas (pecíolos de 1 a 2 cm compr.)	
244'. Folhas subsésseis (pecíolos até 0,5 cm compr.)	
242'. Plantas eretas, prostradas ou volúveis	,
245. Estípulas soldadas formando pseudo-bainha, folíolo	os com nervura marginal evidente (olhar
face inferior)	
246. Planta multifoliada, pubescente	Stylosanthes guianensis
246'. Planta paucifoliada, glabrescente	·
245'. Sem o conjunto de caracteres	Diyrosamnes graems
247. Folhas digitadas (foliolos equidistantes)	
248. Plantas volúveis	Cantrosama vanosum
248'. Plantas eretas	Centrosema venosum
249. Folíolos sem estipelas, glabros	Cyctalavia vitallina
249. Foliolos sem estipelas, gilosos	
· · · · · · · · · · · · · · · · · · ·	Cinoria taurijona
247'. Folhas pinadas	
250. Plantas volúveis 251. Folíolos laterais simétricos	Climate
	Cilioria jaicala
251'. Folíolos laterais assimétricos	16 49 9
252. Folhas hirsutas, truladas	
252'. Folhas tomentosas, largo-truladas	Rhynchosia melanocarpa
250'. Plantas eretas ou prostradas	
253. Pecíolo mais curto ou de igual tamanho da rac	•
254. Folíolos oblongos ou obovais, menores que 5	
254'. Foliolos ovais, maiores que 6 cm compr	Galactia grewiifolia
253'. Pecíolo maior que a raque foliar	
255. Folhas com estípulas e estipelas, folíolos elít	
255'. Folhas sem estípulas ou estipelas, folíolos o	
255 : Tomas sem esuperias, tomores e	
207'. Folhas simples ou unifolioladas	829
256. Filotaxia alterna	
257. Margem recortada (serreada, serrilhada, denteada, denticulad	la, crenada, crenulada ou lobada) evidente
258. Folhas lobadas ou pinatífidas	,,,,,,
259. Plantas trepadeiras	
260. Plantas com três lobos estreito-clíticos, margem dos lobo	os integra Cavanonia espelina
260'. Plantas com lobos ovais, elíticos ou obovais, margem dos	
259'. Plantas eretas	, 2005 aciniculadiCissus sessifiyona
261. Plantas aculeadas	Solanum nalingeanthum
261'. Plantas actileatas	painacantnum
201 . I famas methics	

207'.

262. Folhas 3-lobadas
262'. Folhas 4- ou 5-lobadas
263. Plantas com látex aquoso; margem dos lobos íntegra
263'. Plantas sem látex; margem dos lobos serreada
258'. Folhas não lobadas nem pinatifidas
264. Folhas glabras ou glabrescentes
265. Plantas trepadeiras; ramos quadrangulares
265'. Plantas não trepadeiras; ramos circulares
266. Folhas pecioladas
267. Plantas latescentes; base da lâmina foliar com glândulas
267'. Plantas não ou pouco latescentes; base da lâmina foliar sem glândulas
268. Lâmina foliar com pontuações glandulosas, base assimétrica
268'. Lâmina foliar sem pontuações translúcidas, base simétrica
269. Plantas com látex escasso (observar na nervura principal); ramos jovens avermelhados;
folhas elíticas
269'. Plantas sem látex; ramos jovens não avermelhados; folhas oblongas
Sebastiania serrulata
266'. Folhas sésseis ou subsésseis
270. Folhas acródromas Baccharis dracunculifolia
270'. Folhas com outros tipos de nervação
271. Folhas amplexicaule, dimorfas (basais arredondadas, terminais lanceoladas)
Emilia coccinea
271'. Folhas não amplexicaule, isomorfas
272. Folhas lineares, hifódromas
272'. Folhas não lineares, eucamptódromas ou reticulódromas
273. Plantas com látex escasso (observar na nervura principal); ramos jovens avermelhados; base foliar aguda ou cuncada
pase tollar aguda ou clineada <i>Vernonia rubriramea</i>
273 '. Plantas sem látex; ramos jovens não avermelhados; base foliar cordada ou subcordada
273 '. Plantas sem látex; ramos jovens não avermelhados; base foliar cordada ou subcordada
273 '. Plantas sem látex; ramos jovens não avermelhados; base foliar cordada ou subcordada
273 '. Plantas sem látex; ramos jovens não avermelhados; base foliar cordada ou subcordada
273 '. Plantas sem látex; ramos jovens não avermelhados; base foliar cordada ou subcordada
273 '. Plantas sem látex; ramos jovens não avermelhados; base foliar cordada ou subcordada
273 '. Plantas sem látex; ramos jovens não avermelhados; base foliar cordada ou subcordada
273 '. Plantas sem látex; ramos jovens não avermelhados; base foliar cordada ou subcordada  **Nermonia ono pordioides**  264'. Folhas evidentemente pilosas  274. Plantas aculeadas  275. Folhas elíticas; acúleos com a base inflada
273 '. Plantas sem látex; ramos jovens não avermelhados; base foliar cordada ou subcordada  **Nermonia ono pordioides**  264'. Folhas evidentemente pilosas  274. Plantas aculeadas  275. Folhas elíticas; acúleos com a base inflada
273 '. Plantas sem látex; ramos jovens não avermelhados; base foliar cordada ou subcordada
273 '. Plantas sem látex; ramos jovens não avermelhados; base foliar cordada ou subcordada
273 '. Plantas sem látex; ramos jovens não avermelhados; base foliar cordada ou subcordada
273 '. Plantas sem látex; ramos jovens não avermelhados; base foliar cordada ou subcordada  **Nernonia ono pordioides**  264'. Folhas evidentemente pilosas  274. Plantas aculeadas  275. Folhas elíticas; acúleos com a base inflada
273 '. Plantas sem látex; ramos jovens não avermelhados; base foliar cordada ou subcordada  **Lernonia ono pordioides**  264'. Folhas evidentemente pilosas  274. Plantas aculeadas  275. Folhas elíticas; acúleos com a base inflada
273 '. Plantas sem látex; ramos jovens não avermelhados; base foliar cordada ou subcordada  **Lernonia ono pordioides**  264'. Folhas evidentemente pilosas  274. Plantas aculeadas  275. Folhas elíticas; acúleos com a base inflada
273 '. Plantas sem látex; ramos jovens não avermelhados, base foliar cordada ou subcordada  **Nernonia ono pordioides**  264 '. Folhas evidentemente pilosas  274. Plantas aculeadas  275. Folhas elíticas; acúleos com a base inflada
273 '. Plantas sem látex; ramos jovens não avermelhados; base foliar cordada ou subcordada
273 '. Plantas sem látex; ramos jovens não avermelhados; base foliar cordada ou subcordada  264'. Folhas evidentemente pilosas  274. Plantas aculeadas  275. Folhas elíticas; acúleos com a base inflada
273 '. Plantas sem látex; ramos jovens não avermelhados; base foliar cordada ou subcordada  264'. Folhas evidentemente pilosas  274. Plantas aculeadas  275. Folhas elíticas; acúleos com a base inflada
273 '. Plantas sem látex; ramos jovens não avermelhados; base foliar cordada ou subcordada  **Nernonia ono pordioides**  264'. Folhas evidentemente pilosas  274. Plantas aculeadas  275. Folhas elíticas; acúleos com a base inflada
273 '. Plantas sem látex; ramos jovens não avermelhados; base foliar cordada ou subcordada  **Nernonia ono pordioides**  264'. Folhas evidentemente pilosas  274. Plantas aculeadas  275. Folhas elíticas; acúleos com a base inflada
273 '. Plantas sem látex; ramos jovens não avermelhados; base foliar cordada ou subcordada  **Nernonia ono pordioides**  264'. Folhas evidentemente pilosas  274. Plantas aculeadas  275. Folhas elíticas; acúleos com a base inflada
273 '. Plantas sem látex; ramos jovens não avermelhados; base foliar cordada ou subcordada
273 '. Plantas sem látex; ramos jovens não avermelhados; base foliar cordada ou subcordada  264' . Folhas evidentemente pilosas  274. Plantas aculeadas  275. Folhas elíticas; acúleos com a base inflada  275' . Folhas deltóides; acúleos com a base não inflada  274' . Plantas inermes  276 . Base da lâmina foliar com glândulas estipitadas  277. Presença de estípulas (olhar ramos jovens)  278. Folhas sagitadas; caule anguloso  279. Margem foliar recortada na metade superior  280. Folhas circulares, ápice emarginado  280' . Folhas oblongas, ápice apiculado  281 . Plantas com pilosidade amarelo-avermelhada (olhar ápice dos ramos jovens); folhas com base assimétrica  281 . Plantas com pilosidade de outra cor; folhas com base simétrica  282. Folhas com base atenuada ou arredondada  283 . Ramos jovens com triconias glandulares; folhas membranáceas, largo-elíticas, velutinas ou híspidas, base arredondada  283' . Ramos jovens sem tricomas glandulares; folhas membranáceas, largo-elíticas, velutinas ou híspidas, base arredondada  283' . Ramos jovens sem tricomas glandulares; folhas membranáceas, largo-elíticas, velutinas ou híspidas, base arredondada  283' . Ramos jovens sem tricomas glandulares; folhas membranáceas, largo-elíticas, velutinas ou híspidas, base arredondada  283' . Ramos jovens sem tricomas glandulares; folhas membranáceas, largo-elíticas, velutinas ou híspidas, base arredondada  283' . Ramos jovens sem tricomas glandulares; folhas membranáceas, largo-elíticas, velutinas ou híspidas, base arredondada  283' . Ramos jovens sem tricomas glandulares; folhas membranáceas, largo-elíticas, velutinas ou híspidas, base arredondada  284 . Waltheria americana
273'. Plantas sem látex; ramos jovens não avermelhados; base foliar cordada ou subcordada  264'. Folhas evidentemente pilosas  274. Plantas aculeadas  275. Folhas elíticas; acúleos com a base inflada
273 '. Plantas sem látex; ramos jovens não avermelhados; base foliar cordada ou subcordada  264' . Folhas evidentemente pilosas  274. Plantas aculeadas  275. Folhas elíticas; acúleos com a base inflada  275' . Folhas deltóides; acúleos com a base não inflada  274' . Plantas inermes  276 . Base da lâmina foliar com glândulas estipitadas  277. Presença de estípulas (olhar ramos jovens)  278. Folhas sagitadas; caule anguloso  279. Margem foliar recortada na metade superior  280. Folhas circulares, ápice emarginado  280' . Folhas oblongas, ápice apiculado  281 . Plantas com pilosidade amarelo-avermelhada (olhar ápice dos ramos jovens); folhas com base assimétrica  281 . Plantas com pilosidade de outra cor; folhas com base simétrica  282. Folhas com base atenuada ou arredondada  283 . Ramos jovens com triconias glandulares; folhas membranáceas, largo-elíticas, velutinas ou híspidas, base arredondada  283' . Ramos jovens sem tricomas glandulares; folhas membranáceas, largo-elíticas, velutinas ou híspidas, base arredondada  283' . Ramos jovens sem tricomas glandulares; folhas membranáceas, largo-elíticas, velutinas ou híspidas, base arredondada  283' . Ramos jovens sem tricomas glandulares; folhas membranáceas, largo-elíticas, velutinas ou híspidas, base arredondada  283' . Ramos jovens sem tricomas glandulares; folhas membranáceas, largo-elíticas, velutinas ou híspidas, base arredondada  283' . Ramos jovens sem tricomas glandulares; folhas membranáceas, largo-elíticas, velutinas ou híspidas, base arredondada  283' . Ramos jovens sem tricomas glandulares; folhas membranáceas, largo-elíticas, velutinas ou híspidas, base arredondada  284 . Waltheria americana

285. Margem do limbo foliar denteada, pecíolo maior que 2 cm compr
·
285'. Margem do limbo foliar serreada, pecíolo até l cm compr.
286. Pulvino presente
286'. Pulvino ausente
287. Plantas eretas; folhas hirsutas
287'. Plantas decumbentes; folhas híspidas
277'. Ausência de estípulas
288. Caule alado
288'. Caule não alado
289. Folhas longo-pecioladas (pecíolo maior que l cm compr.)
290. Folhas elíticas, não escabras na face superior, nervuras imersas
291. Ramos e folhas pilosos
291'. Ramos e folhas glabros
290'. Folhas ovais, escabras na face superior, nervuras salientes na face inferior
292. Plantas eretas
292'. Plantas volúveis. Davilla rugosa
289'. Folhas sésseis ou curto-pecioladas (pecíolo menor que 0,5 cm compr.)
293. Folhas discolores
294. Folhas elíticas, escabras na face superior
294'. Folhas obovais ou lanceoladas, não escabras na face superior
295. Folhas obovais, margem crenada, ápice obtuso
295'. Folhas lanceoladas, margem serreada, ápice agudoVernonia holosericea
293'. Folhas concolores
296. Ramos e folhas jovens lanuginosos
296'. Ramos e folhas jovens não lanuginosos
297. Folhas ovadas, base subcordada
297'. Folhas obovadas ou elíticas, base não subcordada
298. Folhas sésseis
299. Folhas híspidas, margem serreada, nervuras secundárias inconspícuas
299'. Folhas tomentosas, margem crenada, nervuras secundárias evidentes
The state of the s
Elephantopus biflora
298'. Folha curto-peciolada
300. Folhas coriáceas, obovais
300'. Folhas membranáceas elíticas
257'. Margem integra
301. Caule alado
301'. Caule não alado
302. Hábito prostrado, volúvel ou planta trepadeira
303. Folhas acródromas (3- a 7-nervadas)
303'. Folhas não acródromas
304. Plantas volúveis
305. Estípulas foliáceas presentes
305'. Estípulas ausentes
304'. Plantas prostradas
306. Estípulas presentes; folhas cartáceas, pilosas
306'. Estípulas ausentes; folhas membranáceas, glabras
302'. Hábito ereto ou decumbente
307. Folhas hifódromas
308. Planta subáfila
308'. Planta multifoliada
309. Folhas carnosas

310'. Plantas glabras, folhas elíticas
309'. Folhas não carnosas
311. Folhas obovais
311'. Folhas lineares
312. Ramos com estrias
312'. Ramos sem estrias
313. Folhas com base arredondada
313'. Folhas com base aguda
307'. Folhas com outros tipos de nervação
314. Folhas glabras ou glabrescentes
315. Plantas latescentes
316. Planta sem caule aparente à superficie; folhas congestas no ápice dos ramos, sem glândulas
316'. Planta com caule aparente à superfície; folhas laxas, com duas glândulas na base do limbo
315'. Plantas não latescentes
317. Folhas com estípulas
318. Folhas sagitadas; caule anguloso
318'. Folhas não sagitadas; caule não anguloso
317'. Folhas sem estípulas
319. Folhas circulares, até l cm compr
319'. Folhas não circulares, mais de 2 cm compr.
320. Plantas sobolíferas
321. Limbo foliar menor que 3 cm compr. e 0,5 cm larg., ápice agudoBaccharis humilis
321'. Limbo foliar maior que 10 cm compr. e 4 cm larg., ápice arredondado
Anacardium humile
320'. Plantas subarbustivas
322. Folhas cartáceas, ovais
322'. Folhas coriáceas, largo-ovais ou elíticas
323. Folhas largo-ovais, base cordada, domácias saculiformes na axila das nervuras na
face inferior
323'. Folhas elíticas, base atenuada, sem domácias
314'. Folhas pilosas ou com indumento de escamas
324. Plantas armadas
325. Dois espinhos na axila das folhas
325'. Vários acúleos em toda a planta
324'. Plantas inermes
326. Hábito escandente
326'. Hábito ereto ou decumbente
327. Estipulas desenvolvidas
328. Estípulas foliáceas
328'. Estípulas lineares ou triangulares
329. Folhas membranáceas, linear-lanceoladas; estipulas linearesSida linifolia
329'. Folhas coriáceas, ovais, elíticas ou obovais; estípulas triangularesLicania humilis
327'. Estípulas nulas ou inconspícuas
330. Folhas actinódromas, 5- a 7-nervadas
330'. Sem esta característica
331. Pecíolo longo (maior que 1 cm compr.)
332. Planta sobolifera, latescente; folhas oblanceoladas, pilosidade ferruginea
332'. Planta herbácea ou subarbustiva, não latescente; folhas ovais ou clíticas,
pilosidade esbranquiçada
333. Folhas discolores

358. Estípula fimbriada; folhas lineares	
358'. Estípula íntegra, com um ápice; folhas elíticas	Declieuxia fruticosa
357'. Estípulas interpeciolares ausentes	
359. Limbo foliar com glândulas na face inferior	Banisteriopsis campestris
359'. Limbo foliar sem glândulas	
360. Folhas lineares, com estípulas	
360'. Folhas oblongas ou lanceoladas, sem estípulas	Kanimia oblongifolia
351'. Folhas opostas	
361. Folhas pinatífidas	Bidens gardneri
361'. Folhas inteiras ou lobadas	
362. Plantas hemiparasitas	Psittacanthus robustus
362'. Plantas autotróficas	
363. Hábito volúvel	
364. Planta latescente, com látex leitoso	
365. Folhas lineares.	Astenhanus carassensis
365'. Folhas clíticas, oblongas ou ovais	isteprantis ear assensis
366. Limbo foliar com glândula na face superior	Blankarodon nitidum
366'. Limbo foliar sem glandulas	Brepharodon mildum
367. Folhas glabras	Fountamonia alabumanan
367'. Folhas pilosas	rorsieroma giabrescens
•	0
368. Pecíolo maior que I cm compr., base foliar cordada	
368'. Pecíolo menor que 0,5 cm compr., base foliar obtusa	
369. Limbo foliar menor que l cm compr., ápice obtuso ou a	rredondadoDitassa nitida
369'. Limbo foliar maior que 5 cm compr., ápice agudo	
370. Ramos glabrescentes; folhas oblongas	
370'. Ramos pubescentes; folhas ovais	Temnadenia violacea
364'. Planta não latescente ou látex aquoso	
371. Folhas eglandulosas	
372. Folhas com pilosidade ferrugínea, nervação acródroma	
372'. Folhas com pilosidade esbranquiçada ou glabras, nervação	actinódroma ou eucamptódroma
373. Folhas ovais, actinódromas, base cordada, margem dent	eadaAlikania cordifolia
373'. Folhas oblongas ou clíticas, eucamptódroma, base atenuado	da, margem íntegra
40000000	Banisteriopsis pubipetala
371'. Folhas glandulosas na face inferior	
374. Folhas glabras	
375. Folhas lanceoladas, glândulas supra-basais	Banisteriopsis stellaris
375'. Folhas ovais, glândulas basais	
374'. Folhas pilosas	
376. Presença de estípulas interpeciolares (olhar folhas jove	ns)Peixotoa tomentosa
376'. Ausência de estípulas interpeciolares	,
377. Folhas discolores	
378. Folhas buladas, ápice obtuso	Banisterionsis argyrophylla
378'. Folhas não buladas, ápice agudo	
377'. Folhas concolores	
379. Glândulas na base do limbo foliar	Ranistarioneis variabilis
379'. Glândulas acima da base do limbo foliar	
	Nascagnia coraijona
363'. Hábito ereto ou prostrado	
380. Plantas latescentes	D:4
381. Folhas lineares, com até l cm compr.	
381'. Folhas oblongo, oboval ou orbicular, com mais de 5 cm co	
382. Folhas oblongas ou obovais	-
382'. Folhas circulares	Rhodocalyx rotundifolius
380'. Plantas não latescentes	
383. Presença de estípulas interpeciolares (olhar folhas jovens)	

384. Limbo foliar com duas glândulas na base
384'. Limbo foliar sem glândulas
385. Nervuras impressas na face superior
386. Estípulas não fimbriadas; limbo foliar discolor
386'. Estípulas fimbriadas ou apenas o ápice fimbriado; limbo foliar concolor
387. Folhas elíticas, craspedódromas
387'. Folhas lanceoladas ou lineares, hifódromas
388. Folhas lanceoladas, margem plana
388'. Folhas lineares, margem revoluta
385'. Nervuras não impressas
389. Estípula integra
390. Folhas pubescentes, arroxeadas na face inferior
390'. Folhas glabrescentes, esverdeadas na face inferior
391. Estípula com o ápice linear; folhas com até 5 cm comprDeclieuxia fruticosa
391'. Estípula com o ápice obtuso ou apiculado; folhas com mais de 10 cm compr.
Alibertia sessilis
389'. Estípulas fimbriadas, bífidas ou biaristadas
392. Folhas craspedódromas; estípulas fimbriadas
392'. Folhas com outros tipos de nervação; estípulas bífidas ou biaristadas
393. Plantas híspidas
393'. Plantas glabras
394. Folhas rígido-coriáceas
395. Ápice agudo, base obtusa; limbo foliar com até 10 cm compr. e 5 cm larg.
395'. Ápice obtuso, base atenuada; limbo foliar com mais de 15 cm compr. e
10 cm larg
394'. Folhas membranáceas ou cartáceas
396. Nervação eucamptódroma
396'. Nervação broquidódroma
397. Limbo foliar estreito-elítico, ápice agudo
397'. Limbo foliar elítico, ápice acuminado
383'. Ausência de estípulas interpeciolares
398. Limbo foliar com pontuações translúcidas (olhar contra a luz)
399. Margem foliar amarelada
400. Folhas clíticas, base obtusa
400'. Folhas largo-ovais, base subcordada
399'. Margem foliar indistinta
401. Ramos jovens quadrangulares; folhas densamente tomentosas na face inferior, pilosidade
esbranquiçada
401'. Ramos jovens circulares, folhas glabras ou glabrescentes, se tomentosas, com pilosidade femiginen
402. Folhas densamente tomentosas quando jovens (pilosidade ferruginea, facilmente
removível)
402'. Folhas glabras ou glabrescentes
403. Folhas oblanceoladas, nervuras imersas na face inferior da folha
403'. Folhas largo-elíticas ou elíticas, nervuras salientes na face inferior da folha
398'. Limbo foliar sem pontuações translúcidas
404. Ramos jovens quadrangulares
404. Ramos jovens quadrangulares 405. Folhas acródromas, clatradas (nervuras primárias longitudinais e secundárias transversais
que delimitam figuras retangulares, lembrando uma grade)
405'. Folhas com outros tipos de nervação, não clatradas
406. Caule com estrias nos ângulos
407. Folhas subsésseis (pecíolo menor que 0,5 cm compr.), tomentosas, margem serreada
Hyptis brevipes

407'. Folhas pecioladas (peciolo maior que l cm compr.), híspidas, margem duplo-serreada
406'. Caule sem estrias nos ângulos
408. Base foliar cuneada
409. Margem foliar serreada ou denteada
410. Folhas estreito-elíticas, margem serreada
• 40'. Folhas ovais ou elíticas, margem crenada
409'. Margem foliar crenada
411. Gemas e folhas jovens densamente piloso-esbranquiçados <i>Peltodon tomentosus</i> 411'. Gemas e folhas jovens não densamente piloso-esbranquiçados
Lantana fucata
408'. Base foliar aguda, obtusa ou cordada
412. Lâmina foliar escabra na face superior
412'. Lâmina foliar não escabra
413. Margem foliar integra
413'. Margem foliar crenulada, serreada ou serrilhada
414. Margem foliar crenulada
414'. Margem foliar serreada ou serrilhada
415. Folhas buladas, velutinas; ramos glabrescentes
415'. Folhas não buladas, tomentosas ou glabrescentes; ramos híspidos
Hyptis eryophylla
404'. Ramos jovens circulares, às vezes sulcados
416. Folhas acródromas ou actinódromas
417. Nervação clatrada (nervuras primárias longitudinais e secundárias transversais que
delimitam figuras retangulares, lembrando uma grade)
418. Folhas concolores, buladas, com pilosidade amareladaLeandra lacunosa
418'. Folhas discolores, não buladas, com pilosidade esbranquiçada
419. Folhas sésseis, folhas jovens glabras
419'. Folhas pecioladas, folhas jovens pilosas (pilosidade ferruginea, facilmente
removível)
417'. Nervação não clatrada 420. Margem foliar integra
421. Folhas escabras
422. Folhas lineares
422'. Folhas ovais ou clíticas. Figuiera discolor
421'. Folhas não escabras
423. Plantas subarbustivas; folhas glabras
423'. Plantas herbáceas; folhas pilosas
424. Folhas pecioladas, folhas senescentes persistentes
424'. Folhas sésseis, folhas senescentes caducas
420'. Margem foliar recortada
425. Folhas ovais, ápice acuminado
426. Ramos sulcados, glabros
426'. Ramos não sulcados, tomentosos quando jovensEupatorium maximiliani
425'. Sem o conjunto de caracteres
427. Base foliar amplexicaule; plantas híspidas
427'. Base foliar não amplexicaule; plantas tomentosas ou hispídulas
428. Folhas impressas na face superior
428'. Folhas não impressas na face superior
429. Folhas híspidas, margem crenada. Eupatorium chlorolepsis
429'. Folhas pubérulas, margem serreada
430. Limbo foliar com glândulas na face inferior
431. Folhas discolores, sericeo-esbranquiçadas na face inferior <i>Banisteriopsis laevifolia</i>
15 1. 1 5 1. 10 Miles and the second of the

#### 4 AGRADECIMENTOS

Ao técnico Paulo César Fernandes, pela ajuda no trabalho de campo; ao Conselho Técnico do Instituto Florestal, pela autorização para a realização do projeto (processo SMA 43332/95); e à FAPESP, pela bolsa de Mestrado concedida ao primeiro autor (processo 95/4290-3).

### REFERÊNCIAS BIBLIOGRÁFICAS

- ARAGAKI, S. 1997. Florística e estrutura de trecho remanescente de floresta no planalto paulistano (SP). São Paulo, Universidade de São Paulo, Instituto de Biociências. 108p. (Dissertação de Mestrado)
- BATALHA, M. A.; ARAGAKI, S. & MANTOVANI, W. 1999. Chave de identificação bascada em caracteres vegetativos para as espécies do cerrado das Emas (Pirassununga, SP). Boletim de Botânica da Universidade de São Paulo, São Paulo, 17:85-108.

- CASTRO, A. A. J. F. 1987. Floristica e fitossociologia de um cerrado marginal brasileiro, Parque Estadual de Vassununga, Santa Rita do Passa Quatro, SP. Campinas, UNICAMP, Instituto de Biologia. 240p. (Dissertação de Mestrado)
- FERRI, M. G.; MENEZES, N. L. & SCANAVACCA, W. R. M. 1969. *Glossário de termos botânicos*. São Paulo, EDUSP e Edgard Blücher. 179p.
- GARCIA, R. J. F. 1995. Composição florística dos estratos arbóreos e arbustivos da mata do Parque Santo Dias (São Paulo SP, Brasil). São Paulo, Universidade de São Paulo, Instituto de Biociências. 211p. (Dissertação de Mestrado)
- GENTRY, A. H. 1993. A field guide to the families and genera of woody plants of Northwest South America (Colombia, Ecuador, Peru). New York, Conservation International. 895p.
- KELLER, R. 1994. Neglected vegetative characters in field identification at the supraspecific level in woody plants: phyllotaxy, serial buds, syllepsis and architecture. *Botanical Journal of the Linnean Society*, London, 116:33-51.

- MANTOVANI, W.; LEITÃO FILHO, H. F. de & MARTINS, F. R. 1985. Chave baseada em caracteres vegetativos para a identificação de espécies lenhosas do cerrado da Reserva Biológica de Moji Guaçu, Estado de São Paulo. *Hoehnea*, São Paulo, 12:35-56.
- MANTOVANI, W. 1987. Análise florística e fitossocio lógica do estrato herbáceo-subarbustivo do cerrado na reserve biológica de Moji Guaçu e em Itirapina, SP. Campinas, UNICAMP, Instituto de Biologia. 203p. (Tese de Doutorado)
- do cerrado na reserva biológica de Mogi Guaçu, SP. *Acta botanica brasilica*, Brasília, 7:33-60.
- MUELLER-DUMBOIS, D. & ELLENBERG, H. 1974. *Aims and methods of vegetation ecology*. New York, John Wiley & Sons. 547p.
- PIVELLO, V. R. et al. 1999. Proposta de zoneamento ecológico para a reserva de cerrado Pé-de-Gigante (Santa Rita do Passa Quatro, SP). Brazilian Journal of Ecology, São Carlos, 2:108-118.
- RADFORD, A. E. et al. 1974. Vascular plants systematics. New York, Harper & Row. 891p.
- RIZZINI, C. T. 1977. Sistematização terminológica da folha. *Rodriguésia*, Rio de Janeiro, 29:103-125.
- ROSSI, L. 1994. A flora arbórea-arbustiva da mata da reserva da Cidade Universitária "Armando de Salles Oliveira" (São Paulo, Brasil). *Boletim do Instituto de Botânica*, São Paulo, 9:1-105.
- VELOSO, H. P. 1945. As comunidades e estações botânicas de Teresópolis, estação do Rio de Janeiro (com um ensaio de uma chave dendrológica). *Boletim do Museu Nacional*, Rio de Janeiro, 3:1-95.
- Ilhéus, estação da Bahia: II Observações e ligeiras conclusões acerca de espécies que ocorrem na região. Chave analítica das espécies arbóreas. *Memórias do Instituto Oswaldo Cruz*, Rio de Janeiro, 44:221-294.

## VARIAÇÃO DAS DIMENSÕES NO SENTIDO MEDULA-CASCA E BASE-TOPO DE ÁRVORES DE "AROEIRA" Myracrodruon urundeuva F.F. & A.F. Allemão (ANACARDIACEAE). II. VASOS E RAIOS¹

Sandra Monteiro Borges FLÖRSHEIM<sup>2</sup>
Mário TOMAZELLO FILHO<sup>3</sup>
Laura SPEGIORIN<sup>4</sup>

# **RESUMO**

A variação das dimensões dos vasos e raios exerce um efeito significativo sobre as propriedades das madeiras de folhosas. Em geral, essas propriedades podem variar dentro e entré árvores. Esta pesquisa visou a obtenção de informações adicionais sobre o assunto, sendo seu objetivo específico verificar as variações das dimensões dos vasos e do parênquima radial no sentido medula-casca e base-topo. De um plantio experimental de "aroeira" Myracrodruon urundeuva, com 26 anos, instalado na Estação Experimental de São José do Rio Preto - SP, do Instituto Florestal de São Paulo, foram selecionadas 12 árvores separadas por classes de diâmetro em cada um dos quatro espacamentos. De cada árvores foram quatro espaçamentos. De cada árvore, foram retirados discos de madeira da base, DAP, 50% e 100% da altura comercial. Em cada disco, foram demarcados corpos de prova a 0%, 50% e 100% do raio a fim de se estudar as variações dos vasos e do parênquima radial. Concluiu-se que os espaçamentos e as classes de diâmetro não exerceram influência sobre as características anatômicas. No sentido longitudinal, os menores valores de comprimento e diâmetro dos vasos foram encontrados na base e os maiores a 50% da altura comercial; a frequência de vasos/mm² decresceu em direção ao topo. No sentido radial, os menores valores de comprimento de vasos foram encontrados na região próxima à medula, o diâmetro cresceu em direção à casca e a frequência decresceu. Os raios no sentido longitudinal mostraram que a frequência de raios/mm e a altura em um tiveram seus maiores valores no topo e a largura (em μm) na base. No sentido radial a freqüência (raios/mm) foi menor na região próxima à casca e os valores de altura e largura (em μm) foram maiores na mesma região.

Palavras-chave: *Myracrodruon urundeuva*; vasos; raios; variação medula-casca e base-topo.

#### ABSTRACT

The variation in the dimensions of the vessels and rays in the hardwoods has a marked effect on wood quality and utility. In general these anatomical characteristics can vary noticeably within and among trees. The present investigation has tried to provide further information about this subject. Its specific goal is to determine the variation in vessel and ray dimensions in the pith-bark and base-top directions. Twelve trees were cited according to diameter class in each of four kinds of spacing at 26-year-old experimental plantations of "aroeira" *Myracrodruon urundeuva* F.F. & A.F. Allemão, at the São José do Rio Preto Experimental Station from the Forest Institute, State of São Paulo. Wooden discs were removed from each tree at base, DBH and 50% and 100% of commercial height. In order to allow the investigation of the variation in vessel and ray dimensions, samples were taken in each disc at 0%, 50%, and 100% of the radius. The results indicated that the spacings and the diameter class did not influence the anatomical characteristics. In the longitudinal direction the lowest values of vessel length and diameter were found at the base, while the highest were found at 50% of commercial height. The frequency of vessels per mm<sup>2</sup> decreased towards the top. In the radial direction the lowest values for vessel length were found in the regions near the pith, and the diameter increased towards the bark, while the frequency decreased. The rays in the longitudinal direction showed that the frequency of rays per mm and their height in \( \mu\) m reached the highest values at the top. Their width in \( \mu\) m exhibited the highest values at the base. In the radial directions the frequency of rays per mm was the lowest in the region of the bark. The values for height and width in \( \mu\) m were the highest in the same region.

Key words: *Myracrodruon urundeuva*; vessels; rays; pith-bark and base-top variations.

(2) Instituto Florestal, Caixa Postal 1322, 01059-970, São Paulo, SP, Brasil.

<sup>(1)</sup> Parte da Dissertação de Mestrado do primeiro autor apresentada à ESALQ/USP, Piracicaba, SP, e aceito para publicação em dezembro de 1999.

<sup>(3)</sup> Escola Superior de Agricultura "Luiz de Queiroz" - USP, Caixa Postal 99, 13400-970, Piracicaba, SP, Brasil.

<sup>(4)</sup> Engenheira Agrônoma, estagiária da Seção de Madeira e Produtos Florestais, Instituto Florestal, Caixa Postal 1322, 01059-970, São Paulo, SP, Brasil.

# 1 INTRODUÇÃO

O interesse sobre as relações das dimensões das fibras de folhosas com a qualidade da madeira, tem merecido destaque. Entretanto, outros componentes estruturais das folhosas, tais como vasos, parênquima axial e radial também requerem estudos quanto as suas variações.

As características dos vasos têm um efeito significativo sobre algumas propriedades das madeiras de folhosas, podendo, por exemplo, a alta porcentagem de vasos diminuir a resistência da madeira. Outras características dos vasos como tamanho, volume e a presença de tilas podem afetar a movimentação de líquidos na madeira, importante no processo de preservação. O diâmetro e a porcentagem de vasos podem, também ocasionar problemas para as indústrias de papel e celulose.

As células do parênquima também têm influência na qualidade da madeira, tanto em produtos sólidos como da celulose. As células do parênquima axial e radial, têm paredes finas e muito pequenas e pouco contribuem para a resistência do papel, embora favoreçam o seu polimento.

Existe um interesse geral em árvores com pequena proporção tanto de raios como de vasos devido a sua variabilidade e, também por exercer um efeito inverso sobre a densidade e resistência da madeira e o rendimento de papel (ZOBEL & BUIJTEN, 1989).

Considerando-se a importância da qualidade da madeira de espécies nativas, foram utilizados neste trabalho, como parâmetros, as características anatômicas, mais especificamente as dimensões e proporções dos vasos e parênquima radial. Para isso, utilizou-se um ensaio de espaçamento de aroeira *Myracrodruon urundeuva* F.F. & M.F. Allemão, com 26 anos.

### 2 REVISÃO BIBLIOGRÁFICA

A disposição e as dimensões dos vasos são uma das características mais evidentes da maioria das folhosas em seção transversal. Mudanças no diâmetro e disposição deste elemento dentro de um anel de crescimento, por exemplo, levaram à separação das folhosas em grupos distintos.

Os vasos são elementos estruturais bastante variados quanto à forma, arranjo e freqüência. Na madeira de eucalipto variam de 50 a

300 µm de diâmetro e sua frequência é de aproximadamente 17% da área. O número e diâmetro dos elementos de vasos influenciam nas características superficiais dos papéis para impressão (SHIMOYAMA, 1990).

Em grupos de madeira com poros difusos, há menor variação no tamanho dos vasos dentro de cada anel, mas pouco se sabe sobre as mudanças precisas nas dimensões transversais dos vasos durante o curso da estação de crescimento, ou da medula para casca ou ainda no aumento em altura.

A largura dos vasos mostra uma nítida relação positiva com a idade fisiológica do câmbio, em pesquisas realizadas com Fagus (STAUFFER, 1892) e Ulmus (ZOBEL & BUIJTENEN, 1989). Esses autores citando Guiher (1965), salientam que o padrão de produção dos vasos é de grande importância na determinação e utilização das folhosas para um dado produto. Ressaltam também, que a distribuição e as dimensões das células do parênquima radial e dos vasos nas folhosas têm uma influência direta sobre a qualidade do produto. Semelhantes resultados foram obtidos para Carya (PRITCHARD & BAILEY, 1916), Eucalyptus (DADSWELL, 1958) e E. globulus (CARVALHO, 1962). A duração do aumento no diâmetro pode ser observada, em geral, até 225 anos em Carva ovata (PRITCHARD & BAILEY, 1916).

Mudanças dimensionais na largura dos vasos foram descritas por CARVALHO (1962) em várias alturas do fuste, entretanto, o autor descreve que o gradiente de variação é maior na base.

Observa-se, ainda, que nas regiões próximas à medula o diâmetro dos vasos de *Eucalyptus grandis* mostra-se menor, porém sua freqüência é maior apresentando comportamento inverso nas regiões próximas à casca (TOMAZELLO FILHO, 1983). Dessa maneira, a área ocupada pelos vasos em unidade ou porcentagem, geralmente não é alterada de uma região para outra.

Quanto maior o diâmetro e o número de vasos por nm², maior será a área de espaços vazios encontrada na madeira. Assim, geralmente suas correlações com a densidade básica, quando encontradas, mostram-se negativas (DAVIDSON, 1972).

Pesquisas realizadas com *Betula* e *Fagus* (STAUFFER, 1892) e com *Carya ovata* (PRITCHARD & BAILEY, 1916) revelam que o diâmetro dos vasos mostra uma tendência geral em decrescer da base para o topo, embora máximos intermediários foram encontrados em várias alturas.

CARVALHO (1962) relata, para *E. globulus*, que o diâmetro dos vasos mostra um aumento definido em diâmetro da base para o topo próximo à medula, enquanto na bainha de crescimento periférica há somente um aumento muito leve da base para o topo.

NGUYEN (1977) estudou a variação de vasos em *Eucalyptus dalrympleana* associada com a posição, taxa de crescimento e mudanças climáticas e verificou que, com a altura, o número de vasos por unidade de área (freqüência) aumentou significativamente na parte superior do tronco e o tamanho dos vasos aumentou até o meio do tronco, quando então diminuiu rapidamente.

SCARAMUZZI (1955), trabalhando com Populus euramericana verificou uma pequena variação na proporção de vários elementos estruturais da madeira, sendo o volume dos raios o que mostrou maior variação.

Na espécie *Picea abies*, SCHULTZ-DEWITZ (1960) verificou que árvores intermediárias e dominadas apresentam fibras mais curtas e os raios são mais finos e em menor proporção do que em árvores dominantes. A altura dos raios foi maior em árvores dominantes.

MAEGLIN (1974), testando a qualidade de "site", verificou para *Quercus rubra* um aumento de 11% na proporção das fibras e um decréscimo de 4% nos raios e vasos em "site" de melhor qualidade.

Com *Platamus occidentalis*, TAYLOR (1969a) verificou que as propriedades da madeira foram diferentes entre árvores, incluindo densidade básica, diâmetro de células, comprimento de fibras e proporção de parênquima radial. Para *Carya pecan*, TAYLOR (1969b) encontrou diferenças entre árvores em densidade básica, comprimento de fibras, proporção de vasos e tecido parenquimático. Estudando *Celtis occidentalis* TAYLOR (1971) concluiu que a densidade básica varia bastante entre árvores assim como, a proporção de vasos, fibras e parênquima radial.

## 3 MATERIAIS E MÉTODOS

O povoamento de *Myracrodruon urundeuva* F.F. & A.F. Allemão utilizado no presente trabalho localiza-se na Estação Experimental de São José do Rio Preto, do Instituto Florestal do Estado de São Paulo. O local está a 49°23' de longitude oeste de Greenwich e 20°49' de latitude sul, e a 488 m de altitude. Com base no sistema de Köppen, o clima é do tipo Aw, tropical de inverno seco. A temperatura média do

mês mais quente (janeiro) é de 25,3°C e a do mês mais frio (julho) é de 18,7°C. A precipitação média anual é de 1.282,1 mm.

O solo está classificado nas unidades taxonômicas chamadas Podzolizados de Lins e Marília, variação Lins (PLm) e variação Marília (PMI) (VENTURA *et al.*, 1966).

O plantio das mudas de *Myracrodruon urundeuva*, foi instalado por BARROS (1970).

O delineamento foi o de blocos ao acaso, com 4 tratamentos de espaçamento repetidos 4 vezes, sendo: 1)  $E1 = (1,00 \times 1,33 \text{ m})$ ; 2)  $E2 = (1,00 \times 2,00 \text{ m})$ ; 3)  $E3 = (2,00 \times 2,00 \text{ m})$ , e 4)  $E4 = (2,00 \times 4,00 \text{ m})$ .

Aos 26 anos, efetuou-se um levantamento dendrométrico das áreas integrantes do povoamento, obtendo-se os dados de crescimento. Em cada espaçamento identificou-se 3 classes de diâmetro sendo: a) DAP I - 6 a 15 cm; b) DAP II - 16 a 21 cm, e c) DAP III - 22 a 26 cm, e através de uma seleção casual elegeu-se uma árvore dentro de cada classe, totalizando 12 árvores.

Para a coleta do material lenhoso, utilizou-se o método destrutivo, segundo procedimento estabelecido pelas Normas da Comissão Panamericana de Normas Técnicas (COPANT, 1974).

De cada indivíduo arbóreo, retirou-se um disco de madeira com casca nas alturas da base, à 1,30 m (DAP), 50% e 100% da altura comercial.

Dos discos de madeira foram retiradas amostras com 3 cm de largura, da medula até a casca, utilizando-se uma serra de fita. Destas amostras foram obtidos corpos de prova orientados com dimensões aproximadas de 2 x 1,5 x 2 cm nos planos transversal, longitudinal, tangencial e radial, na região da medula (0%), a 50% da distância entre a medula e a casca e próxima à casca (100%).

Para a confecção de cortes histológicos utilizou-se um micrótomo de deslize Leitz. Os cortes variaram de 22 a 30 µm de espessura, e após desidratação e coloração foram montadas as lâminas em bálsamo do Canadá.

Também foram realizadas lâminas de material macerado, após serem retiradas pequenas porções de madeira de cada corpo de prova e dissociadas segundo método de Jeffrey *apud* JOHANSEN (1940).

As dimensões dos diferentes elementos anatômicos do lenho, tanto nas lâminas de cortes histológicos, como nas de material macerado, foram obtidas com auxílio de microscópio Wild-Leitz e ocular micrométrica Baush & Lomb. No total, foram realizadas 25.920 medições.

### 4 RESULTADOS E DISCUSSÃO

A análise de variância, observada no QUADRO l para espaçamento, classes de diâmetro, posição na árvore e posição no disco, mostra valores de F altamente significativos para

a maioria das variáveis estudadas. Entretanto, o valor de F foi significativo ao nível de 5% de probabilidade para a variável comprimento dos vasos em relação à posição no disco e para a variável diâmetro dos vasos em função do espaçamento.

QUADRO 1 - Valores de coeficiente de variação para as medições de vasos.

	VASOS				
	Comprimento	Diâmetro	Freqüência/mm²		
CV	F	_ F	F		
Espaçamento	3,81**	2,69*	23,39**		
Classes de DAP	2,53**	9,01**	81,15**		
Posição na árvore	2,86**	19,37**	19,15**		
Posição no disco	2,14*	89,27**	5,05**		

- (\*) Significativo ao nível de 5% de probabilidade.
- (\*\*) Significativo ao nível de 1% de probabilidade.

Através do QUADRO 2 pode-se verificar que os valores médios de comprimento de vasos em função do espaçamento apresentam uma tendência de variação, embora, não se configurou uma distribuição a qual biologicamente pudesse ser explicada.

De modo geral, verifica-se que não houve tendência de variação entre as classes de diâmetro.

No sentido axial verifica-se em todas as árvores que o menor valor de comprimento de vasos encontra-se na base e que a partir dessa altura não se define uma tendência ou padrão de variação.

Na direção radial, nota-se que para a maioria das árvores estudadas, o valor dessa variável encontrada na medula é menor do que aquele observado na região próxima à casca. Tal observação possibilita verificar uma tendência de crescimento nesse sentido. No entanto, os valores encontrados a 50% do raio variaram muito, descaracterizando essa tendência. Com *Eucalyptus grandis* aos 34 anos, RANATUNGA (1964) verificou que os vasos aumentaram de comprimento no sentido radial, atingindo valores constantes a 25% da distância da medula-casca. Por outro lado, ARULCHELVAM (1971) observou para *E. robusta* um aumento no comprimento dos vasos, diâmetro e freqüência por m² até a uma distância de 19 a 22 cm da medula quando, então, decresceu.

Para o diâmetro de vasos, conforme QUADRO 3, pode-se observar que não houve uma tendência de variação em relação aos espaçamentos estudados, mostrando que provavelmente esse tipo de prática silvicultural não teve efeito sobre aquela característica. Para as classes de diâmetro, o diâmetro

de vasos variou estatisticamente nos espaçamentos El e E2, mas não se caracteriza uma tendência de variação em função do diâmetro da árvore.

No sentido longitudinal, a tendência geral verificada para o diâmetro de vasos para essa espécie é que os menores diâmetros foram observados na base e que tendem a aumentar com a altura da árvore, principalmente nos espaçamentos maiores. Resultado semelhante foi encontrado por CARVALHO (1962) ao estudar a distribuição dos vasos no *E. globulus*, verificando que estes eram crescentes no sentido base-topo. Mas, NGUYEN (1977) ao verificar a variação do diâmetro dos vasos em *E. dalrympleana*, observou que esse aumentou até o meio do tronco, após o qual decresceu rapidamente em direção ao topo. ZASADA & ZAHNER (1969) notaram um nítido decréscimo do diâmetro dos vasos em duas árvores de *Quercus rubra*.

No sentido radial, pode-se verificar que o diâmetro dos vasos cresce da medula para casca. Esse resultado está de acordo com o encontrado por STAUFFER (1892), CLARK (1930), PRITCHARD & BAILEY (1916), DADSWELL (1958) e TOMAZELLO FILHO (1984, 1985 e 1987).

No QUADRO 4, comparando os valores médios de freqüência de vasos por mm², obtidos por espaçamento, verifica-se que apesar de diferirem estatisticamente entre si, esses não apresentam uma tendência de variação, mostrando assim que essa prática silvicultural não teve efeito sobre essa característica, bem como, entre as classes de diâmetro estudadas, apesar das diferenças estatísticas detectadas.

QUADRO 2 - Valores médios do comprimento de vasos (µm) estimados para os espaçamentos, classes de diâmetro, posição na árvore e no disco.

ESPAÇAMENTO	Classe de	Diâmetro	Posição	na árvore		Posição no disco	
251 AÇAIVILIVI O	Classe de	Diametro	1 Osição i		0% raio	50% raio	100% raio
	10.3		Base	327,45 <sup>a</sup>	$333,00^{a}$	321,34 <sup>a</sup>	$328,00^{a}$
	DAPI	$336,19^{b}$	DAP	352,43 <sup>a</sup>	$366,30^{a}$	329,67 <sup>a</sup>	$361,30^{a}$
			50% HC	$328,00^{a}$	329,67 <sup>a</sup>	$311,35^{a}$	342,99°
			100% HC	336,88ª	351,31 <sup>a</sup>	331,33 <sup>a</sup>	$328,00^{a}$
El	-		Base	334,67 <sup>a</sup>	318,01 <sup>a</sup>	331,33 <sup>a</sup>	354,64 <sup>a</sup>
$(1,00 \times 1,33 \text{ m})$	DAPII	354,09 <sup>a</sup>	DAP	359,08 <sup>a</sup>	347,98 <sup>a</sup>	369,63°	359,64 <sup>a</sup>
	PS/III		50% HC	356,31 <sup>a</sup>	336,33 <sup>a</sup>	$361,30^{a}$	371,29 <sup>a</sup>
342,29 <sup>b</sup>			100% HC	366,30°	357,98 <sup>a</sup>	356,31 <sup>a</sup>	384,61 <sup>a</sup>
			Base	313,57 <sup>a</sup>	304,70 <sup>a</sup>	323,01 <sup>a</sup>	313,02 <sup>a</sup>
	DAP III	$336,60^{b}$	DAP	346,87 <sup>a</sup>	$382,95^{a}$	321,34 <sup>b</sup>	336,33 <sup>ab</sup>
	1000		50% HC	342,99 <sup>a</sup>	354,65 <sup>a</sup>	334,66 <sup>a</sup>	339,66ª
			100% HC	342,99 <sup>a</sup>	339,66ª	342,99 <sup>a</sup>	346,32 <sup>a</sup>
			Base	318,57 <sup>b</sup>	299,70°	316,35 <sup>a</sup>	339,66ª
	DAPI	341,46 <sup>a</sup>	DAP	356,31 <sup>a</sup>	351,31 <sup>a</sup>	342,99a	374,62 <sup>a</sup>
		,	50% HC	355,20 <sup>a</sup>	336,33 <sup>a</sup>	372,96 <sup>a</sup>	356,31 <sup>a</sup>
			100% HC	344,65 <sup>ab</sup>	336,33 <sup>a</sup>	336,33ª	361,30 <sup>a</sup>
E2			Base	312,46 <sup>b</sup>	329,67ª	304,69ª	303,03ª
$(1,00 \times 2,00 \text{ m})$	DAP II	343,68 <sup>a</sup>	DAP	369,08 <sup>a</sup>	364,63 <sup>a</sup>	366,30°	376,29 <sup>a</sup>
(1,00 11 2,00 111)	J	2 .2,00	50% HC	346,87 <sup>ab</sup>	362,97 <sup>a</sup>	346,32 <sup>a</sup>	331,33°
346,92 <sup>ab</sup>			100% HC	337,44 <sup>ab</sup>	316,35°	346,32 <sup>a</sup>	$349,65^{a}$
310,72			Base	336,88 <sup>b</sup>	326,34 <sup>a</sup>	329,67 <sup>a</sup>	354,64ª
	DAP III	355,61 <sup>a</sup>	DAP	376,85 <sup>a</sup>	381,29 <sup>a</sup>	367,97 <sup>a</sup>	381,28 <sup>a</sup>
	DAI III	333,01	50% HC	355,20 <sup>ab</sup>	328,00 <sup>b</sup>	351,31 <sup>ab</sup>	386,28°
			100% HC	353,54 <sup>ab</sup>	321,35 <sup>b</sup>	349,65 <sup>ab</sup>	389,61°
			Base	324,68 <sup>a</sup>	329,67 <sup>a</sup>	299,70 <sup>a</sup>	344,66ª
	DAP I 350	$350,20^{a}$	DAP	358,53 <sup>a</sup>	354,65 <sup>a</sup>	342,99 <sup>a</sup>	377,95°
		330,20	50% HC	358,53°	354,64°	357,98°	362,97°
			100% HC	359,09 <sup>a</sup>	346,32°	374,64°	356,31 <sup>a</sup>
E3			Base	330,78 <sup>b</sup>	336,33°	324,68 <sup>a</sup>	331,34 <sup>a</sup>
(2,00 x 2,00 m)	DAP II	361,02 <sup>a</sup>	DAP	370,74 <sup>a</sup>	362,97 <sup>a</sup>	376,29 <sup>a</sup>	372,96 <sup>a</sup>
(2,00 X 2,00 III)	DAIII	301,02	50% HC	370,74 370,19 <sup>a</sup>	356,31 <sup>a</sup>	367,96°	386,28 <sup>a</sup>
355,20°			100% HC	370,17 372,41 <sup>a</sup>	382,95 <sup>a</sup>	349,65°	384,62°
333,20				372,41 335,22 <sup>b</sup>	331,33 <sup>a</sup>	342,99°	331,34°
	DAP III	354,36 <sup>a</sup>	Base DAP	387,39 <sup>a</sup>	409,59 <sup>a</sup>	342,99 381,28 <sup>a</sup>	371,34
	DAPIII	334,30	50% HC	352,42 <sup>b</sup>	371,29 <sup>a</sup>		371,30 329,67 <sup>a</sup>
			100% HC	332,42 342.44 <sup>b</sup>	371,29 336,33 <sup>a</sup>	356,31°	
				342,44 <sup>b</sup>		346,32 <sup>a</sup>	344,65 <sup>a</sup>
	DADI	246 104	Base	335,22 <sup>a</sup>	338,00°	323,01°	344,66°
	DAP I	346,18°	DAP	343,55 <sup>a</sup>	336,33°	341,32°	352,98 <sup>a</sup>
			50% HC	355,20 <sup>a</sup>	346,32 <sup>a</sup>	352,97 <sup>a</sup>	366,30°
			100% HC	350,76 <sup>a</sup>	346,32 <sup>a</sup>	331,33 <sup>a</sup>	374,62 <sup>a</sup>
E4	DADII	252 208	Base	348,54 <sup>a</sup>	352,98 <sup>a</sup>	341,32 <sup>a</sup>	351,31 <sup>a</sup>
$(2,00 \times 4,00 \text{ m})$	DAPII	353,39 <sup>a</sup>	DAP	347,99 <sup>a</sup>	338,00 <sup>b</sup>	316,35°	389,61 <sup>a</sup>
246 0.7ab			50% HC	356,31 <sup>a</sup>	361,31 <sup>a</sup>	357,97°	349,65 <sup>a</sup>
346,87 <sup>ab</sup>			100% HC	360,75 <sup>a</sup>	351,31 <sup>a</sup>	372,96ª	357,98°
	DARW	241.042	Base	327,45 <sup>a</sup>	329,67 <sup>a</sup>	314,68 <sup>a</sup>	$338,00^{a}$
	DAP III	341,04 <sup>a</sup>	DAP	341,88 <sup>a</sup>	319,68 <sup>a</sup>	369,63 <sup>a</sup>	336,33ª
			50% HC	343,55 <sup>a</sup>	336,33°	351,31 <sup>a</sup>	342,99 <sup>a</sup>
			100% HC	351,31 <sup>a</sup>	334,66 <sup>a</sup>	369,63 <sup>a</sup>	349,65 <sup>a</sup>

<sup>(\*)</sup> Médias seguidas da mesma letra em cada coluna não diferem entre si ao nível de 5% de probabilidade.

QUADRO 3 - Valores médios de diâmetro dos vasos estimados para os espaçamentos, classes de diâmetro, posição na árvore e no disco.

ESPAÇAMENTO	Classe de	Diâmetro	Posição	na árvore		Posição no disco	
ESTAÇAIVIENTO	Classe uc	Diametro	i osição i		0% raio	50% raio	100% raio
			Base	111,37 <sup>b</sup>	75,40 <sup>b</sup>	128,70 <sup>a</sup>	$130,00^{a}$
	DAPI	$123,06^{a}$	DAP	130,87 <sup>a</sup>	109,85°	129,35 <sup>b</sup>	$153,40^{a}$
			50% HC	128,48 <sup>a</sup>	94,25 <sup>b</sup>	$146,25^{a}$	144,95°
			100% HC	121,55 <sup>ab</sup>	85,15 <sup>b</sup>	137,80°	141,70 <sup>a</sup>
El			Base	90,57°	72,15 <sup>b</sup>	75,40 <sup>b</sup>	124,15 <sup>a</sup>
$(1,00 \times 1,33 \text{ m})$	DAPII	110,98 <sup>b</sup>	DAP	112,45 <sup>b</sup>	104,65 <sup>b</sup>	110,50 <sup>ab</sup>	$122,20^{a}$
			50% HC	106,82 <sup>b</sup>	80,60 <sup>b</sup>	113,75 <sup>a</sup>	$126, 10^{a}$
116,53 <sup>a</sup>			100% HC	134,12 <sup>a</sup>	122,85 <sup>a</sup>	$137,80^{a}$	$141,70^{a}$
			Base	87,53 <sup>b</sup>	76,05 <sup>b</sup>	79,95 <sup>b</sup>	106,60a
	DAP III	115,53 <sup>b</sup>	DAP	120,68 <sup>a</sup>	$101,40^{b}$	$122,85^{a}$	$137,80^{a}$
			50% HC	129,57 <sup>a</sup>	128,70 <sup>a</sup>	$131,95^{a}$	$128,05^{a}$
			100% HC	124,37 <sup>a</sup>	115,05 <sup>b</sup>	122,85 <sup>ab</sup>	$135,20^{a}$
			Base	111,58 <sup>b</sup>	100,10 <sup>b</sup>	105,30 <sup>b</sup>	129,35 <sup>a</sup>
	DAPI	$109,79^{b}$	DAP	111,15 <sup>a</sup>	$102,70^{a}$	$111,15^{a}$	119,60°
		,	50% HC	123,28 <sup>a</sup>	120,25 <sup>a</sup>	$122,85^{a}$	$126,75^{a}$
			100% HC	138,02 <sup>ab</sup>	133,90 <sup>a</sup>	$136,50^{a}$	143,65 <sup>a</sup>
E2			Base	92,95ª	83,85ª	96,20 <sup>a</sup>	98,80ª
$(1,00 \times 2,00 \text{ m})$	DAP II	$121,00^{a}$	DAP	108,33 <sup>b</sup>	99,45 <sup>a</sup>	$110,50^{a}$	115,05°
(1,00 2,00)		121,00	50% HC	116,35 <sup>ab</sup>	106,60°	120,25 <sup>a</sup>	$122,20^{a}$
116,72 <sup>a</sup>			100% HC	121,55 <sup>a</sup>	115,05 <sup>a</sup>	122,85 <sup>a</sup>	126,75 <sup>a</sup>
110,72	DAP III		Base	113,97 <sup>b</sup>	107,25 <sup>a</sup>	115,79 <sup>a</sup>	118,95°
		119,38 <sup>a</sup>	DAP	112,02 <sup>b</sup>	107,25 103,35 <sup>a</sup>	116,35°	116,35 <sup>a</sup>
	Din in	117,50	50% HC	121,50 <sup>ab</sup>	112,45 <sup>a</sup>	120,25 <sup>a</sup>	131,95 <sup>a</sup>
			100% HC	130,00°	117,65 <sup>b</sup>	132,60 <sup>ab</sup>	139,75°
			Base	93,17 <sup>a</sup>	64,35 <sup>b</sup>	103,35 <sup>a</sup>	111,80°
	DAP I 118,8	118,84ª	DAP	117,65 <sup>b</sup>	113,10 <sup>a</sup>	117,65 <sup>a</sup>	122,20 <sup>a</sup>
	DALL	110,04	50% HC	129,13 <sup>ab</sup>	117,00 <sup>b</sup>	131,95 <sup>ab</sup>	138,45 <sup>a</sup>
			100% HC	125,13 135,42 <sup>a</sup>	130,00°	136,50 <sup>a</sup>	139,75°
E3	_		Base	99,88 <sup>b</sup>	92,30 <sup>b</sup>	94,90 <sup>b</sup>	112,45°
$(2,00 \times 2,00 \text{ m})$	DAP II	117,65 <sup>a</sup>	DAP	106,82 <sup>b</sup>	102,05 <sup>a</sup>	105,30°	112,43 113,10 <sup>a</sup>
(2,00 X 2,00 III)	DAFII	117,03	50% HC	130,43 <sup>a</sup>	$102,03$ $123,50^{a}$	133,35°	113,10 134,55 <sup>a</sup>
119,38 <sup>a</sup>			100% HC	130,43 133,47 <sup>a</sup>	124,80 <sup>a</sup>	131,95°	143,65°
119,56			Base	108,77 <sup>b</sup>	107,25 <sup>a</sup>	109,20 <sup>a</sup>	143,03 109,85 <sup>a</sup>
	DAP III	121,65 <sup>a</sup>	DAP	113,10 <sup>b</sup>	107,23 102,05 <sup>a</sup>	113,10 <sup>a</sup>	109,83 124,15°
	DAIIII	121,03	50% HC	132,17 <sup>a</sup>	102,03 128,70 <sup>a</sup>	133,90°	124,13 133,90 <sup>a</sup>
			100% HC	132,17 132,60 <sup>a</sup>	131,95 <sup>a</sup>	135,70 126,75 <sup>a</sup>	139,10°
				98,37 <sup>b</sup>	78,00 <sup>b</sup>	101,40 <sup>a</sup>	115,60°
	DADI	116,62ª	Base DAP	103,78 <sup>b</sup>	90,35 <sup>b</sup>		
	DAPI	110,02	50% HC	103,78 131,08 <sup>a</sup>	125,45°	$104,00^{ab}$	117,00°
			100% HC	131,08 133,25 <sup>a</sup>	$123,+3$ $128,70^{a}$	132,60 <sup>a</sup>	135,20 <sup>a</sup>
E4					99,45 <sup>b</sup>	131,30°	139,75°
E4	DARII	110 003	Base	110,93°		115,70 <sup>ab</sup>	117,65°
(2,00 x 4,00 m)	DAP II	119,00°	DAP	112,88 <sup>cb</sup>	98, 15 <sup>b</sup>	118,95 <sup>ab</sup>	121,55°
110 728			50% HC	128,92 <sup>a</sup>	125,45 <sup>a</sup>	130,00°	131,30°
118,73 <sup>a</sup>			100% HC	123,28 <sup>ab</sup>	115,70 <sup>b</sup>	120,25 <sup>ab</sup>	133,90°
	DARW	100	Base	104,87 <sup>b</sup>	94,25 <sup>a</sup>	108,55 <sup>a</sup>	111,80°
	DAP III	$120,57^{a}$	DAP	113,10 <sup>b</sup>	102,05 <sup>a</sup>	113,75 <sup>a</sup>	123,50°
			50% HC	133,47 <sup>a</sup>	131,95 <sup>a</sup>	132,60 <sup>a</sup>	135,85 <sup>a</sup>
	0		100% HC	130,87 <sup>a</sup>	124,80°	128,05 <sup>a</sup>	139,75°

<sup>(\*)</sup> Médias seguidas da mesma letra em cada coluna não diferem entre si ao nível de 5% de probabilidade.

QUADRO 4 - Valores médios de frequência dos vasos por mm², estimados para espaçamentos, classes de diâmetro, posição na árvore e no disco.

ESPAÇAMENTO	Classe de	Diâmetro	Posição i	na árvore	0% raio	Posição no disco 50% raio	100% raio
			Base	23,90 <sup>ab</sup>	25,65°	23,10 <sup>a</sup>	22,95°
	DAPI	23,51 <sup>a</sup>	DAP	21,78 <sup>b</sup>	23,05 <sup>a</sup>	$21,40^{a}$	$20,90^{a}$
	J	20,01	50% HC	23,15 <sup>ab</sup>	24,10 <sup>a</sup>	22,80 <sup>a</sup>	22,55°
			100% HC	25,20 <sup>a</sup>	27,35 <sup>a</sup>	25,65 <sup>a</sup>	$22,60^{a}$
El			Base	19,47 <sup>bc</sup>	21,85 <sup>a</sup>	19,05 <sup>ab</sup>	17,50 <sup>b</sup>
$(1,00 \times 1,33 \text{ m})$	DAP II	20,05 <sup>b</sup>	DAP	18,37°	19,35 <sup>a</sup>	18,15 <sup>a</sup>	17,60 <sup>a</sup>
(1,00 x 1,33 m)	DAI II	20,03	50% HC	22,02 <sup>a</sup>	24,60 <sup>a</sup>	20,75 <sup>b</sup>	$20,70^{\rm b}$
21,31 <sup>a</sup>			100% HC	20,35 <sup>ab</sup>	$22,40^{a}$	20,75 20,00 <sup>ab</sup>	18,60 <sup>b</sup>
21,51			Base	19,33 <sup>b</sup>	20,25 <sup>a</sup>	19,00°	18,75 <sup>a</sup>
	DAP III	$20,38^{b}$	DAP	21,78 <sup>a</sup>	24,20 <sup>a</sup>	21,60 <sup>ab</sup>	19,55 <sup>b</sup>
	DAI III	20,36	50% HC	19,42 <sup>b</sup>	21,80 <sup>a</sup>	18,55 <sup>b</sup>	17,90 <sup>b</sup>
			100% HC	20,98 <sup>ab</sup>	$24,05^{a}$	20,70 <sup>b</sup>	17,50 <sup>b</sup>
	_			19,10 <sup>b</sup>	20,25 <sup>a</sup>	18,85 <sup>a</sup>	18,20 <sup>a</sup>
	DAPI	20,52 <sup>b</sup>	Base DAP	19,10 19,47 <sup>b</sup>	$20,25$ $20,85^{a}$	18,90°	18,20 18,65°
	DAPI	20,32	50% HC	20,88 <sup>ab</sup>	$20,85$ $21,55^{a}$	21,05°	$20,05^{a}$
				20,88 22,62 <sup>a</sup>			20,03 21,15 <sup>a</sup>
Fa	_		100% HC		24,10 <sup>a</sup>	22,60 <sup>a</sup>	21,13
E2	DADII	25.058	Base	26,67 <sup>a</sup>	31,00°	26,20 <sup>b</sup>	22,80 <sup>b</sup>
$(1,00 \times 2,00 \text{ m})$	DAP II	25,85 <sup>a</sup>	DAP	24,98ª	25,65 <sup>a</sup>	25,30 <sup>a</sup>	24,00°
01.403			50% HC	25, 12 <sup>a</sup>	27,10 <sup>a</sup>	26,00°	22,25 <sup>b</sup>
21,43 <sup>a</sup>	_		100% HC	26,62 <sup>a</sup>	28,35 <sup>a</sup>	25,80°a	25,70°
	DAP III 17,9		Base	18,18 <sup>ab</sup>	18,20°	18,20 <sup>a</sup>	18,15°
		17,94°	DAP	17,50 <sup>ab</sup>	18,20 <sup>a</sup>	$18,05^{a}$	16,25°
			50% HC	17,17 <sup>b</sup>	17,55 <sup>a</sup>	$17,30^{a}$	$16,65^{a}$
			100% HC	18,90°	19,65 <sup>a</sup>	19,10 <sup>a</sup>	17,95°
			Base	19,72 <sup>a</sup>	20,00°	19,95 <sup>a</sup>	$19,20^{a}$
	DAPI	$20,07^{a}$	DAP	20,07 <sup>a</sup>	$20,95^{a}$	20,05°	$19,20^{a}$
			50% HC	20,15 <sup>a</sup>	21,75°	19,75 <sup>ab</sup>	$18,95^{b}$
			100% HC	20,35 <sup>a</sup>	20,80°	20,55°	19,70°
<b>E</b> 3			Base	21,27 <sup>a</sup>	$21,80^{a}$	21,40 <sup>a</sup>	$20,60^{a}$
$(2,00 \times 2,00 \text{ m})$	DAP II	19,96°	DAP	21,07 <sup>a</sup>	$21,85^{a}$	21,10 <sup>a</sup>	$20,25^{a}$
			50% HC	18,00 <sup>b</sup>	18,85°	$18,30^{a}$	$16,85^{a}$
19,89°			100% HC	19,52 <sup>ab</sup>	22,30°	20,65 <sup>a</sup>	15,60 <sup>b</sup>
			Base	18,55 <sup>a</sup>	19,00°	18,90°	17,75°
	DAP III	$19,65^{a}$	DAP	20,08 <sup>a</sup>	$24,05^{a}$	18,65 <sup>b</sup>	$17,55^{b}$
			50% HC	19,58 <sup>a</sup>	21,45 <sup>a</sup>	$19,30^{ab}$	$18,00^{b}$
			100% HC	20,40 <sup>a</sup>	21,75 <sup>a</sup>	$20,75^{ab}$	$18,70^{b}$
			Base	21,48 <sup>a</sup>	22,30°	22,25 <sup>a</sup>	19,90°
	DAP I	19,99 <sup>b</sup>	DAP	19,23 <sup>b</sup>	20,35 <sup>a</sup>	$19,40^{a}$	$17,93^{a}$
			50% HC	20,30 <sup>ab</sup>	22,25 <sup>a</sup>	19,85°	$18,80^{a}$
			100% HC	18,97 <sup>b</sup>	19,40 <sup>a</sup>	18,60°	$18,30^{a}$
E4			Base	19,48 <sup>a</sup>	21,10 <sup>a</sup>	19,70 <sup>ab</sup>	17,65 <sup>b</sup>
$(2,00 \times 4,00 \text{ m})$	DAP II	$20,06^{b}$	DAP	21,32 <sup>a</sup>	22,90 <sup>a</sup>	$21,05^{a}$	$20,00^{a}$
(2,00 1. 1,00 11.)			50% HC	19,05 <sup>a</sup>	21,15 <sup>a</sup>	$18,05^{a}$	17,95 <sup>a</sup>
20,62 <sup>b</sup>			100% HC	20,38 <sup>a</sup>	22,20 <sup>a</sup>	21,05 <sup>a</sup>	$17,90^{b}$
			Base	21,33 <sup>a</sup>	24,45ª	20,35 <sup>b</sup>	19,20 <sup>b</sup>
	DAP III	21,80 <sup>a</sup>	DAP	21,27 <sup>a</sup>	23,25 <sup>a</sup>	22,25 <sup>a</sup>	18,30 <sup>b</sup>
		,	50% HC	22,15 <sup>a</sup>	23,05 <sup>a</sup>	22,85 <sup>a</sup>	$20,55^{a}$
			100% HC	22,45 <sup>a</sup>	22,95 <sup>a</sup>	22,45 <sup>a</sup>	21,95 <sup>a</sup>

<sup>(\*)</sup> Médias seguidas da mesma letra em cada coluna não diferem entre si ao nível de 5% de probabilidade.

No sentido longitudinal pode-se verificar que não houve um padrão geral para a freqüência de vasos/mm². No entanto, percebe-se uma tendência onde, da base para o DAP há um decréscimo, crescendo a partir de 50% da altura total em direção ao topo, ou seja, os maiores valores dessa variável se encontram na parte superior do tronco. Resultado semelhante foi observado por NGUYEN (1977) para Eucalytpus dalrympleana e por ZASADA & ZAHNER (1969) para red oak. Entretanto, DAVIDSON (1972), verificou para Eucalyptus deglupta que o número de vasos por unidade de área permanece constante ou há uma variação imprevisível da base para o topo.

No sentido radial observando os resultados, verifica-se que independentemente do espaçamento, classe de diâmetro ou altura na árvore, a freqüência dos vasos/mm² decresce da medula para a casca. Esse resultado concorda com aquele observado por TOMAZELLO FILHO (1984, 1985 e 1987). No entanto, SÁRKÁNY et al. (1957) observaram uma "queda" nítida do número de vasos nos primeiros 4 anos em *Populus canadensis* e DAVIDSON (1972) verificou que nos primeiros 8 cm o número de vasos/mm² decresce nitidamente a partir do que esse decréscimo passa a ser mais gradual.

A análise de variância observada na QUADRO 5, para as medições de raios em função dos espaçamentos, classes de diâmetro, posição na árvore e posição no disco, mostra valores de F altamente significativos para a maioria das variáveis estudadas. O valor de F significativo ao nível de 5% de probabilidade foi detectado para classes de DAP, para a variável largura em μm e posição no disco. O valor encontrado para a variável altura em μm não foi significativo.

Analisando os valores para frequência de raios/mm (QUADRO 6) pode-se verificar que entre os

espaçamentos estudados, o espaçamento E3 apresenta a maior média e difere estatisticamente das demais. Os espaçamentos E2 e E4 apresentaram médias que não difieriram entre si, mas foram superiores a E1.

Através dos resultados obtidos, verificou-se que o número de raios/mm em função do espaçamento, apresentou uma variação estatística, embora não tenha sido possível verificar uma tendência padrão.

Apesar da significância dos valores observados para as classes de diâmetro, verifica-se que não houve uma tendência de variação entre os diferentes diâmetros estudados.

No sentido longitudinal, não houve uma tendência nítida; entretanto, para a maioria das árvores, o valor encontrado na base foi maior do que aquele encontrado no topo.

Na direção radial, não se observou uma tendência que caracteriza a variação no sentido medula casca; entretanto, verificou-se que o valor na região próxima à medula tende a ser menor do que na região próxima à casca, apesar dos resultados não apresentarem diferenças estatísticas significativas.

Através da QUADRO 7, verifica-se que a largura dos raios em µm não apresenta uma tendência padrão em relação aos espaçamentos e classes de diâmetro, apesar das diferenças estatísticas encontradas.

No sentido longitudinal, não ficou configurada uma tendência, apesar disso verifica-se que ao comparar os valores encontrados na base com os do topo, os maiores valores dessa variável encontram-se, na sua maioria, na altura da base.

Na direção radial, os maiores valores encontrados da largura dos raios em μm foram observados na região próxima à casca, quando comparada aos valores da região próxima à medula, para a maioria dos resultados.

QUADRO 5 - Valores de coeficiente de variação para as medições de raios.

	RAIOS					
	Freqüência/mm	Largura (µm)	Altura (µm)			
CV	F	F	F			
Espaçamento	16,80**	22,12**	24,59**			
Classes de DAP	21,17**	2,03*	8,15**			
Posição na árvore	9,47*	5,05**	5,55**			
Posição no disco	3,45**	9,50**	1,26 <sup>NS</sup>			

<sup>(\*)</sup> Significativo ao nível de 5% de probabilidade.

<sup>(\*\*)</sup> Significativo ao nível de 1% de probabilidade.

<sup>(</sup>NS) Não significativo.

QUADRO 6 - Valores médios de freqüência dos raios/mm estimados para espaçamentos, classes de diâmetro, posição na árvore e no disco.

ESPAÇAMENTO	Classe de Diâmetro		Posição na árvore		Posição no disco		
	Classe de	Diametro	1 Osição i		0% raio	50% raio	100% raio
E1 (1,00 x 1,33 m) 7,55°			Base	6,43 <sup>b</sup>	$6,35^{a}$	$6,30^{a}$	$6,65^{a}$
	DAPI	7,07°	DAP	$7,60^{a}$	$7,85^{a}$	$7,70^{a}$	$7,25^{a}$
		7,07	50% HC	6,95 <sup>ab</sup>	$7,00^{a}$	$7,20^{a}$	$6,65^{a}$
			100% HC	$7,33^{a}$	$8,90^{a}$	$6,45^{b}$	$6,65^{b}$
	DAP II	8,10 <sup>a</sup>	Base	7,70 <sup>b</sup>	7,80 <sup>a</sup>	7,55ª	7,75°
			DAP	8,93 <sup>a</sup>	8,50 <sup>a</sup>	9,20 <sup>a</sup>	$9,10^{a}$
			50% HC	7,95 <sup>b</sup>	8, 15 <sup>a</sup>	7,65°	8,05°
			100% HC	7,83 <sup>b</sup>	8,75°	7,25 <sup>b</sup>	$7,50^{ab}$
			Base	7,27 <sup>a</sup>	7,40 <sup>a</sup>	6,80°	7,60°
	DAP III	7,47 <sup>b</sup>	DAP	7,42 <sup>a</sup>	7,30 <sup>a</sup>	7,45°	$7,50^{a}$
			50% HC	7,87 <sup>a</sup>	7,60°	7,65°	8,35 <sup>a</sup>
			100% HC	7,33 <sup>a</sup>	7,45 <sup>a</sup>	$7,60^{a}$	6,95°
	-		Base	8,23 <sup>a</sup>	8,30°	8,65°	7,75°
	DAP I	7,79 <sup>b</sup>	DAP	6,67 <sup>b</sup>	$6,70^{a}$	$7,00^{a}$	$6,30^{a}$
	DAFI	1,19	50% HC	7,55 <sup>a</sup>	$7,70^{a}$	7,00 7,95°	7,00°
			100% HC	7,33 7,87 <sup>a</sup>	8,35 <sup>a</sup>	7,93 7,90°	7,00 7,35 <sup>a</sup>
F2	-						
E2	DAP II	7,57 <sup>b</sup>	Base	8,23 <sup>a</sup>	$8,10^{a}$	8,65 <sup>a</sup>	7,95°
(1,00 x 2,00 m)			DAP	7,02 <sup>b</sup>	$7,10^{a}$	6,70 <sup>a</sup>	7,25 <sup>a</sup>
			50% HC	8,12 <sup>a</sup>	8,40 <sup>a</sup>	$8,40^{a}$	7,55°
7,83 <sup>b</sup>			100% HC	7,82 <sup>a</sup>	7,85ª	7,75ª	7,85 <sup>a</sup>
	DAP III	8,12ª	Base	8,78 <sup>a</sup>	$8,80^{a}$	$8,80^{a}$	8,75°
			DAP	7,30 <sup>b</sup>	$7,35^{a}$	$7,65^{a}$	$6,90^{a}$
			50% HC	8,28 <sup>a</sup>	$9,00^{a}$	7,95 <sup>a</sup>	$7,90^{a}$
			100% HC	8,15 <sup>a</sup>	7,95 <sup>a</sup>	$8,70^{a}$	$7,80^{a}$
	DAP I	8,13ª	Base	8,53 <sup>a</sup>	8,30 <sup>b</sup>	9,45 <sup>a</sup>	7,85 <sup>b</sup>
			DAP	8,35 <sup>ab</sup>	8,60°	$7,30^{b}$	9, 15 <sup>a</sup>
	_		50% HC	7,89 <sup>ab</sup>	7,75 <sup>a</sup>	$7,90^{a}$	8,00°
			100% HC	$7,77^{\rm b}$	$7,80^{a}$	$7,90^{a}$	7,60°
E3	DAP II	8,10 <sup>a</sup>	Base	8,12 <sup>a</sup>	7,95 <sup>a</sup>	8,25 <sup>a</sup>	8, 15 <sup>a</sup>
(2,00 x 2,00 m) 8,08 <sup>a</sup>			DAP	8,07 <sup>a</sup>	7,55 <sup>a</sup>	$8,40^{a}$	8,25 <sup>a</sup>
			50% HC	8,02ª	$8,00^{a}$	$7,85^{a}$	$8,20^{a}$
	-		100% HC	8,22a	8,45 <sup>a</sup>	$8,10^{a}$	$8,10^{a}$
			Base	8,82ª	8,95ª	8,70ª	8,80ª
	DAP III	8,02°	DAP	6,98 <sup>b</sup>	6,85°	$7,00^{a}$	$7,10^{a}$
		~,~ <b>~</b>	50% HC	8,18 <sup>a</sup>	7,95°	8,60°	$8,00^{a}$
			100% HC	$8,10^{a}$	8,55 <sup>a</sup>	8,00°	7,75°
E4 (2,00 x 4,00 m) 7,71 <sup>b</sup>			Base	8,42 <sup>a</sup>	8,20 <sup>a</sup>	8,40 <sup>a</sup>	8,65 <sup>a</sup>
	DAP I 8	8,38 a	DAP	8,30 <sup>a</sup>	9,25°	7,95 <sup>a</sup>	7,70 <sup>b</sup>
		0,50	50% HC	8,55 <sup>a</sup>	8,80°	8,60°	8,25 <sup>a</sup>
			100% HC	8,27 <sup>a</sup>	8,05°	8,40 <sup>a</sup>	$8,35^{a}$
			Base	7,75 <sup>a</sup>	7,70°	7,50°	8,05 <sup>a</sup>
	DAP II 7,67 <sup>b</sup>	DAP	7,73 7,93 <sup>a</sup>	7,70 7,80 <sup>a</sup>	8,20°	$7,80^{a}$	
		7,07	50% HC	7,93 7,72 <sup>a</sup>	7,80 7,95°	7,65°	7,80 $7,55^{a}$
				$\begin{bmatrix} 7,72\\7,32^a \end{bmatrix}$	7,93 7,35 <sup>a</sup>	7,03 7,35 <sup>a</sup>	7,33 7,25°
		-	100% HC	7,32 7,13 <sup>ab</sup>			
	DADIII	7.000	Base		$6,85^{a}$	$7.00^{a}$	7,55°
	DAP III	7,08°	DAP	7,48 <sup>a</sup>	$7,40^{a}$	7,05°	8,00°
			50% HC	7,10 <sup>ab</sup>	$6.85^{a}$	7,40 <sup>a</sup>	7,05°
			100% HC	6,63 <sup>b</sup>	$6.85^{a}$	$6.75^{a}$	$6,30^{a}$

<sup>(\*)</sup> Médias seguidas da mesma letra em cada coluna não diferem entre si ao nível de 5% de probabilidade.

QUADRO 7 - Valores médios de largura dos raios em micrômetro (μm), estimados para espaçamentos, classes de diâmetro, posição na árvore e no disco.

ESPAÇAMENTO	Classe de Diâmetro		Posição na árvore		Posição no disco		
LUI AÇAMENTO	Classe de	Diametro		VII. V.	0% raio	50% raio	100% raio
E1 (1,00 x 1,33 m) 27,58 <sup>a</sup>	DAP I		Base	32,28 <sup>a</sup>	24,05 <sup>b</sup>	37,70 <sup>a</sup>	$35,20^{a}$
		$27,35^{a}$	DAP	27,73 <sup>b</sup>	$25,35^{b}$	24,05 <sup>b</sup>	$33,80^{a}$
			50% HC	25,13 <sup>b</sup>	27,95 <sup>a</sup>	$23,40^{a}$	$24,05^{a}$
	2-		100% HC	24,27 <sup>b</sup>	$26,00^{a}$	23,40 <sup>a</sup>	$23,40^{a}$
			Base	30,77 <sup>a</sup>	28,60°	31,85°	31,85°
	DAP II	$27,78^{a}$	DAP	29,25 <sup>ab</sup>	$27,95^{a}$	29,90 <sup>a</sup>	$29,90^{a}$
			50% HC	25,13 <sup>a</sup>	$24,70^{a}$	$26,00^{a}$	$24,70^{a}$
	Ų.		100% HC	26,00 <sup>ab</sup>	$26,00^{a}$	$27,30^{a}$	$24,70^{a}$
			Base	27,95 <sup>ab</sup>	27,30°	28,60°	27,95°
	DAP III	27,62 <sup>a</sup>	DAP	29,90 <sup>a</sup>	27,95°	27,95 <sup>a</sup>	$33,80^{a}$
		•	50% HC	26,87 <sup>ab</sup>	25,35 <sup>b</sup>	$26,00^{ab}$	29,25 <sup>a</sup>
			100% HC	25,78 <sup>a</sup>	26,00 <sup>a</sup>	$26,00^{a}$	$25,35^{a}$
			Base	26,22ª	26,65ª	26,65ª	25,35 <sup>a</sup>
	DAP I	24,26 <sup>a</sup>	DAP	25,13 <sup>a</sup>	22,75 <sup>a</sup>	27,30 <sup>a</sup>	25,35°
		,	50% HC	23,40 <sup>a</sup>	$22,10^{a}$	$22,10^{a}$	$26,00^{a}$
			100% HC	24,27 <sup>a</sup>	$23,40^{a}$	25,35 <sup>a</sup>	$24,05^{a}$
E2			Base	23,62 <sup>b</sup>	20,80 <sup>b</sup>	26,65 <sup>a</sup>	23,40 <sup>ab</sup>
$(1,00 \times 2,00 \text{ m})$	DAP II	24,75 <sup>a</sup>	DAP	$23,02$ $23,40^{a}$	24,05°	24,05°	$23,40$ $22,10^{a}$
(1,00 X 2,00 III)	DALII	24,73	50% HC	25,78 <sup>a</sup>	26,65°	25,35°	$25,10$ $25,35^{a}$
24,79°			100% HC	24,27 <sup>a</sup>	$24,70^{a}$	$23,40^{a}$	$23,33$ $24,70^{a}$
24,79				24,27 26,87 <sup>a</sup>	$\frac{24,70}{27,30^{a}}$	·	
	DADIII	25,35°	Base DAP	26,87 24,48 <sup>ab</sup>		26,00°	27,30°
	DAP III	25,35		24,48	$22,10^{a}$	24,05 <sup>a</sup>	27,30°
			50% HC	26,65 <sup>ab</sup>	26,00°	26,00°	27,95 <sup>a</sup>
			100% HC	23,40 <sup>b</sup>	24,05ª	24,70 <sup>a</sup>	21,45 <sup>a</sup>
		b	Base	23,83ª	26,00°	23,40 <sup>a</sup>	$22,10^{a}$
	DAP I	24,91 <sup>b</sup>	DAP	25,78 <sup>a</sup>	$23.40^{a}$	25,35°	$28,60^{a}$
			50% HC	26,00°	$24,70^{a}$	26,65°	26,65°
			100% HC	24,05 <sup>a</sup>	24,70°	23,40 <sup>a</sup>	24,05°
E3			Base	27,30 <sup>ab</sup>	22,10 <sup>b</sup>	$30,55^{a}$	29,25°
$(2,00 \times 2,00 \text{ m})$	DAP II	26,65°	DAP	28,38 <sup>a</sup>	$29,90^{a}$	$26,00^{a}$	$29,25^{a}$
-6.			50% HC	24,92 <sup>b</sup>	$24,05^{a}$	$26,00^{a}$	$24,70^{a}$
25,78 <sup>b</sup>			100% HC	26,00 <sup>ab</sup>	$24,05^{a}$	$27,30^{a}$	$26,65^{a}$
			Base	26,22 <sup>a</sup>	25,35 <sup>a</sup>	27,95 <sup>a</sup>	25,35 <sup>a</sup>
	DAP III	25,78 <sup>ab</sup>	DAP	25,35 <sup>a</sup>	22,75 <sup>a</sup>	26,65 <sup>a</sup>	$26,65^{a}$
			50% HC	26,43 <sup>a</sup>	26,65 <sup>a</sup>	25,35 <sup>a</sup>	$27,30^{a}$
			100% HC	25,13 <sup>a</sup>	24,05 <sup>a</sup>	26,65 <sup>a</sup>	$24,70^{a}$
E4 (2,00 x 4,00 m) 25,49 <sup>bc</sup>			Base	27,08 <sup>a</sup>	23,40 <sup>b</sup>	31,85°	$26,00^{ab}$
	DAP I	25,62 <sup>a</sup>	DAP	23,62 <sup>b</sup>	25,35 <sup>a</sup>	25,35 <sup>a</sup>	$20,15^{b}$
		ĺ	50% HC	25,35 <sup>ab</sup>	$24,70^{a}$	$26,00^{a}$	25,35°
			100% HC	26,43 <sup>ab</sup>	$26,00^{a}$	27,30 <sup>a</sup>	$26,00^{a}$
			Base	27,08 <sup>a</sup>	27,95 <sup>a</sup>	27,30 <sup>a</sup>	26,00°
	DAP II 24,75 <sup>a</sup>	DAP	21,88 <sup>b</sup>	19,50°	20,15 <sup>a</sup>	$26,00^{a}$	
		21,75	50% HC	25,13 <sup>ab</sup>	$24,70^{a}$	25,35 <sup>a</sup>	25,35°
			100% HC	24,92 <sup>ab</sup>	$24,70$ $22,10^{a}$	26,00°	25,55° 26,65°
23,47			Base	24,92 $26,00^{a}$	22,75°	27,95°	27,30°
	DAP III	26,10 <sup>a</sup>	DAP	25,00 25,35 <sup>a</sup>	$22,75$ $20,15^{a}$		
	DAY III	20,10				27,30 <sup>a</sup>	$28,60^{a}$
			50% HC	26,43 <sup>a</sup>	26,00°	26,65°	26,65°
			100% HC	26,65 <sup>a</sup>	$26.00^{a}$	$28,60^{a}$	$25,35^{a}$

<sup>(\*)</sup> Médias seguidas da mesma letra em cada coluna não diferem entre si ao nível de 5% de probabilidade.

Apesar da variação dos valores obtidos da altura dos raios em µm, entre os espaçamentos (QUADRO 8), notou-se que não houve uma tendência definida na distribuição dos valores por

espaçamento, uma vez que tanto no menor espaçamento (1,00 x 1,33 m), quanto no maior espaçamento (2,00 x 4,00 m) foram encontrados os menores valores de altura dos raios em  $\mu$ m.

QUADRO 8 - Valores médios de altura dos raios em micrômetro (μm) estimados para espaçamentos, classes de diâmetro, posição na árvore e no disco.

ESPAÇAMENTO	Classe de Diâmetro		Posição na árvore		Posição no disco			
EST AÇAIVIENTÜ					0% raio	50% raio	100% rai	
E1 (1,00 x 1,33 m) 358,38 <sup>a</sup>	0		Base	298,78 <sup>a</sup>	287,30°	315,90°	293,15 <sup>a</sup>	
	DAP I	348,12 <sup>b</sup>	DAP	391,30°	397,15 <sup>a</sup>	362,70°	414,95°	
			50% HC	369,85 <sup>ab</sup>	352,95°	$370,50^{a}$	$386,10^{a}$	
			100% HC	332,58 <sup>bc</sup>	338,00°	$321,10^{a}$	338,65 <sup>a</sup>	
	DAP II	. 383,71 <sup>a</sup>	Base	327,82 <sup>b</sup>	321,10 <sup>a</sup>	332,15 <sup>a</sup>	330,20 <sup>a</sup>	
			DAP	432,03 <sup>a</sup>	484,90°	$386,10^{a}$	$425,10^{a}$	
			50% HC	387,40 <sup>a</sup>	345,15 <sup>a</sup>	383,50 <sup>a</sup>	433,55 <sup>a</sup>	
			100% HC	387,62 <sup>a</sup>	419,25 <sup>a</sup>	363,35 <sup>a</sup>	$380,25^{a}$	
			Base	347,32ª	399,65 <sup>b</sup>	355,55ab	386,75ª	
	DAP III	$343,30^{b}$	DAP	331,93 <sup>a</sup>	292,50 <sup>a</sup>	344,50°	$358,80^{a}$	
		,	50% HC	353,82ª	305,50°	375,70°	380,25 <sup>a</sup>	
			100% HC	340,17 <sup>a</sup>	336,05 <sup>a</sup>	328,90 <sup>a</sup>	355,55ª	
		373,75ª	Base	353,38 <sup>a</sup>	386,10 <sup>a</sup>	347,75°	326,30 <sup>a</sup>	
	DAP I		DAP	357,72 <sup>a</sup>	324,35 <sup>a</sup>	351,00°	397,80°	
	2.11	3,73,73	50% HC	390,43 <sup>a</sup>	383,50 <sup>a</sup>	399,10 <sup>a</sup>	388,70°	
			100% HC	395,85ª	406,90°	382,85 <sup>a</sup>	397,80°	
E2	_		Base	349,27 <sup>ab</sup>	348,40 <sup>a</sup>	367,90 <sup>a</sup>	331,50°	
(1,00 x 2,00 m)	DAP II	374,35 <sup>a</sup>	DAP	333,88°	344,50°	290,55°	366,60°	
(1,00 x 2,00 III)	DAI		50% HC	409,28 <sup>a</sup>	421,85°	427,70°	378,30°	
382,99ª	1		100% HC	409,28 402,57 <sup>ab</sup>	393,25 <sup>a</sup>	$427,70$ $410,80^{a}$	403,65°	
302,99	DAP III	400,89ª	Base			415,35°	393,90°	
				400,40 <sup>a</sup>	391,95 <sup>a</sup>			
			DAP	413,62°	433,55°	403,00°	404,30°	
			50% HC	413,83 <sup>a</sup>	418,60 <sup>a</sup>	420,55°	403,35°	
	-		100% HC	375,70°	371,80 <sup>a</sup>	375,05ª	380,25ª	
	DAP I	413,02°	Base	474,93°	523,25 <sup>a</sup>	482,30°	419,25°	
			DAP	376,13 <sup>b</sup>	385,45 <sup>a</sup>	386,10 <sup>a</sup>	356,85°	
			50% HC	396,28 <sup>b</sup>	404,95°	392,60°	391,30°	
			100% HC	404,73 <sup>b</sup>	396,50°	404,30 <sup>a</sup>	413,40 <sup>a</sup>	
E3	DAP II	399,75ª	Base	394,98ª	366,60°	412,10 <sup>a</sup>	406,25°	
(2,00 x 2,00 m)			DAP	397,80°	395,20°	413,40 <sup>a</sup>	384,80°	
			50% HC	398,45 <sup>a</sup>	397,15°	394,55°	403,65°	
404,22 <sup>a</sup>			100% HC	407,77 <sup>a</sup>	399,75ª	404,30°	419,25°	
	De la Contraction of		Base	417,08 <sup>a</sup>	445,25°	381,55°	424,45 <sup>a</sup>	
	DAP III	399,91ª	DAP	368,12 <sup>a</sup>	386,10 <sup>a</sup>	377,65°	340,60 <sup>a</sup>	
			50% HC	393,47 <sup>a</sup>	399,75°	399,75°	$380,90^{a}$	
			100% HC	420,98 <sup>a</sup>	411,45 <sup>a</sup>	430,30°	421,20 <sup>a</sup>	
E4 (2,00 x 4,00 m) 357,57 <sup>a</sup>			Base	366,17 <sup>a</sup>	343,20 <sup>ab</sup>	317,85 <sup>b</sup>	437,45 <sup>a</sup>	
	DAP I 396,	396,23 <sup>a</sup>	a DAP	428,78 <sup>a</sup>	405,60 <sup>a</sup>	456,95°	423,80°	
			50% HC	422,72 <sup>a</sup>	458,25 <sup>a</sup>	404,30 <sup>a</sup>	$405,60^{a}$	
			100% HC	367,25°	321,75 <sup>b</sup>	416,00°	364,00 <sup>ab</sup>	
	DAP II 346,99 <sup>b</sup>	Base	326,30 <sup>a</sup>	338,65ª	339,65ª	301,60 <sup>a</sup>		
		346,99 <sup>b</sup>	DAP	335,62ª	315,25 <sup>a</sup>	343,85 <sup>a</sup>	347,75 <sup>a</sup>	
		,	50% HC	357,07 <sup>a</sup>	366,60°	339,90°	365,30°	
			100% HC	368,98 <sup>a</sup>	369,20°	367,90°	369,85°	
			Base	318,93ª	296,40ª	321,75ª	338,65 <sup>a</sup>	
	DAP III	329,50 <sup>b</sup>	DAP	333,23 <sup>a</sup>	351,65 <sup>a</sup>	313,95°	$334,10^{a}$	
	2	,	50% HC	334,32 <sup>a</sup>	302,25°	333,45 <sup>ab</sup>	367,25°	
			20,0 110	001,04	~~, <b>~</b> ~	222,72	501,25	

<sup>(\*)</sup> Médias seguidas da mesma letra em cada coluna não diferem entre si ao nível de 5% de probabilidade.

Entre as classes de diâmetro também não se configurou uma tendência de variação.

No sentido longitudinal os maiores valores, para a maioria das árvores, foram observados no topo da árvore. Embora não se tenha caracterizado uma tendência de variação da base para o topo.

No sentido radial, não se verificou uma tendência de variação da medula para a casca, embora para a maioria das árvores encontrou-se maiores valores de altura dos raios em μm na região próxima à casca, quando comparado aos valores da região próxima à medula.

## 5 CONCLUSÕES

Os resultados obtidos permitem concluir que os espaçamentos e as classes de diâmetro não exerceram influência sobre as características das dimensões dos vasos e raios.

Os vasos, no sentido longitudinal, apresentaram: (i) o comprimento sem tendência definida e os menores valores foram encontrados na base; (ii) o diâmetro sem padrão definido, mas na base encontram-se os menores valores e os maiores a 50% da altura comercial, e (iii) a frequência (vasos/mm²) decresceu em direção ao topo.

Os vasos, no sentido radial, apresentaram: (i) o comprimento sem tendência definida, mas os menores valores médios foram detectados na região próxima à medula quando comparados aos da região próxima à casca; (ii) o diâmetro cresceu da medula para a casca, e (iii) a frequência decrescendo nesse sentido.

Os raios, no sentido longitudinal, apresentaram: (i) a freqüência (raios/mm) e a altura (em µm) com seus maiores valores médios no topo das árvores, e (iii) para a largura (em µm), os maiores valores médios na base.

Os raios, no sentido radial, apresentaram: (i) a frequência (raios/mm) com menores valores médios na região próxima à casca, e (ii) a altura (em µm) e a largura (em µm) com seus maiores valores médios na região próxima à casca.

### REFERÊNCIAS BIBLIOGRÁFICAS

ARULCHELVAM, K. 1971. Variation of fiber length and density in *Eucalyptus robusta* grown in Ceylon. *The Ceylon Forester*, 109(1/2):19-32.

- BARROS, D. P. 1970. Ensaio de espaçamento inicial para "aroeira". *Silvicultura*, São Paulo, 7:39-41.
- CARVALHO, A. de. 1962. *Madeira de eucalipto* (Eucalyptus globulus *Labile*). Lisboa, Direção Geral dos Serviços Florestais e Agrícolas. 162p. (Estudos e Divulgação Técnica)
- CLARK, S. H. 1930. Home grown timbers: their anatomical of structure and its relation to physical properties. *Bull. Elm. For. Prod. Res. Lab.*, London. (Proj., 9, Prog. Rep., 1)
- COPANT Comission Panamericana de Normas Tecnicas. 1974. Descripcion del características generales, macroscopicas de las maderas angiospermas dicotiledoneas. *COPANT*, (30):1-19.
- DADSWELL, H. E. 1958. Wood structure variations occurring during tree growth and their influence on properties. *J. Inst. Wood Sci.*, 1:11-33.
- DAVIDSON, J. 1972. Variation, association and inheritance of morphological and wood characters in an improvement program for Eucalyptus deglupta. Melbourne, Australian University. 263p. (Ph. D.)
- JOHANSEN, D. A. 1940. *Plant microtechniques*. New York, McGraw-Hill. 523p.
- MAEGLIN, R. R. 1974. The effect of site quality and growth rate on the anatomy and utilization potential of northern red oak. In: ANN. HARDWOOD SYMP., 2, Cashiers-North Carolina. p. 191-203.
- NGUYEN, T. V. 1977. Variation in vessel characteristics of Eucalyptus dalrympleana Maiden associated with sample position growth rate and climatic changes. Canberra, Aust. Nat. University. 134p.
- PRITCHARD, R. P. & BAILEY, I. W. 1916. The significance of certain variations in the anatomical structure of wood. *For. Quart.*, Ithaca, 14(4):662-72.
- RANATUNGA, M. S. 1964. A study of the fiber lengths of *Eucalyptus grandis* grown in Ceylon. *The Ceylon Forester*, 6(314):101-12.
- SÁRKÁNY, S.; STIEBER, J. & FILHO, Z. 1957. Investigation on the wood of Hungarian *Populus* species by means of quantitative xilotomy. *Ann. Univ. Sci. Buda (Sect. Bio)*, Budapest, (1):219-29.
- SCARAMUZZI, G. 1955. Dimensional data about fibers in *Populus* x euramericana (Dode) Guinier ev. "I-214". In: FAO/CIP 79-C 8<sup>th</sup> SESS. POPLAR COM., Madrid. 20p.

- FLÖRSHEIM, S. M. B.; TOMAZELLO FILHO, M. & SPEGIORIN, L. Variação das dimensões no sentido medula-casca e base-topo de árvores de "aroeira" *Myracrodruon urundeuva* F.F. & A.F. Allemão (Anacardiaceae). II. Vasos e raios.
- SCHUTZ-DEWITZ, G. 1960. Wie wirkt sich der Einflub der Stellung eines Baumes im Bestaud auf seine Holzstruktur aus? *Holzforsch Holzverwert*, 12:30-33.
- SHIMOYAMA, V. R. S. 1990. Variações da densidade básica e características anatômicas e químicas da madeira em Eucalyptus spp. Piracicaba, Escola Superior de Agricultura "Luiz de Queiroz". 93p. (Dissertação de Mestrado)
- STAUFFER, O. 1892. Untersuchungen uber spezifisches Trockengewicht, sowie anatomischen Bau des Holzes der Birke. *Forstl. Naturwiss Zeitschr.*, (1):145-63.
- TAYLOR, F. W. 1969a. *Variation in wood properties in sycamore*. Mississippi, Mississippi State Univ., For. Prod. Utiliz. Lab. 18p. (Res. Rep., 7)
- in pecan. Mississippi, Mississippi State Univ., For. Prod. Utiliz. Lab. 17p. (Res. Rep., 8)
- sygarberry. Mississippi, Mississippi State Univ., For. Prod. Utiliz. Lab. 17p. (Res. Rep., 11)
- TOMAZELLO FILHO, M. 1983. Variação dos constituintes anatômicos e da densidade básica da madeira de 8 espécies de eucalipto. Piracicaba, ESALQ/LCF. 102p.
- 1984. Variação radial da densidade básica e da estrutura anatômica da madeira de Eucalyptus gummifera, E. microcorys e E. pilularis. In: IUFRO MEETING ON PROPERTIES ON UTILIZATION OF TROPICAL TIMBERS, Manaus. 21p.
- básica e da estrutura anatômica da madeira de Eucalyptus saligna e E. grandis. IPEF, Piracicaba, (29):37-45.
- básica e da estrutura anatômica da madeira de Eucalyptus globulus, E. pelita e E. acmenioides. IPEF, Piracicaba, (36):35-42.
- VENTURA, A.; BERENGUT, G. & VICTOR, M. A. M. 1966. Características edafo-climáticas das dependências do Serviço Florestal do Estado de São Paulo. Silvicultura em São Paulo, São Paulo, 4/5(4):57-140.
- ZASADA, J. C. & ZAHNER, R. 1969. Vessel element development in the earlywood of red oak. *Can. J. Bot.*, Canada, 47(12):1965-71.
- ZOBEL, B. J. & BUIJTENEN, J. P. van. 1989. Wood variation. Its causes and control. Berlin, Springer Verlag. 363p. (Spring Series in Wood Science)

5) =

# DETERMINAÇÃO DE MODELOS PARA ESTIMATIVAS DE BIOMASSA DO TRONCO E DA COPA DE Acacia mangium\*

Ricardo Antonio de Arruda VEIGA\*\*
Maria Aparecida Mourão BRASIL\*\*
Carlos Marchesi de CARVALHO\*\*
Demétrio Vasco de TOLEDO FILHO\*\*\*

# **RESUMO**

Foram amostradas 152 árvores de *A. mangium* Willd em plantações experimentais com 94 meses de idade, em Botucatu, Estado de São Paulo, objetivando selecionar modelos para determinações de biomassa de tronco, folhas e ramos. Em 125 das árvores amostradas foram coletadas secções transversais dos troncos na base (0%) e a 25%, 50%, 75% e 100% da altura comercial, as quais foram processadas em laboratório para determinações da densidade básica da madeira e da densidade da casca. Em outras 27 árvores foram pesados separadamente ramos e folhas, e coletadas amostras para determinação das relações de peso entre matéria seca e matéria verde. Sete modelos de regressão, em função de DAP com casca ( $d_i$ ) e altura total ( $h_i$ ), foram testados para estimar: peso total de matéria seca do tronco com casca, peso total de matéria seca de folhas, peso total de matéria seca da copa. O modelo selecionado para as estimativas de biomassa ( $w_i$ ) do tronco com casca e dos ramos foi o de Meyer, modificado ( $w_i = \beta_0 + \beta_1 d_i + \beta_2 d_i^2 + \beta_3 d_i h_i + \beta_4 d_i^2 h_i + \epsilon$ ), e para as de biomassa das folhas e da copa foi o de Schumacher-Hall ( $l_n w_i = \beta_0 + \beta_1 l_n d_i + \beta_2 l_n h_i + \epsilon$ ).

Palavras-chave: Acacia mangium; equações de peso; modelos; biomassa; tronco; copa.

# 1 INTRODUÇÃO

A leguminosa florestal *A. mangium* vem sendo testada em alguns plantios experimentais no Brasil, ante a rusticidade, rapidez de crescimento e potencialidade para algumas das regiões do país.

Até recentemente, raros eram os trabalhos nacionais que se referiam a essa espécie, sobre a qual começam a ser publicados estudos em diferentes áreas do conhecimento. Podem ser citados, dentre outros, os de SILVA et al. (1996), comparando 18 procedências; DANIEL et al. (1997), analisando o

## **ABSTRACT**

A total of 152 trees were sampled in experimental plantation of 94-month old *A. mangium* Willd, in Botucatu, State of São Paulo, Brazil, to select models for stem, leaves and branches biomass determinations. Cross sections were collected in 125 sample trees at ground level (0%), 25%, 50%, 75% and at the merchantable-stem top diameter of 4.0 cm outside bark (100%), and were processed in laboratory to establish the wood basic density and the bark density. Another 27 trees were separated into the crown components of branches and leaves, which were weighted green, and samples were collected to determinate the dry mass/green mass ratios for those components. Seven regression models, based on diameter at breast height outside bark (d<sub>i</sub>) and tree total height (h<sub>i</sub>), were tested for biomass (w<sub>i</sub>) estimations of: total-stem wood dry weight outside bark; total leaves dry weight; total branches dry weight; total crown dry weight. The selected model for stem and branches biomass equations was the one from Meyer, modified (w<sub>i</sub> =  $\beta_0$  +  $\beta_1$ d<sub>i</sub> +  $\beta_2$ d<sub>i</sub><sup>2</sup> +  $\beta_3$ d<sub>i</sub>h<sub>i</sub> +  $\beta_4$ d<sub>i</sub><sup>2</sup>h<sub>i</sub> +  $\epsilon$ ), and for leaves and crown biomass was the one from Schumacher-Hall (l<sub>n</sub> w<sub>i</sub> =  $\beta_0$  +  $\beta_1$  l<sub>n</sub> d<sub>i</sub> +  $\beta_2$  l<sub>n</sub> h<sub>i</sub> +  $\epsilon$ ).

Key words: Acacia mangium; weight equations; models; biomass; stem; crown.

efeito do fósforo em mudas; CARVALHO *et al.* (1997), determinando equações para estimativas do peso de madeira sem casca.

Sendo espécie nitrificadora, serão de especial relevância estudos que analisem seu comportamento em comparação com outras essências florestais de rápido crescimento, em diferentes condições edafo-climáticas. Dentre as comparações, deverá haver interesse em se cotejar rendimentos em termos de peso da madeira e em termos de determinação do total de biomassa do tronco e copa.

<sup>(\*)</sup> Aceito para publicação em dezembro de 1999.

<sup>(\*\*)</sup> UNESP, Faculdade de Ciências Agronômicas, Departamento de Ciências Florestais, Caixa Postal 237, 18603-970, Botucatu, SP, Brasil.

<sup>(\*\*\*)</sup> Instituto Florestal, Caixa Postal 1322, 01059-970, São Paulo, SP, Brasil.

A literatura internacional reúne algumas publicações sobre quantificação de biomassa de A. mangium, podendo-se citar, dentre BERNHARD-REVERSAT et al. (1983) encontraram boa correlação entre DAP e o peso de matéria seca, aos 7 anos de idade, com biomassa total acima do solo entre 120 e 130 t/ha, similar às de plantações de eucalipto no mesmo tipo de solo; SCHUBERT & WHITESELL (1985) estudaram 28 espécies entre 2 e 5 anos de idade, constatando bom crescimento para essa espécie de acácia e sua tendência em apresentar troncos múltiplos; LIM (1985) descreveu, para amostra de apenas 6 árvores, a média de 64,1 kg de peso de matéria seca aos 3,5 anos de idade, com elevada correlação com o valor da circunferência à altura do peito; LIM & MOHD-BASRI (1985) determinaram a biomassa acima do solo de árvores com 3,5 anos de idade, relatando o valor médio de 54,4 t/ha; LIM (1986), em ensaio de fertilização, encontrou para uma amostra de 11 árvores a média anual de 18,2 t/ha, e analisando árvores de 4 anos de idade (LIM, 1988) obteve o valor de 80,4 t/ha de biomassa total acima do solo; DUDLEY & FOWNES (1992) selecionaram equações para essa espécie aos 2 anos de idade, sendo que a estimativa do peso da biomassa acima do solo foi determinada em função apenas da variável DAP, pois a variável altura não contribuiu de forma significativa para a regressão; LATIF & HABIB (1994) selecionaram equações de peso visando estimar o peso verde de toda a árvore, e os pesos de ramos, tronco e folhas, apresentando fatores de conversão para peso de matéria seca; TANOUCHI et al. (1994) determinaram a biomassa aos 5 anos de idade. encontrando o valor de 147 t/ha.

No Brasil, raros são os estudos sobre o assunto, caso do trabalho de CARVALHO *et al.* (1997) sobre equações de peso do tronco sem casca.

Ante essa lacuna na literatura nacional, são de relevância pesquisas que possibilitem caracterizar essa espécie em termos da biomassa da parte aérea de povoamentos. Daí a realização do presente trabalho, onde são conduzidos estudos sobre *A. mangium* referentes à seleção de modelos de regressão que permitam a estimativa da biomassa da árvore - do tronco com casca, das folhas e dos ramos - em função de variáveis envolvendo os respectivos valores de DAP e altura total.

# 2 MATERIAL E MÉTODOS

Foram amostradas 152 árvores de povoamento de *A. mangium* com 94 meses de idade, igualmente distribuídas aleatoriamente por classes de diâmetro, em área de Latossol Amarelo fase arenosa, em Botucatu - SP, implantado ao espaçamento original de 3 x 2 m.

As árvores amostradas tinham amplitude de variação de diâmetros de 4,0 a 16,0 cm de DAP com casca e de 6,0 a 17,8 m de altura total.

Em 125 das árvores-amostras foram coletadas secções transversais de troncos nas porções correspondentes à base (0%), 25%, 50%, 75% e 100% da altura comercial, considerando-se o diâmetro comercial de desponta de 4,0 cm com casca.

Para cada uma das secções foi determinada a densidade básica de madeira, em função dos respectivos valores de peso de matéria seca, obtidos em estufa, e volume saturado, determinado em balança hidrostática.

Foi também estimada a densidade média da casca correspondente a cada árvore.

Com base nas determinações de campo e de laboratório, foram calculados, para todas as unidades amostradas, os valores do peso total do tronco com casca a partir de seus volumes e densidades.

Nas demais 27 árvores-amostras foram realizadas determinações dendrométricas e coletado todo o material da copa, com pesagem das folhas e dos ramos. Foram também coletadas amostras para determinações das relações entre peso de matéria seca e peso de matéria verde, para estimativas individuais dos pesos totais de matéria seca das folhas e dos ramos.

Para a seleção de equações de peso, as variáveis estudadas foram as seguintes: peso total de matéria seca do tronco com casca (ptt<sub>i</sub>), peso total de matéria seca de folhas (ptfl<sub>i</sub>), peso total de matéria seca de ramos (ptr<sub>i</sub>) e peso total de matéria seca da copa (ptc<sub>i</sub>), este considerado como a soma dos valores correspondentes a ramos e folhas.

Para cada uma dessas variáveis dependentes foram cotejados os 7 modelos de equação de regressão relacionados na TABELA I, para estimativas de peso de matéria seca em função dos valores de DAP com casca (d<sub>i</sub>) e altura total (h<sub>i</sub>). Tratam-se de modelos clássicos, escolhidos dentre os utilizados por VEIGA (1984, 1992) e TIMONI et al. (1997).

TABELA 1 - Modelos de equações de regressão testados para seleção de equações para estimativa da biomassa de uma árvore, em termos de peso de matéria seca (w<sub>i</sub>), em g, em função dos valores de DAP (di), em cm, e altura total (hi), em m.

Modelos	Relação Funcional
Não logarítmicos	
Variável combinada, de Spurr	$\mathbf{w_i} = \beta_0 + \beta_1 \mathbf{d_i}^2 \mathbf{h_i} + \varepsilon$
2 Australiano, de Stoat	$\mathbf{w}_{i} = \beta_{0} + \beta_{1} \mathbf{d}_{i}^{2} + \beta_{2} \mathbf{h}_{i} + \beta_{3} \mathbf{d}_{i}^{2} \mathbf{h}_{i} + \varepsilon$
3 Meyer, modificado	$w_i = \beta_0 + \beta_1 d_i + \beta_2 d_i^2 + \beta_3 d_i h_i + \beta_4 d_i^2 h_i + \varepsilon$
4 Naslund	$\mathbf{w}_{i} = \beta_{0} + \beta_{1} \mathbf{d}_{i}^{2} + \beta_{2} \mathbf{d}_{i}^{2} \mathbf{h}_{i} + \beta_{3} \mathbf{d}_{i} \mathbf{h}_{i}^{2} + \beta_{4} \mathbf{h}_{i}^{2} + \varepsilon$
Logarítmicos	
5 Variável combinada logarítmica, de Spurr	$l_n w_i = \beta_0 + \beta_1 l_n (d_i^2 h_i) + \varepsilon$
6 Logarítmico de Schumacher-Hall	$l_n w_i = \beta_0 + \beta_1 l_n d_i + \beta_2 l_n h_i + \varepsilon$
7 Variável combinada logarítmica	$l_n w_i = \beta_0 + \beta_1 l_n (d_i h_i^2) + \varepsilon$

## 3 RESULTADOS

Os principais resultados correspondentes às equações de peso, para estimativas dos pesos totais de matéria seca do tronco, obtidos a partir de N=125 observações, e das folhas, dos ramos e do total da copa, obtidos a partir de N=27 observações, estão sintetizados nas TABELAS 2 e 3.

Os coeficientes estimados para as variáveis correspondentes às equações estudadas constam na TABELA 2. Os respectivos valores de coeficiente de variação (CV), coeficiente de determinação total (r2) e índice (i) de Furnival (FURNIVAL, 1961) estão relacionados na TABELA 3.

TABELA 2 - Estimativas dos coeficientes β<sub>i</sub> dos modelos de regressão testados para determinação da biomassa acima do nível do solo de *A. mangium* aos 94 meses de idade, em termos de peso de matéria seca (ptt = peso total do tronco com casca; ptfl = peso total de folhas; ptr = peso total de ramos; ptc = peso total da copa).

Modelo	$b_i = \beta_i$	ptt	ptfl	ptr	ptc
1	$b_0$	3435,408873	-193,501403	1423,520486	1230,019083
	$b_1$	15,046066	1,090259	3,248577	4,338835
2	$b_0$	13004	1139,724708	-277,115670	862,609038
	b <sub>1</sub>	-63,013955	-39,020618	172,052003	133,031385
	$b_2$	-991,749450	-79,157732	-42,149921	-121,307653
	b <sub>3</sub>	23,514248	3,488052	-6,300197	-2,812145
3	<b>b</b> <sub>0</sub>	-44897	1698,027993	8397,141385	10095
	b <sub>1</sub>	21327	-358,203968	-4064,638803	-4422,842771
	b <sub>2</sub>	-1973,229246	-9,743085	484,543145	474,800060
	b <sub>3</sub>	-704,590913	-1,026198	142,956321	141,930123
	b₄	107,485531	2,824350	-20,611713	-17,737363
4	$\mathbf{b}_0$	12058	455,301419	-750,123922	-294,827503
	b <sub>1</sub>	-310,823595	-74,156462	163,671762	89,515301
	b <sub>2</sub>	23,458598	8,068715	-5,040747	3,027968
	b <sub>3</sub>	15,268779	-2,992780	-0,979585	-3,972365
	b <sub>4</sub>	-108,668268	12,274995	4,336672	16,611667
5	$b_0$	3,243866	-1,015015	4,321430	4,171388
	bı	0,946525	1,113090	0,603098	0,650848
6	$b_0$	4,204248	-2,036212	6,487374	6,119424
	b <sub>1</sub>	2,543616	1,732941	2,252351	2,242600
	$b_2$	0,069457	1,903792	-1,073971	-0,857497
7	$b_0$	3,753327	-1,907177	3,975191	3,778095
	$b_1$	0,807648	0,900005	0,473289	0,512817

TABELA 3 - Resultados de coeficiente de determinação (r²), coeficiente de variação (CV) e índice de Furnival (i) para os 7 modelos testados para estimativa da biomassa acima do nível do solo de *A. mangium* aos 94 meses de idade, em termos de peso de matéria seca (ptt = peso total do tronco com casca; ptfl = peso total de folhas; ptr = peso total de ramos; ptc = peso total da copa)

		ptt			ptfl			ptr			ptc	
Modelo	r <sup>2</sup>	CV%	1	r <sup>2</sup>	CV%	Ť	r <sup>2</sup>	CV%	i	r <sup>2</sup>	CV%	1
1	0,732	32,68	6,96	0,650	54,11	0,68	0,745	28,13	1,62	0,791	27,09	1,90
2	0,897	20,47	4,54	0,675	54,32	0,68	0,822	24,52	1,41	0,824	25,92	1,82
3	0,933	16,60	3,54	0,682	54,99	0,69	0,834	24,20	1,39	0,833	25,78	1,81
4	0,931	16,87	3,59	0,686	54,64	0,69	0,822	25,08	1,44	0,825	26,43	1,85
5	0,828	3,00	5,02	0,753	8,21	0,45	0,722	3,80	1,58	0,775	3,48	1,78
6	0,899	2,30	3,90	0,758	8,29	0,44	0,799	3,29	1,40	0,832	3,07	1,56
7	0,567	4,76	7,90	0,758	8,12	0,45	0,685	4,04	1,81	0,741	3,74	2,07

# 4 DISCUSSÃO

Depreende-se dos resultados referentes a peso total de matéria seca do tronco, relacionados na TABELA 3, que dos modelos 1 a 4, não logarítmicos, destaca-se o modelo de Meyer modificado (modelo 3), que apresentou para essa variável dependente o menor valor de coeficiente de variação e o maior valor de coeficiente de determinação. De modo similar, cotejando-se entre si os modelos 5 a 7, logarítmicos, sobressai-se o de Schumacher-Hall (modelo 6), que apresentou menor valor de coeficiente de variação e maior valor de coeficiente de determinação. Para poder-se comparar este modelo logarítmico selecionado com aquele não logarítmico selecionado, levou-se em conta os valores obtidos para o índice de Furnival, optando-se pela escolha do que apresentou o menor valor desse índice, o modelo 3.

Para estimativas de peso total de matéria seca de ramos, os resultados constantes na TABELA 3 permitem escolher, de maneira análoga, o modelo não logarítmico de Meyer modificado (modelo 3) e o logarítmico de Schumacher-Hall (modelo 6), optando-se pelo primeiro em razão do índice de Furnival correspondente.

Com relação a peso total de matéria seca da copa, os resultados apresentados na TABELA 3 permitem igualmente optar-se pelos modelos não logarítmico e logarítmico, respectivamente, de Meyer modificado (modelo 3) e de Schumacher-Hall (modelo 6), selecionando-se este último em razão do menor valor apresentado pelo respectivo índice de Furnival.

Quanto aos resultados obtidos em relação a peso total de matéria seca de folhas, cabe ressaltar os elevados valores de coeficiente de variação constatados, que indicam menor precisão nas estimativas correspondentes. Para esta variável dependente, optou-se pelo modelo 6, de Schumacher-Hall, com base nos resultados inseridos na TABELA 3.

Para cada equação de peso selecionada para essas quatro variáveis dependentes analisadas, os coeficientes correspondentes aos valores dos coeficientes  $b_i = \hat{\beta}_i$  podem ser extraídos da TABELA 2.

Assim sendo, as equações de peso selecionadas nas condições do presente estudo para estimativas da biomassa da parte aérea de *A. mangium* aos 94 meses de idade, são as seguintes:

```
ptt = .44897 + 21327d_1 - 1973,229246d_1^2 - 704,590913d_1h_1 + 107,485531d_1^2h_1 (r^2 = 0.933, CV = 16,60\%) l_n ptfl = -2.036212 + 1.732941 l_n d_1 + 1.903792 l_n h_1 (r^2 = 0.758, CV = 8,29\%) ptr = 8397,141385 - 4064,638803d_1 + 484,543145d_1^2 + 142,956321d_1h_1 - 20,611713d_1^2h_1 (r^2 = 0.834, CV = 24,20\%) l_n ptc = 6,119424 + 2,242600 l_n d_1 - 0.857497 l_n h_1 (r^2 = 0.832, CV = 3.07\%)
```

sendo os valores de peso expressos em gramas, os de diâmetro em centímetros e os de altura em metros.

Os resultados obtidos vêm complementar outros referentes a equações para estimativa do peso de madeira sem casca (CARVALHO *et al.*, 1997), e deverão ser utilizados pelos autores para condução de estudos de rendimento em comparação com outras espécies de rápido crescimento.

# 5 CONCLUSÕES

a. O modelo selecionado para estimativas dos valores de peso total de matéria seca do tronco com casca e de peso total de matéria seca de ramos foi o de Meyer, modificado:

$$w_i = \beta_0 + \beta_1 d_i + \beta_2 d_i^2 + \beta_3 d_i h_i + \beta_4 d_i^2 h_i + \epsilon.$$

b. O modelo selecionado para estimativas dos valores de peso total de matéria seca de folhas e de peso total de matéria seca da copa foi o modelo logarítmico de Schumacher-Hall:

$$l_n \mathbf{w}_i = \beta_0 + \beta_1 l_n d_i + \beta_2 l_n h_i + \epsilon.$$

c. As equações de biomassa selecionadas para estimativas dos pesos totais de matéria seca do tronco, das folhas, dos ramos e da copa foram, respectivamente, as seguintes:

```
\begin{aligned} & ptt = -44897 + 21327d_1 - 1973,229246d_1^2 - 704,590913d_1h_1 + 107,485531d_1^2h_1, \\ & l_n \ ptfl = -2,036212 + 1,732941 \ l_n \ d_1 + 1,903792 \ l_n \ h_1, \\ & ptr = 8397,141385 - 4064,638803d_1 + 484,543145d_1^2 + 142,956321d_1h_2 - 20,611713d_1^2h_1, \\ & l_n \ ptc = 6,119424 + 2,242600 \ l_n \ d_1 - 0,857497 \ l_n \ h_1, \end{aligned}
```

com valores de peso em gramas, de diâmetro em centímetros e de altura em metros.

## **6 AGRADECIMENTOS**

Os autores consignam seus agradecimentos à FAPESP - Fundação de Amparo à Pesquisa do Estado de São Paulo, e ao CNPq - Conselho Nacional de Desenvolvimento Científico e Tecnológico, por auxílios recebidos.

# REFERÊNCIAS BIBLIOGRÁFICAS

- BERNHARD-REVERSAT, F.; DIANGANA, D. & TSATSA, M. 1983. Biomasse, mineralomasse et productivité en plantation d'*Acacia mangium* et *A. auriculiformis* au Congo. *Bois et Forets des Tropiques*, Montpellier, (238):35-44.
- CARVALHO, C. M.; VEIGA, R. A. A. & BRASIL, M. A. M. 1997. Equations for dry weight estimation of *Acacia mangium* Willd bole in a southeastern brazilian forest plantation. In: MODELLING GROWTH OF FAST-GROWN TREE SPECIES' IUFRO CONFERENCE, Valdivia, Chile, 1997. *Proceedings...* Valdivia, Universidad Austral de Chile. p. 127-131.

- DANIEL, O. et al. 1997. Aplicação de fósforo em mudas de *Acacia mangium* Willd. *Revista Árvore*, Viçosa, 21(2):163-168.
- DUDLEY, N. S. & FOWNES, J. H. 1992. Preliminary biomass equations for eight species of fast-growing tropical trees. *Journal of Tropical Forest Science*, Kuala Lumpur, 5(1):68-73.
- FURNIVAL, G. M. 1961. An index for comparing equations used in constructing volume tables. *Forest Science*, 7(4):337-341.
- LATIF, M. A. & HABIB, M. A. 1994. Biomass tables for *Acacia mangium* grown in the plantations in Bangladesh. *Journal of Tropical Forest Science*, Kuala Lumpur, 7(2):296-302.
- LIM, M. T. 1985. Biomass and biomass relationship of 3.5 year-old open-grown Acacia mangium. Serdang, University Pertanian Malaysia, Faculty of Forestry, 13p. (Occasional Paper, 2)
- LIM, M. T. & MOHD-BASRI, H. 1985. Biomass accumulation in a naturally lowland secondary forest and an *Acacia mangium* stand in Sarawak. *Pertanika*, Selangor, 8(2):237-242.
- LIM, M. T. 1986. Biomass and productivity of a 4.5 year-old *Acacia mangium* in Sarawak. *Pertanika*, Selangor, 9(1):81-87.
- \_\_\_\_\_. 1988. Studies on *Acacia mangium* in Kemasul Forest, Malaysia. I. Biomass and productivity. *Journal of Tropical Ecology*, Cambridge, 4(3):293-302.
- SCHUBERT, T. H. & WHITESELL, C. D. 1985. Species trials for biomass in Hawaii: a first appraisal. Berkeley, USDA, Forest Service, Pacific Southwest Forest and Range Experiment Station. 13p. (Research Paper PSW, 176)
- SILVA, F. P.; BORGES, R. C. G. & PIRES, I. E. 1996. Avaliação de procedências de *Acacia mangium* Willd, aos 63 meses de idade, no Vale do Rio Doce-MG. *Revista Árvore*, Viçosa, 20(3):299-308.
- TANOUCHI, H. et al. 1994. Size distribution and production structures of a secondary forest after selective cutting in the mixed dipterocarp forest, Brunei Darussalan. Bulletin of the Forestry and Forest Products Research Institute, Ibaraki, (366):17-30.
- TIMONI, J. L.; VEIGA, R. A. A. & PINHEIRO, G. S. 1997. Determinação de equações para quantificação da biomassa da copa de arvores de *Eucalyptus saligna* Smith aos 22 anos. *Rev. Inst. Flor.*, São Paulo, 9(1):109-121.

VEIGA, R. A. de A. et al. Determinação de modelos para estimativas de biomassa do tronco e da copa de Acacia mangium.

VEIGA, R. A. A. 1984. Dendrometria e inventário florestal. Botucatu, Fundação de Estudos e Pesquisas Agrícolas e Florestais. 108p.

estimation in Eucalyptus and Pinus inventories in Brazil. The Finnish Forest Research Institute Research Papers, Helsinki, (444): 195-200.

# VARIABILIDADE GENÉTICA EM DUAS POPULAÇÕES DE Cordia trichotoma\*

Lígia de Castro ETTORI\*\*
Ana Cristina Machado De Franco SIQUEIRA\*\*\*
Antonio Carlos Scatena ZANATTO\*\*
Osmar Vilas BOAS\*\*

## RESUMO

Populações de Cordia trichotoma, conhecida como louro-pardo, foram amostradas em Bauru (SP) e Tupi (SP), objetivando estimar a variabilidade genética presente em populações naturais e a forma de distribuição desta variabilidade dentro da população, para compor stands de conservação ex situ dos recursos genéticos da espécie. Os experimentos foram instalados em Luiz Antonio (SP) e Marília (SP), na forma de testes de progênies, e avaliados através de análises de variância e estimativas de parâmetros genéticos. A espécie apresentou pequena variação genética entre famílias de cada população e baixo controle genético das características DAP e altura de plantas, até esta fase de desenvolvimento. A variabilidade é distribuída em maior proporção dentro de famílias, levando a concluir que a amostragem de maior número de indivíduos por família proporcionará variabilidade mais representativa para conservação. Até a idade de avaliação, a seleção de material para melhoramento somente deverá ser baseada na característica DAP que apresentou herdabilidade maior que altura e crescente com a idade.

Palavras-chave: Cordia trichotoma; louro-pardo; conservação genética ex situ; variabilidade genética; populações naturais; famílias.

# 1 INTRODUÇÃO

Os trabalhos de conservação genética no Instituto Florestal foram iniciados em 1979 com especies cujas populações naturais apresentavam comprometimento do potencial genético decorrente da exploração desordenada das matas nativas. Já em 1973 o percentual da floresta primitiva no Estado de São Paulo era de apenas 8,3% (VICTOR, 1975).

## **ABSTRACT**

Samples of populations of *Cordia trichotoma*, known as "louro-pardo" in São Paulo State, were collected in Bauru (SP) and Tupi (SP), in order to estimate the genetic variability and its distribution pattern within the population, and to establish stands of *ex situ* conservation of genetic resources of the species. The experiments were carried out in Luiz Antonio (SP) and Marília (SP) in the form of progenies tests and evaluated by variance analyses and estimation of genetic parameters. The species showed small genetic variation between families from each population and low genetic control of the characteristics diameter at breast height (DBH) and height of trees, up to this stage of development. Most part of the variability is distributed within families, leading to conclude that the sample of a greater number of trees within families will provide more representative variability for conservation. Until the age of evaluation, the selection of material for improvement should be only based on the characteristic DBH, because it showed higher heritability than height of trees, increasing with age.

Key words: *Cordia trichotoma*; "louro-pardo"; *ex situ* genetic conservation; genetic variability; natural populations; families

A opção foi a conservação *ex situ* de espécies nativas, através da instalação de testes de procedências e progênies, para avaliação da variabilidade genética das populações amostradas, e manutenção destes plantios como populaçõesbase, de modo a permitir o contínuo potencial evolutivo das espécies e o resgate de material genético para uso em futuros programas de melhoramento.

<sup>(\*)</sup> Aceito para publicação em dezembro de 1999.

<sup>(\*\*)</sup> Instituto Florestal, Caixa Postal 1322, 01059-970, São Paulo, SP, Brasil.

<sup>(\*\*\*)</sup> Instituto Florestal, Caixa Postal 1322, 01059-970, São Paulo, SP, Brasil. (Bolsista do CNPq)

A espécie *Cordia trichotoma* (Vell.) Arrab. ex Steud., da família Boraginaceae, está entre as eleitas para os estudos de conservação em plantios *ex situ* no Instituto Florestal.

Esta espécie é conhecida no Estado de São Paulo pelos nomes vulgares de louro-pardo, cambará-uçú, cascudinho, ipê-louro, louro-amargoso, louro-branco, pau-cachorro, além de vários outros usados em diferentes Estados brasileiros, sendo os mais comuns freijó e frei-jorge (CARVALHO, 1994). Ocorre desde o Piauí até o Rio Grande do Sul e também Mato Grosso, Mato Grosso do Sul, Goiás e Minas Gerais (CARVALHO, 1994), na floresta pluvial atlântica, semidecídua e no cerrado (LORENZI, 1992). É classificada como espécie secundária tardia na sucessão ecológica de matas nativas por FERRETTI et al. (1995), com dispersão de sementes do tipo anemocórica, conforme CARVALHO (1994).

A madeira de *Cordia trichotoma*, segundo LORENZI (1992), é muito apreciada na manufatura de móveis de luxo, revestimentos decorativos, lambris, além de outros empregos, sendo considerada por CARVALHO (1994) ainda mais decorativa que *Cordia alliodora* e *Cordia goeldiana*, os freijós que ocorrem na Amazônia. Este último autor relata que a espécie é objeto de exploração sistemática, sem reposição.

Muito vem sendo estudado sobre conservação de recursos genéticos nas duas últimas décadas. Porém, muito pouco se sabe, ainda, a respeito de espécies florestais tropicais e como se apresenta a variabilidade genética destas espécies. Neste sentido, estudos vêm sendo desenvolvidos tanto na área de genética quantitativa quanto na de técnicas bioquímicas.

KAGEYAMA (1987) considera que, no caso de espécies florestais que tiveram suas comunidades florestais muito destruídas, a conservação ex situ seria a forma mais adequada, senão a única possível, de conservá-las. A variabilidade genética pode ocorrer, segundo o autor, em diferentes níveis: a) diferença de espécies dentro de ecossistemas; b) diferença de populações dentro de espécies, e c) diferença de indivíduos dentro de populações da espécie, sendo que a caracterização desses níveis de diversidade é de suma importância para planejar a conservação.

HIGA et al. (1992) referem-se à importância do conhecimento da variação genética dentro da procedência, quando o objetivo é a conservação, e argumentam que a variabilidade genética de algumas procedências pode ser ampliada por recombinação, através de cruzamentos entre populações distintas, quando conservadas em plantios *ex situ*.

COMMITTEE **MANAGING** ON GLOBAL GENETIC RESOURCES... (1991) discorre sobre a necessidade de se entender o grau de diversidade genética entre e dentro de populações específicas para que se possa estabelecer prioridades para a conservação, manejo e uso de recursos genéticos florestais e, sobre os métodos científicos que têm sido usados para tanto: os testes de procedências e exame de alozimas, lembrando que cada procedimento tem um objetivo distinto e os resultados alcançados têm diferentes aplicações. Considera ainda que ambos os testes revelam, geralmente, alta heterogeneidade entre plantas de espécies florestais, mas que a variação genética é organizada de diversas maneiras dentro e entre populações.

HAMRICK (1983) expõe os fatores que devem influenciar na distribuição da variação genética entre e dentro de populações: tamanho efetivo da população, distribuição geográfica da espécie, modo de reprodução, sistema de cruzamento, mecanismo de dispersão de sementes e tipo de comunidade onde a espécie ocorre. E exemplifica que de espécies autógamas, com populações naturais pequenas e limitada dispersão de pólen e sementes, deve-se esperar pequena variação dentro das populações e maior variação entre as populações. Espécies de estágio mais inicial da sucessão ecológica apresentariam este tipo de distribuição da variação genética (KAGEYAMA & GANDARA, 1993) devido à ocorrência de populações pequenas e muito dispersas, restringindo o fluxo gênico. Por outro lado, espécies de estágio posterior ou tardio, de reprodução cruzada e polinização através do vento, apresentariam maior variação dentro das populações do que entre elas (KAGEYAMA, 1990).

Além do exposto, os testes de procedências/progênies são importante metodologia para obter informações sobre o controle genético de características de valor econômico e adaptativas. A exemplo disto podemos citar alguns dados: Dvorak et al. (1993), citado por DVORAK et al. (1996), trabalhando com conservação ex situ de Pinus tecunumanii concluíram que a quebra de caule é uma característica sob controle genético parcial e esforços estão sendo direcionados no sentido de cruzar populações que não apresentem este defeito;

com *Pinus chiapensis*, Wright *et al.* (1996) e Dvorak *et al.* (1996a), citados em DVORAK *et al.* (1996), concluíram que a espécie é sujeita à bifurcação na base mas que este problema pode ser resolvido através de poda corretiva em idade jovem; e estudos com *Pinus pringlei* indicaram que a espécie é susceptível à geada e deve ser plantada em locais de clima ameno, o que garantirá a sobrevivência e a produção de madeira de excelente qualidade (DVORAK *et al.*, 1996).

Resultados de altura e diâmetro à altura do peito (DAP) de louro-pardo observados por CARVALHO (1994), resultantes de plantios em várias localidades de diferentes Estados, permitiram considerar a espécie como de crescimento lento a moderado, mostrando muita variabilidade nessas características, com variação acentuada entre plantas. O autor considera que a identificação das melhores

procedências, seguida de melhoramento genético para altura e DAP, poderia elevar muito o desempenho da espécie para produção de madeira.

ETTORI et al. (1995, 1996), trabalhando com as espécies nativas ipê-amarelo (*Tabebuia vellosoi*) e ipē-roxo (*Tabebuia heptaphylla*), encontraram para as estimativas de coeficiente de variação genética entre famílias (CV<sub>g</sub>), coeficiente de variação dentro de famílias (CV<sub>d</sub>) e herdabilidade no sentido restrito (ĥ²) das características diâmetro à altura do peito (DAP) e altura, os valores, variando com a idade, expressos na TABELA 1.

GONÇALVES et al. (1998), estudando clones de *Hevea brasiliensis*, verificaram acréscimos seguidos de decréscimos nos valores dos coeficientes de variação genética com a idade, tendo observado 4,94% com 1 ano de idade, atingindo 13,54% com 4 anos, diminuindo para 9,26% aos 8 anos.

TABELA 1 - Estimativas de coeficiente de variação genética entre famílias (CV<sub>g</sub>), coeficiente de variação dentro de famílias (CV<sub>d</sub>) e herdabilidade no sentido restrito (ĥ²) das características diâmetro à altura do peito (DAP) e altura, de ipê-amarelo e ipê-roxo.

Características	Coeficiente	Ipê-ar	marelo	Ipê-roxo			
		População Mogi Guaçu	População Bebedouro	População Bauru	População Assis		
		de 4 a 9 anos	de 4 a 9 anos	de 2 a 12 anos	de 2 a 11 anos		
	$CV_g$	de 15,11% caiu para 14,21 e subiu até 20,30%	de nulo subiu até 7,12% e caiu para 3,24%	de 3,42% subiu até 4,28 e caiu para 2,69%	de 4,44% subiu até 9,37, caindo para 7,65%		
DAP	$CV_d$	de 49,71% caiu para 40,28 e subiu até 44,94%	de 43,91% caiu até 42,13%	de 27,96% caiu para 24,66 e subiu até 26,05%	de 39,36% subiu para 40,08, caindo para 34,32% de 0,05 subiu até 0,22, caindo para 0,18		
	ĥ²	de 0,34 subiu até 0,64	de nula subiu até 0,10, caindo para 0,02	de 0,05 subiu até 0,09, caindo para 0,03			
		de 1 a 9 anos	de 1 a 9 anos	de 1 a 12 anos	de l a l l anos		
	$CV_g$	de 20,42% subiu a 21,84 caindo até 13,97%	de 7,27% caiu até nulo	de nulo até 2,61%, caindo para nulo novamente	de 4,19% caiu para 2,13 e subiu a 3,54%		
Altura	$CV_d$	de 27,47% subiu a 31,64 caindo para 29,76%	de 24,19% subiu até 30,45%	de 19,58% caiu até 16,25%	de 19,62% subiu até 24,09 e caiu para 19,21%		
	ĥ²	de 1,25 caiu até 0,33	de 0,32 caiu para nula	de nula subiu a 0,08, caindo para nula novamente	de 0,16 caiu até 0,03 e subiu até 0,11		

Este trabalho teve por objetivos estimar a variabilidade genética e a forma de sua distribuição em populações naturais de *Cordia trichotoma*, a fim de compor stands de conservação *ex situ* dos recursos genéticos da espécie. Também foram objeto deste trabalho as estimativas de herdabilidade das características diâmetro à altura do peito e altura de plantas, no intuito de embasar programas de melhoramento genético.

# 2 MATERIAL E MÉTODOS

A espécie *Cordia trichotoma*, louro-pardo, foi estudada através de procedências e famílias, usando sementes colhidas de árvores de polinização livre nas populações naturais de Bauru (SP) e Tupi (SP). A colheita foi planejada de modo a manter distância de cerca de 100 m entre árvores colhidas, evitando-se obter material endogâmico, e do maior número possível de árvores, resultando em 22 famílias colhidas em Bauru e 32 em Tupi.

Em 1986 foram instalados dois experimentos em blocos casualizados nas Estações Experimentais de Luiz Antonio (SP) e de Marília (SP). Na primeira foram plantadas as 22 famílias da população de Bauru e na segunda, 25 famílias das 32 colhidas em Tupi. Com as mudas restantes das 32 famílias de Tupi, foi instalado mais um experimento na Estação Experimental de Luiz Antonio, desta vez em delineamento inteiramente

casualizado, pois o montante de mudas por famílias obtidas no viveiro não era suficiente para repetições de blocos. A progênie identificada por número 2 foi repetida duas vezes no experimento e a por número 3, repetida três vezes; as demais foram plantadas com 5 a 8 repetições. Em todos os experimentos foram utilizadas parcelas lineares compostas por 5 plantas da mesma família, espaçamento de 3 x 3 m e bordadura externa dupla.

Na TABELA 2 são detalhados os locais de experimento, populações e número de famílias avaliadas, delineamentos estatísticos e, segundo VENTURA *et al.* (1965/66), as condições geográficas e edafoclimáticas das Estações Experimentais, ambas do Instituto Florestal.

Os dados usados para avaliação dos experimentos foram as medidas de diâmetro à altura do peito (DAP) e altura de plantas, características quantitativas consideradas de maior interesse para seleção quando se visa a exploração para uso da madeira. Essas medidas foram tomadas em vários anos e permitiram a comparação de desenvolvimento entre as populações. Além disto, foram efetuadas análises de variância, teste F entre famílias e estimativas de parâmetros genéticos e não genéticos, baseadas em KAGEYAMA (1983) e PIRES (1984), para inferir sobre a variabilidade genética presente nas populações, a forma de distribuição desta variabilidade dentro de cada população e o controle genético das características altura e diâmetro à altura do peito na espécie.

TABELA 2 - Locais dos experimentos, populações e número de famílias estudadas, delineamentos estatísticos, condições geográficas e edafoclimáticas das Estações Experimentais.

Local do experimento	E. E. L	E. E. Luiz Antonio			
População	Bauru Tupi		Tupi		
Nº de famílias	22	32	25		
	Blocos casualizados	Inteiramente casualizado	Blocos casualizados		
Delineamento estatístico	(6 repetições)	(2 a 8 repetições)	(5 repetições)		
Latitude	2	1°40'S	22°03'S		
Longitude	47	47°49'W			
Altitude	:	550 m			
Tipo de solo	Latos	ssolo Roxo	Latossol Vermelho Escuro		
			fase arenosa		
Tipo de clima*	Cwa (quente	e de inverno seco)	Cwa (quente de inverno seco		
Precipitação média anual	130	1365,0 mm			
Precipitação média do					
mês mais seco	15,0 nun (ago.)		21,2 nm (ago.)		
Deficiência hídrica anual	80 a	110 mm	50 a 80 mm		

<sup>(\*)</sup> Segundo classificação climática de Köppen.

# 3 RESULTADOS E DISCUSSÃO

As TABELAS 3 e 4 trazem os resultados obtidos para a espécie *Cordia trichotoma*, em várias idades, nos locais de experimentação, por população testada. São apresentadas as médias de diâmetro à altura do peito (DAP) e de altura de plantas, o incremento médio anual (IMA), valores do teste F das análises de variância para famílias e estimativas de parâmetros genéticos, fenotípicos e ambientais.

A espécie apresentou melhor crescimento em DAP e altura na localidade de Luiz Antonio, com sobrevivência de cerca de 83%, do que em Marília, onde apresentou 77,76% de sobrevivência, se comparada aos 3 e 6 anos, embora não seja possível analisar se houveram diferenças estatisticamente significativas. Estes resultados indicam que a espécie encontra melhores condições edafoclimáticas para desenvolvimento na região de Luiz Antonio.

Em Luiz Antonio, a população de Tupi apresentou maiores médias em DAP e altura do que a de Bauru (TABELA 3), com melhores incrementos médios anuais até 6 anos de idade. Ambas vêm apresentando intensa floração seguida de boa produção de sementes.

Analisando as médias de altura não foi encontrada significância pelo teste F entre as famílias das populações estudadas em Luiz Antonio; as famílias da população de Tupi, estudadas em Marília, apresentaram significância entre elas somente aos 8 anos de idade (TABELA 4). Porém, na análise da característica DAP, as diferenças foram significativas, a partir de 6 anos de idade, entre as famílias de Bauru e entre as famílias de Tupi, em Luiz Antonio, indicando que existe variação genética; as famílias de Tupi em Marília não apresentaram significância para DAP. Os diferentes resultados do teste F para a população de Tupi nos dois locais demonstram uma possível interação genétipo x ambiente.

Os coeficientes de variação genética entre famílias (CV<sub>g</sub>) estimados para DAP, nas diversas idades, vêm aumentando com o passar dos anos, de nulo até 9,71% para as famílias da população de Bauru, de 4,75 a 8,85% para as famílias da população de Tupi, em Luiz Antonio (TABELA 3), e de nulo a 6,44% para as famílias da população de Tupi em Marília (TABELA 4).

Em Luiz Antonio, as estimativas de  $CV_g$  para altura foram nulas ou inferiores às de DAP e decrescentes com a idade para as famílias das duas populações, mas em Marília esta estimativa aumentou de 3,16% aos 3 anos até 7,28% aos 8 anos de idade, embora só tenha sido detectada significância no teste F aos 8 anos.

Os valores estimados de CV<sub>g</sub> para as duas características, demonstram, até estas idades, que a variação genética entre as famílias é baixa.

As estimativas dos coeficientes de herdabilidade  $(\hat{h}^2)$  vêm aumentando para a característica DAP para as duas populações e nos dois locais de estudo e, para a característica altura na população de Tupi em Marília. Observa-se pelas TABELAS 3 e 4 que a porcentagem da variância genética entre famílias  $(\hat{\sigma}_n^2)$  na variância fenotípica  $(\hat{\sigma}_{F}^{2})$  é sempre menor que a porcentagem da variância dentro de famílias  $(\hat{\sigma}_d^2)$  e da variância ambiental  $(\hat{\sigma}_{e}^{2})$ , denotando baixo controle genético e maior influência do ambiente na porção herdável dessas características, nas idades mais jovens.

FRANKLIN (1979) sugeriu um modelo para interpretação das variações desses parâmetros genéticos (CV<sub>g</sub> e ĥ<sup>2</sup>) com a idade, segundo o qual, a variância genética aditiva e a herdabilidade estão vinculadas às fases genotípica-juvenil, genotípicamadura e de codominância-supressão dos stands: estes parâmetros são baixos na fase genotípicajuvenil, período em que as plantas estão em adaptação a uma série de variáveis ambientais e, portanto, a variância ambiental e consequente variância fenotípica são altas; sofrem uma elevação na transição para a fase genotípica-madura quando ocorrem mudanças fisiológicas internas intensificação da competição entre plantas; e decresce em seguida, de forma abrupta, quando o plantio entra na fase de codominância-supressão, havendo exclusão das árvores dominadas.

MAGNUSSEN (1989) argumenta que o declínio súbito na variância de um parâmetro em crescimento pode ser um artificio biológico causado por fatores como mortalidade e competição.

No presente experimento não foi verificada queda drástica no parâmetro em questão, levando à suposição de que as árvores ainda não entraram no período de codominância-supressão.

TABELA 3 - Médias de diâmetro à altura do peito (DAP) e altura, incremento médio anual (IMA), valores de F e estimativas da variância genética entre famílias ( $\hat{\sigma}_{\rho}^2$ ), variância dentro de famílias ( $\hat{\sigma}_{d}^2$ ), variância ambiental ( $\hat{\sigma}_{\epsilon}^2$ ), variância fenotípica ( $\hat{\sigma}_{F}^2$ ), coeficiente de variação genética entre famílias (CV<sub>g</sub>), coeficiente de variação dentro de famílias (CV<sub>d</sub>) e herdabilidade no sentido restrito ( $\hat{h}^2$ ), observadas para duas populações de louro-pardo, Bauru e Tupi, avaliadas em Luiz Antonio (SP), até 11 anos de idade.

			POF	PULAÇÃO BA	AURU					
			DAP		ALTURA					
IDADE (anos)	2	3	6	11	2	3	6	11		
MEDIA	4,44 cm	7,92 cm	9,59 cm	13,67 cm	3,42 m	6,02 m	7,74 m	11,02 m		
IMA	2,22 cm	2,64 cm	1,60 cm	1,24 cm	1,71 m	2,01 m	1,29 m	1,00 m		
F <sub>fam</sub>	0,76ns	1,19ns	1,67*	3,12**	0,95ns	1,24ns	0,83ns	0,63ns		
$\hat{\sigma}_{p}^{2}$		0,14	0,41	1,76		0,07	-	-		
$\hat{\sigma}_d^2$	1,40	3,82	4,66	13,24	0,38	1,27	1,44	2,60		
$\hat{\sigma}_e^2$	1,88	3,40	2,52	1,64	0,58	1,48	1,81	3,11		
$\hat{\sigma}_{\scriptscriptstyle F}^{\scriptscriptstyle 2}$	3,28	7,36	7,59	16,64	0,96	2,82	3,25	5,71		
CV <sub>g</sub> (%)	•	4,74	6,70	9,71	•	4,46	•	•		
CV <sub>d</sub> (%)	26,68	24,69	22,53	26,63	18,25	18,75	15,53	14,63		
$\hat{\mathbf{h}}^2$	0,00	0,07	0,21	0,42	0,00	0,10	0,00	0,00		
			PC	PULAÇÃO T	UPI					
MEDIA	6,17 cm	9,17 cm	10,51 cm	13,13 cm	4,74 m	7,06 m	9,47 m	10,71 m		
IMA	3,09 cm	3,06 cm	1,75 cm	1,19 cm	2,37 m	2,35 m	1,57 m	0,97 m		
F <sub>fam</sub>	1,30ns	1,27ns	1,78*	2,78**	1,21ns	0,88ns	1,03ns	0,98ns		
$\hat{\sigma}_p^2$	0,08	0,16	0,43	1,35	0,01	***	0,01	0 <del>111</del>		
$\hat{\sigma}_d^2$	2,28	4,38	5,08	10,30	0,57	1,08	2,05	3,15		
$\hat{\sigma}_e^2$	1,35	3,03	2,49	2,59	0,49	1,33	2,19	3,39		
$\hat{\sigma}_{\scriptscriptstyle F}^{\scriptscriptstyle 2}$	3,71	7,57	8,00	14,24	1,07	2,41	4,25	6,54		
CV <sub>g</sub> (%)	4,75	4,41	6,27	8,85	2,94	•	1,15	•		
CV <sub>d</sub> (%)	24,49	22,84	21,46	24,45	16,04	14,77	15,13	16,59		
$\hat{\mathbf{h}}^2$	0,08	0,08	0,21	0,37	0,03	0,00	0,01	0,00		

ns, \*, \*\*: respectivamente, valores de F não significativos, significativos a 5% e a 1% de probabilidade.

<sup>---:</sup> casos em que a estimativa da variância genética entre famílias resultou inferior a zero.

<sup>•:</sup> estimativa do coeficiente de variação genética entre famílias considerada nula.

TABELA 4 - Médias de diâmetro à altura do peito (DAP) e altura, incremento médio anual (IMA), valores de F e estimativas da variância genética entre famílias  $(\hat{\sigma}_p^2)$ , variância dentro de famílias  $(\hat{\sigma}_d^2)$ , variância ambiental  $(\hat{\sigma}_e^2)$ , variância fenotípica  $(\hat{\sigma}_F^2)$ , coeficiente de variação genética entre famílias (CV<sub>g</sub>), coeficiente de variação dentro de famílias (CV<sub>d</sub>) e herdabilidade no sentido restrito  $(\hat{h}^2)$ , observadas para as famílias de louro-pardo da população de Tupi, avaliadas em Marília, até 8 anos de idade.

			DAP			ALTURA					
IDADE (anos)	3	4	5	6	8	3	4	5	6	8	
MÉDIA	3,90 cm	4,38 cm	5,03 cm	5,40 cm	6,01 cm	3,09 m	3,57 m	4,41 m	4,42 m	4,73 m	
IMA	1,30 cm	1,09 cm	1,00 cm	0,90 cm	0,75 cm	1,03 m	0,89 m	0,88 m	0,73 m	0,59 m	
F <sub>fam</sub>	0,79ns	0,91ns	1,38ns	1,24ns	1,50ns	1,22ns	1,50ns	1,63ns	1,58ns	1,83*	
$\hat{\sigma}_{p}^{2}$			0,09	0,06	0,15	0,009	0,02	0,05	0,05	0,11	
$\hat{\sigma}_d^2$	2,09	2,87	4,15	4,54	4,88	0,59	0,76	1,32	1,29	1,75	
$\hat{\sigma}_e^2$	0,17	0,16	0,17	0,15	0,22	0,06	0,06	0,10	0,13	0,26	
$\hat{\sigma}_{\scriptscriptstyle F}^{\scriptscriptstyle 2}$	2,26	3,03	4,41	4,75	5,25	0,659	0,84	1,47	1,47	2,12	
CV <sub>g</sub> (%)	•	•	6,10	4,68	6,44	3,16	4,54	5,38	5,26	7,28	
CV <sub>d</sub> (%)	37,08	38,69	40,44	39,39	36,77	24,92	24,54	26,04	25,74	28,01	
$\hat{h}^2$	0,00	0,00	0,08	0,05	0,11	0,05	0,12	0,15	0,14	0,22	

ns, \*: respectivamente, valores de F não significativos e significativos a 5% de probabilidade.

Pelos valores obtidos para  $CV_g$  e  $\hat{h}^2$  para as duas características analisadas, depreende-se que a variação genética entre famílias e o controle genético são baixos. Entretanto, tratando-se de características cuja manifestação está sob influência do ambiente, novas análises devem ser efetivadas em idades posteriores para comparação com os resultados até aqui obtidos.

Contrastando com os baixos valores observados para CV<sub>g</sub>, foram encontrados altos coeficientes de variação dentro de famílias (CV<sub>d</sub>), para as duas populações e nos dois locais de estudo, o que evidencia a maior variação entre indivíduos de mesma família do que entre famílias. Comparando as estimativas deste parâmetro com as obtidas para outras espécies nativas do programa de conservação genética *ex situ*, observa-se em ETTORI *et al.* (1995, 1996) para ipê-amarelo e para ipê-roxo e, em SEBBENN *et al.* (1999) para pau-marfim, semelhante

acontecimento, demonstrando que a maior distribuição da variabilidade dentro de famílias, ao invés de entre famílias, é habitual para espécies florestais nativas.

Conforme as teorias de HAMRICK (1983), KAGEYAMA (1990) e os resultados observados na bibliografia para outras espécies florestais, era de se esperar este padrão de distribuição da variação genética, por ser o louro-pardo uma espécie de fecundação cruzada, com dispersão anemocórica de pólen e sementes, portanto com amplo fluxo gênico, e pertencente ao estágio sucessional secundário tardio.

Com base nesses resultados, considera-se que a variabilidade genética nos plantios de conservação *ex situ* deva ser ampliada através de novas amostragens, com maior número de famílias e de indivíduos por família, uma vez que aí se concentra a maior diversidade genética, e pressupondo que, no futuro, ocorrerá aumento da variabilidade por recombinação entre as diferentes famílias.

<sup>---:</sup> casos em que a estimativa da variância genética entre famílias resultou inferior a zero.

<sup>•:</sup> estimativa do coeficiente de variação genética entre famílias considerada nula.

Na idade atual dos plantios, havendo interesse em selecionar material para estudos de melhoramento genético, recomenda-se que a seleção tome como base a característica DAP, por ter apresentado maiores coeficientes de variação e de herdabilidade, podendo resultar em ganhos genéticos.

Testes para estudos sobre a variabilidade presente nessas populações e famílias de louropardo, através de sistemas isoenzimáticos, foram iniciados utilizando sementes e folhas colhidas nos plantios experimentais. Mas ainda não foram detectados resultados conclusivos a apresentar.

# 4 CONCLUSÕES

Cordia trichotoma, louro-pardo, encontra melhores condições edafoclimáticas para desenvolvimento em Luiz Antonio (SP); esta região pode ser recomendada para plantio econômico da espécie, com possibilidades de rendimento.

A espécie apresenta pequena variação genética entre famílias e baixo controle genético para DAP e altura, até esta fase de desenvolvimento.

A seleção para melhoramento da espécie, na idade atual, deve ser baseada na característica DAP.

A variabilidade é distribuída em maior proporção dentro de famílias.

Os plantios de conservação *ex situ* devem ser acrescidos de novo material genético, de forma a ampliar a variabilidade e a base genética do material conservado, amostrando maior número de indivíduos por família.

O acompanhamento das estimativas em idades posteriores deve ser realizado, garantindo a segurança dos resultados e contribuindo para o melhor entendimento sobre a variabilidade genética em espécies nativas.

# REFERÊNCIAS BIBLIOGRÁFICAS

CARVALHO, P. E. R. 1994. Espécies florestais brasileiras: recomendações silviculturais, potencialidades e uso da madeira. Colombo/Brasília, Centro Nacional de Pesquisa de Florestas - CNPF/EMBRAPA-SPI. 640p.

- COMMITTEE ON MANAGING GLOBAL GENETIC RESOURCES: AGRICULTURAL IMPERATIVES. 1991. Structure of genetic variation. In: COMMITTEE ON MANAGING GLOBAL GENETIC RESOURCES: AGRICULTURAL IMPERATIVES. Managing global genetic resources: forest trees. Washington, National Academy Press. cap. 3. p. 51-72.
- DVORAK, W. S.; DONAHUE, J. K. & HODGE, G. R. 1996. Fifteen years of *ex situ* gene conservation of mexican and central american forest species by the CAMCORE Cooperative. *Forest Genetic Resources*, Roma, (24):15-21.
- ETTORI, L. de C. *et al.* 1995. Conservação "ex situ" dos recursos genéticos de ipê-amarelo (*Tabebuia vellosoi* Tol.) através de teste de procedências e progênies. *Rev. Inst. Flor.*, São Paulo, 7(2):157-168.
- ETTORI, L. de C. *et al.* 1996. Variabilidade genética em populações de ipê-roxo *Tabebuia heptaphylla* (Vell.) Tol. para conservação "ex situ". *Rev. Inst. Flor.*, São Paulo, 8(1):61-70.
- FERRETTI, A. R. *et al.* 1995. Classificação das espécies arbóreas em grupos ecológicos para revegetação com nativas no Estado de São Paulo. *Florestar Estatístico*, São Paulo, *3*(7):73-77.
- FRANKLIN, E. C. 1979. Model relating levels of genetic variance to stand development of four North American conifers. *Silvae Genetica*, Frankfurt, 28(5-6):207-212.
- GONÇALVES, P. de S. *et al.* 1998. Early selection for growth vigor in rubber tree genotypes in northwestern São Paulo State (Brazil). *Genetics and Molecular Biology*, Ribeirão Preto, *21*(4):515-521.
- HAMRICK, J. L. 1983. The distribution of genetic variation within and among natural plant populations. In: SCHONEWALD-COX, C. M. et al. (eds.) Genetics and conservation: a reference for managing wild animal and plant populations. California, The Benjamin/Cummings Publishing Company. cap. 20. p. 335-348.
- HIGA, A. R.; RESENDE, M. D. V. & CARVALHO, P. E. R. 1992. Pomar de sementes por mudas: um método para conservação genética "ex situ" de *Araucaria angustifolia* (Bert.) O. Ktze. In: CONGRESSO NACIONAL SOBRE ESSÊNCIAS NATIVAS, 2, São Paulo-SP, mar./abr. 29-03, 1992. *Anais... Rev. Inst. Flor.*, São Paulo, 4(único):1217-1224. Pt. 4. (Edição Especial)

- KAGEYAMA, P. Y. 1983. Seleção precoce a diferentes idades em progênies de Eucalyptus grandis (Hill.) Maiden. Piracicaba, ESALQ/USP. 147p. (Tese de Livre Docência)

  1987. Conservação "in situ" de
  - recursos genéticos de plantas. *IPEF*, Piracicaba, (35):7-37.
- species of Brazil. In: BAWA, K. S. & HADLEY, M. (eds.) Reproductive ecology of tropical forest plants. Paris, UNESCO. v. 7. cap. 26. p. 375-386. (Man and the Biosphere Series)
- de populações de espécies arbóreas: implicações para o manejo e a conservação. In: SIMPÓSIO DE ECOSSISTEMAS DA COSTA BRASILEIRA, 3, Serra Negra-SP, abr. 2-7, 1993. ACIESP. v. 2. p. 1-9.
- LORENZI, H. 1992. Árvores brasileiras: manual de identificação e cultivo de plantas arbéreas nativas do Brasil. Nova Odessa, Ed. Plantarum. 352p.
- MAGNUSSEN, S. 1989. Age-to-age correlations in growth processes with fixed and random effects. *Silvae Genetica*, Frankfurt, *38*(2):49-55.
- PIRES, I. E. 1984. Variabilidade genética em progênies de uma população de algaroba - Prosopis juliflora (SW) DC. - da região de Soledade -Paraíba. Piracicaba, ESALQ/USP. 94p. (Dissertação de Mestrado)
- SEBBENN, A. M. et al. 1999. Distribuição da variação genética entre e dentro de populações de *Balfourodendron riedelianum* (Engler) Engler para conservação ex situ. (não publicado)
- VENTURA, A.; BERENGUT, G. & VICTOR, M. A. M. 1965/66. Características edafo-climáticas das dependências do Serviço Florestal do Estado de São Paulo. Silvic. S. Paúlo, São Paulo, 4:57-140.
- VICTOR, M. A. M. 1975. A devastação florestal. São Paulo, Sociedade Brasileira de Silvicultura. 48p.



#### INSTRUÇÕES AOS AUTORES

## 1 REVISTA DO INSTITUTO FLORESTAL (Rev. Inst. Flor.)

Publicação semestral do Instituto Florestal, destinada à veiculação de artigos técnico-científicos, notas científicas e revisões bibliográficas em ciências florestais e afins.

#### 1.1 Encaminhamento e Apresentação do Original

Os trabalhos deverão ser encaminhados ao Diretor Geral do Instituto Florestal, Caixa Postal 1322, 01059-970 - São Paulo - SP - Brasil, em 4 (quatro) vias (1 original e 3 cópias), respeitando-se as margens superior e inferior de 20 mm x 20 mm e as margens laterais esquerda de 30 mm e direita de 20 mm.

Serão analisados pela Comissão Editorial e, após a análise, encaminhados ao(s) autor(es) para atendimento das sugestões apresentadas. Procedidas as modificações sugeridas, o(s) autor(es) deverá(ão) enviar 2 (duas) vias (1 original e 1 cópia) da versão final do artigo, acompanhadas do disquete correspondente (disquete de 3 ½") digitado no aplicativo "Word for Windows", fonte: Times New Roman tamanho 11, em espaço duplo, respeitando-se as margens anteriormente citadas.

Deverão obedecer a seguinte ordem: TÍTULO do trabalho em caixa alta, seguido do título na língua do "ABSTRACT"; nome(s) do(s) AUTOR(ES) logo abaixo do lado direito, digitado(s) em ordem direta, prenome e sobrenome sendo o último em caixa alta. A filiação do(s) autor(es) e endereço(s) deverá(ão) constar em nota de rodapé, indicada(s) por asterisco(s) ou número(s). RESUMO e "ABSTRACT" seguidos de PALAVRAS-CHAVE e "KEY WORDS"; INTRODUÇÃO; REVISÃO BIBLIOGRÁFICA (que dependendo do(s) autor(es) pode ser incluída na INTRODUÇÃO); MATERIAL(AIS) E MÉTODO(S); RESULTADO(S); DISCUSSÃO; CONCLUSÃO(ÕES); AGRADECIMENTO (se houver) e REFERÊNCIA(S) BIBLIOGRÁFICA(S).

### 1.2 Ilustrações

São consideradas ilustrações as FIGURAS e TABELAS. Deverão ser citadas no texto e colocadas o mais próximo possível deste.

- 1.2.1 As FIGURAS (mapas, gráficos, fotos, desenhos), deverão ser numeradas contínua e sequencialmente com algarismos arábicos e título auto-explicatico abaixo, o original das figuras deverá ser confeccionado em papel vegetal, a nanquim. O uso de escala é obrigatório, e constará juntamente com a legenda (se houver), na própria figura. As normografias e as legendas deverão ser feitas com letras finas, em negrito. As fotos deverão ser, preferencialmente, em preto e branco de boa qualidade, acompanhadas dos negativos.
- 1.2.2 As TABELAS deverão ser numeradas consecutivamente com algarismos arábicos, encabeçadas e citadas como TABELAS com título auto-explicativo sendo a numeração distinta daquelas das figuras. As linhas horizontais só aparecerão separando o título do conteúdo e no final da mesma; evitar tabelas muito extensas.
- 1.2.3 O tamanho máximo das ilustrações será de 215 mm x 170 mm, incluindo o título e a fonte (se houver). Caso seja necessário reduzir o original, calcular a redução de acordo com o tamanho da página impressa para que não haja perda na nitidez.

#### 1.3 Citação de Literatura no Texto

Deverá ser feita na forma de AUTOR em caixa alta e ANO entre parênteses. Quando houver mais de dois autores usar et al.

# 1.4 Referência Bibliográfica

Deverá ser dada sem numeração, em ordem alfabética do sobrenome. Quando houver vários artigos do(s) mesmo(s) autor(s), obedecer a ordem cronológica crescente, e quando houver vários artigos no mesmo ano, indicar: 1988a, 1988b, etc.

# 2 INFORMAÇÕES ESPECÍFICAS

Para maiores esclarecimentos sobre a organização dos trabalhos especialmente quanto à maneira de colocação de títulos e sub-títulos, subdivisão do texto, organização de tabelas e figuras, consultar o número mais recente da revista. Os casos omissos serão resolvidos pela COMISSÃO EDITORIAL.

#### INSTRUCTIONS TO AUTHORS

## 1 REVISTA DO INSTITUTO FLORESTAL (Rev. Inst. Flor.)

Issued bi-annually by "Instituto Florestal" for the publication of original research papers, research notes and literature reviews in branches of forestry sciences.

#### 1.1 Submission of Articles

The articles submitted for publication should be addressed to the "Diretor Geral do Instituto Florestal. Caixa Postal 1322 - 01059-970 - São Paulo - SP - Brasil", presented in 4 (four) copies (1 original and 3 copies), as matter of margin 20 mm on the top and bottom, 30 mm on the left side and 20 mm on the right side of each page

The Editorial Board will elaborate an analysis of the papers; after this analysis the papers will be send back to the author(s) in order to consider the recommendation presented. After considering the recommendation, the author(s) should send 2 (two) copies (1 original and 1 copy) presenting the final version of the article along with the corresponding diskette (diskette 3 ½"). The author(s) should use "Word for Windows", font: Times New Roman size 11, double spacing leaving, and as matter of margin the above mentioned should be used.

The parts of the articles should be presented in the following order: TITLE (in capitals), followed by the title translated into the language of the ABSTRACT; name(s) of the author(s) at the right side of the sheet, immediately under the title, name followed by the surname (the last one written in capitals). The author's affiliation and address(es) should be written as footnotes indicated by asterisks or numbers. "RESUMO" and ABSTRACT followed by "PALAVRAS-CHAVE" and KEY WORDS; INTRODUCTION; LITERATURE REVIEW (depending on the author(s) this part may be included in the Introduction); MATERIAL(S) AND METHOD(S); RESULT(S); DISCUSSION; CONCLUSION(S); ACKNOWLEDGEMENT (if any) and BIBLIOGRAPHY.

#### 1.2 Illustrations

FIGURES and TABLES are considered illustrations. They should be inserted close to their references in the text.

- 1.2.1 The FIGURES (maps, graphs, photos, drawings) should be sequentially numbered with arabic numerals; below each figure should appear a self-explaining caption. The original figures should be drawn in china ink on drawing paper. The use of the scale and legend (if any) in the figure is compulsory. All the drawings must be printed in bold face. The photos should be preferable in black and white with pronounced contrast, and attached with the negatives.
- 1.2.2 The TABLES should be consecutively numbered with arabic numerals and above each one should appear a self-explaining caption. Horizontal lines must be used to separate the caption from the table's body and finish it. The table(s) should be compact.
- 1.2.3 The maximum size of each illustration should be 215 mm x 170 mm, including the caption and source (if any). If reduction is necessary, care should be taken in order to keep clearness.

#### 1.3 Literature Citation in the Text

Should be made by means of AUTIIOR'S SURNAME in capitals followed by the YEAR of publication inserted in parentheses. In case of more than two authors *et al.* should be used.

# 1.4 Bibliography

Should be done in alphabetical order of the author's surname and without numeration. In case of more than one paper of the same author(s), the chronological order must be followed and more than one paper in the same year must be indicated by 1988a, 1988b and so on.

## **2 SPECIAL INFORMATION**

For more detailed instructions concerning the lay out of the paper, specially on the manner of setting out titles and subtitles, sub-division of the text and arrangement of tables and figures, consult the most recent issue of this paper. Omitted cases will be solved by the EDITORIAL BOARD.





